

İSTANBUL TEKNİK ÜNİVERSİTESİ * FEN BİLİMLERİ ENSTİTÜSÜ

75337

**EĞRİ EKSENLİ DÜZLEMSEL KİRİŞLERİN DÜZLEM DİSİ STATİK
PROBLEMLERİNİN ANALİTİK ÇÖZÜMÜ**

75337

YÜKSEK LİSANS TEZİ

Mak. Müh. O. Yaşar DOĞRUER

Tezin Enstitüye Verildiği Tarih : 04 Haziran 1998

Tezin Savunulduğu Tarih : 29 Haziran 1998

Tez Danışmanı : Prof. Dr. Alaaddin ARPACI

Diğer Juri Üyeleri : Prof. Dr. Tuncer TOPRAK

Prof. Dr. Mustafa GEDİKTAS

*Alaaddin
Toprak
Mustafa Gediktaş*

HAZİRAN 1998

**F.E. YÜKSEKOĞRETİM KURULU
DOKUMANTASYON MERKEZİ**

ÖNSÖZ

Şekil değiştiren cisimlerin ve mühendislik yapılarının önemli bir grubunu çubuklar oluşturmaktadır. Çubukların belirli bir yük etkisi altında genleşmesi, eğilmesi ve burulması problemleri, lisans dersleri arasında ‘Cisimlerin Mukavemeti’ adı altında anlatılmıştır. Bunlar yapılrken, çubuk yanal boyutlarının uzunluğa göre küçük olduğu ve şekil değiştirme sırasında eksene dik kesitlerin şekil değiştirmeden sonra da eksene dik kaldığı (Euler - Bernoulli Teorisi), yani kayma şekil değiştirmelerinin sıfır olduğu varsayılmıştır.

Öte yandan, yaptığımız teknik literatür incelemesinde, Eğri Eksenli Düzlemsel Kirişlerin düzlem dışı statik problemleri konusunda birkaç yayın dışında önemli görülebilecek bir çalışmaya rastlanmamıştır.

Bugüne kadar yapılan çoğu çalışmalar konuyu düzlemde incelemiştir. Halbuki pratikte karşılaşılan çubuklar her zaman böyle olmayabilir. Bu çalışmada, Eğri Eksenli Düzlemsel Kirişlerin düzlem dışı statik probleminin genel denklemleri, bu etkileri ihmali etmeden analitik olarak çözülmüştür.

Çalışmalarım sırasında yakın ilgi ve desteğini gördüğüm ve yöneltici bilgilerinden yararlandığım sayın değerli hocam Yrd. Doç. Dr. Ekrem TÜFEKÇİ'ye, çalışmalarımıza her türlü değerli yardımcıyla katkıda bulunan sayın değerli hocam Prof. Dr. Alaaddin ARPACI'ya, tüm yardımcılarından dolayı Sn. Arş. Gör. Ergun BOZDAĞ'a ve hiç bir yardımını ve desteğini esirgemeyen sevgili eşim Nobile DOĞRUER' e içtenlikle teşekkür ederim.

Haziran 1998

O. Yaşa DOĞRUER

İÇİNDEKİLER

| | <u>Sayfa No</u> |
|---|-----------------|
| ÖNSÖZ | ii |
| SEMBOL LİSTESİ | iv |
| ŞEKİL LİSTESİ | vi |
| TABLO LİSTESİ | vii |
| ÖZET | viii |
| SUMMARY | ix |
| BÖLÜM 1 GİRİŞ | 1 |
| 1.1 Amaç ve Kapsam | 2 |
| BÖLÜM 2 EĞRİ EKSENLİ KIRIŞLERİN GENEL DENKLEMLERİ | 3 |
| 2.1 Kiriş Statiğinin Genel Denklemleri | 3 |
| BÖLÜM 3 DÜZLEMSEL EĞRİ EKSENLİ KIRIŞLERİN DÜZLEM DİŞI EĞİLMELERİ | 17 |
| 3.1 Başlangıç Değerleri Yöntemiyle Denklemlerin Çözümü | 17 |
| 3.2 Çember Eksenli Dairesel Sabit Kesitli Kiriş Örneği | 25 |
| 3.3 Parabol Eksenli Dairesel Değişken Kesitli Kiriş Örneği | 28 |
| 3.4 Parabol Eksenli Dairesel Sabit Kesitli Kiriş Örneği | 30 |
| BÖLÜM 4 SAYISAL ÖRNEKLER | 36 |
| 4.1 Ankastre-Serbest Mesnetli ve Serbest Ucundan Etkiyen F Tekil Yükünü Taşıyan, Dairesel Sabit Kesitli Çember Eksenli Kiriş | 36 |
| 4.2 İki Ucundan Ankastre Mesnetli ve Orta Noktasından Etkiyen F Tekil Yükünü Taşıyan, Dikdörtgen Sabit Kesitli Çember Eksenli Kiriş | 57 |
| SONUÇLAR VE ÖNERİLER | 72 |
| KAYNAKLAR | 74 |

SEMBOL LİSTESİ

| | |
|-----------------------------------|--|
| $A, A(x)$ | : Diferansiyel denklem takımının katsayılar matrisi |
| A_0 | : Kesit alanı |
| C | : Kayma rijitliği matrisi |
| D | : Eğilme rijitliği matrisi |
| Q | : Ortogonal dönüşüm matrisi |
| E | : Elastiklik modülü |
| $\vec{n}^0, \vec{b}^0, \vec{t}^0$ | : Şekil değiştirmemiş kirişin kesitine bağlı eksen takımı |
| $\vec{n}, \vec{b}, \vec{t}$ | : Şekil değiştirmiş kirişin kesitine bağlı eksen takımı |
| $\vec{f}(x)$ | : Yaylı dış yüklerin bileşke vektörü |
| F | : Tekil kuvvet |
| G | : Kayma modülü |
| I_{n0}, I_{b0}, I_p | : Kesite ait alan eylemsizlik momentleri |
| I_{nb}, I_{bn} | : Kesite ait çarpım eylemsizlik momentleri |
| k_n, k_b | : Gerilmelerin kesite uniform yayılmadıklarını karakterize eden sabitler |
| \vec{M} | : Kesite etkiyen iç momentler vektörü |
| \vec{m} | : Yaylı dış momentler vektörü |
| \vec{p} | : Yaylı dış kuvvetler vektörü |
| \vec{R} | : Kesite etkiyen iç kuvvetler vektörü |
| \vec{r}_0, \vec{r} | : Şekil değiştirmiş ve değiştirmemiş kirişe ait konum vektörleri |
| $\vec{u} = (u, v, w)$ | : Yer değiştirme vektörü ve bileşenleri |

| | |
|--------------------------------|--|
| \underline{Y} | : Asal matris |
| s | : Yay uzunluğu |
| \vec{y} | : Diferansiyel denklem takımının değişkenler vektörü |
| \vec{y}_0 | : Başlangıç değerleri vektörü |
| α_a, α_b | : Kesite ait kayma faktörleri |
| δ_{ij} | : Birim matris |
| φ | : Yay açıklığı |
| $\vec{\gamma}$ | : Eksenel şekil değiştirme vektörü |
| κ_0, κ'_0 | : Kiriş ekseninin eğrilik bileşenleri |
| ρ_0 | : Düzlemsel eğri eksenli kirişin eğrilik yarıçapı |
| τ_0 | : Kiriş ekseninin burulma açısı |
| $\vec{\Omega}$ | : Kesitin dönme vektörü |
| $\vec{\omega}, \vec{\omega}_0$ | : Açısal değişim vektörü |
| $\vec{\omega}_I$ | : Birim dönme vektörü |

ŞEKİL LİSTESİ

| | <u>Sayfa No</u> |
|---|-----------------|
| Şekil 2.1 Kirişin şekil değiştirmeden önceki ve sonraki durumları | 4 |
| Şekil 2.2 Kiriş elemana etki eden dış yükler ve kesit tesirleri | 9 |
| Şekil 4.1 Ankastre-Serbest Mesnetli ve Serbest Ucundan Etkiyen F Tekil Yükünü Taşıyan, Dairesel Sabit Kesitli Çember Eksenli Kiriş | 36 |
| Şekil 4.2 $(v - \varphi)$ Değişimi | 55 |
| Şekil 4.3 $(\Omega_n - \varphi)$ Değişimi | 55 |
| Şekil 4.4 $(\Omega_t - \varphi)$ Değişimi | 55 |
| Şekil 4.5 $(M_n - \varphi)$ Değişimi | 56 |
| Şekil 4.6 $(M_t - \varphi)$ Değişimi | 56 |
| Şekil 4.7 $(R_b - \varphi)$ Değişimi | 56 |
| Şekil 4.8 İki Ucundan Ankastre Mesnetli ve Orta Noktasından Etkiyen F Tekil Yükünü Taşıyan, Dikdörtgen Sabit Kesitli Çember Eksenli Kiriş | 57 |

TABLO LİSTESİ

| | <u>Sayfa No</u> |
|--|-----------------|
| Tablo 2.1 α_n , α_b ve k_n , k_b sabitleri | 11 |
| Tablo 4.1 İki Ucundan Ankastre Mesnetli ve Orta Noktasından Etkiyen F tekil Yükünü Taşıyan Dikdörtgen Sabit Kesitli Çember Eksenli Kirişin Orta Noktasındaki Kesite Ait Değerler | 71 |

ÖZET

Bu çalışmada, eğri eksenli düzlemsel kırışların düzlem dışı statik problemleri, kayma deformasyonu ve eksen uzaması etkileri gözönüne alınarak incelenmiştir. Mevcut çalışmaların çoğu, bu etkileri ihmal etmiş ve yaklaşık yöntemler kullanmıştır.

Burada kırış statik problemini ifade eden diferansiyel denklem takımlarının kesin çözümleri, farklı eksen eğrilerine haiz dairesel kesitli kırışlar için verilmiştir. Diferansiyel denklem takımları bünyesinde yer alan integraller Mathematica programı yardımıyla çözülmüştür.

Birinci bölümde, kırış teorisi hakkında kısa bilgi verilmiş ve çalışmanın amacı belirtilmiştir.

İkinci bölümde, eğri eksenli kırışların genel denklemleri verilmiştir. Statik problemi ifade eden genel denklemler, kayma deformasyonu ve eksen uzaması etkileri ihmal edilmeden verilmiştir.

Üçüncü bölümde, düzlemsel eğri eksenli dairesel kesitli bir kırışın, düzlem dışı statığını ifade eden genel denklemlerin, başlangıç değerleri yöntemi ile çözümüne yer verilmiştir. Ayrıca, bu bölümde konu ile ilgili üç farklı örneğin;

- Çember eksenli dairesel sabit kesitli kırış
- Parabol eksenli dairesel değişken kesitli kırış
- Parabol eksenli dairesel sabit kesitli kırış

genel çözümü yer almaktadır. Her bir örneğe ilişkin genel asal matris elde edilmiş olup, denklemlerde yer alan integrallerin çözümü Mathematica programı yardımıyla yapılmıştır.

Dördüncü bölümde; Ankastre-Serbest Mesnetli ve Serbest Ucundan Etkiyen F Tekil Yükünü Taşıyan, Dairesel Sabit Kesitli Çember Eksenli Kırış ve İki Ucundan Ankastre Mesnetli, Orta Noktasından Etkiyen F Tekil Yükünü Taşıyan, Dikdörtgen Sabit Kesitli Kırış olmak üzere iki farklı örneğin Mapple programı yardımıyla yapılan çözümü yer almaktadır. Ayrıca birinci örnekte, v , Ω_n , Ω_t , M_n , M_t ve R_b 'nin, çubuk eksen eğrisi üzerinde belirlenen, çeşitli ϕ açılarındaki yedi noktada değerleri hesaplanarak grafik üzerinde gösterilmiştir.

SUMMARY

ANALYTICAL SOLUTIONS OF STATIC PROBLEMS OF PLANAR CURVED BEAMS RELATE TO OUT- OF-PLANE

One of the structural elements most widely used in various engineering applications is the beams. Beams can be different forms like straight or curved. And also they can be variable cross-section. Curved beams have deep or shallow curvature and can be open or closed. Open beams are often called arches.

In this work the stress resultants and displacements (due to out-of-plane loading) of planar arches with arbitrary boundary conditions are calculated by using initial values method. The method of initial values gives the values of the displacements and stress resultants throughout the rod once the initial displacements and initial stress resultants are known.

Analytical solutions of static problems of planar arches with arbitrary boundary conditions of out-of-plane are given by considering axial and shear deformation effects.

Static analysis of naturally curved beams have many important applications in mechanical, aeronautical and civil engineering. Helicopter blades, bridges and flexible space structures are specific cases that have received considerable attention in recent years.

There are structural forms, for instance in arch bridge and shell roof construction, in which curved members are incorporated and although curved beams have been treated in various ways by several authors, the presence of curvature still appears to be considered complex. They occur frequently in highway construction, particularly in urban freeways where multilevel interchanges and elevated roundabouts are designed and built within tight geometric restrictions.

There exist no elementary method in literature which provides analytical ready-to-use expressions of curved beams of out-of-plane. But we need exact mathematical equations about curved elements. For this reasons, in many engineering applications which is about curved elements relate to out-of-plane problems is used approximate calculations. Most engineers are familiar with the displacement assumptions that allow the displacements at anypoint in a beam to be expressed in terms of the displacements along the centroidal and shear center axes. These assumptions allow a

variety of different sets of elastic beam equations to be developed. The degree of complexity of these equations depends on the shape of the cross-section, type of loading and the specific phenomenon. The governing equations for the planar curved beam element in out-of-plane by formulating the equations by considering the initial values method.

The formulation and solution of equations of planar curved beams relate to out-of-plane are fundamental to structural engineering. Most studies on the formulation of curved beam elements relate to in plane bending and describe mainly the field consistency requirements for membrane strains and shear strains.

The purpose of this study to solve analytically the static problems of curved beam elements relate to out-of-plane by considering axial and shear deformation effects. In the literature, most of the studies uses the governing differential equations by neglecting these effects and solves them by numerical methods. Finite element method is the most common one.

In the present study, the governing differential equations are simplified for the curved beams relate to out-of-plane. The exact solutions of the simplified equations are found for the boundary value problem with arbitrary boundary conditions.

In the first chapter, a general view of curved beams and the aim of the present study are given.

There are many investigations about curved beams in the literature. Some of them are reviewed in here. However, the beam theory is considered by several authors studying on the strength of materials, elasticity and structural analysis. But the theory is simplified for arches in which different form in plane.

Most of the studies uses the governing differential equations given by Love [1], and neglects axial and shear deformations. These simplified governing differential equations are solved by using energy methods or numerical methods like finite element.

The most important study on the theory of elasticity of curved beams belongs to Love [1]. In this study, the beam is represented by a space curve whose every point is coupled with a rigid orthonormal vector diad.

Nagoranjayana and Prathap [2], have studied the extension of some concepts to the consistency requirements called for when the quadratic curved beam element is designed to be applied in situations where it must undergo out-of-plane bending and torsion under the action of shear forces. In this study there has three nodes, allowing a quadratic isoparametric representation and includes shear deformation according to the Timoshenko beam theory. Although the exactly integrated form of this element does not have severe locking problems, it does have a loss of accuracy and spurious force and moment oscillations if the transverse shear strain field is not modelled in a consistent fashion. Field-inconsistent representations of the out-of-plane transverse shear strain will result in a loss of efficiency and introduce spurious oscillations in the

bending moment, torsional moment and shear force. The optimal field-consistent assumed strain interpolation for shear is derived. The issues involved in the formulation of this quadratic curved beam element are critically examined to show that two consistency conditions must be assured in describing the constrained out-of-plane transverse shear strain field and the term describing the curved centroidal axis appearing in the denominator of all the strain terms.

Although the exactly integrated form of this element does not have severe locking problems, it does have a loss of accuracy and spurious force and moment oscillations if the transverse shear strain field is not modelled in a consistent fashion. Field-inconsistent representations of the out-of-plane transverse shear strain will result in a loss of efficiency and introduce spurious oscillations in the bending moment, torsional moment and shear force.

Tüfekçi [3], has give the analytical solutions of static and dynamic problems of planar curved beams in plane. In that work, the stress resultants and displacements (due to in plane loading) of planar arches with arbitrary boundary conditions are calculated by using initial values method. Principal matrix and its inverse has been obtained for parabolic arches as well.

İnan [4], has considered the beam as a space curve whose every point is coupled with a rigid orthonormal vector diad and the boundary value problem has been established in this curve.

In Sundaramoorthy's [5] study, the thin-walled curved beam equations are formulated using the principle of virtual work. The formulation and solution of equations of thin-walled curved beams of open section are given related to in plane. The purpose of that study is to derive the consistent governing equations based on the large displacement theory for solving curved beam problems. This theory is well-established from a set of simple and realistic assumptions which are normally used in thin-walled straight beam analysis and based on the variational principles.

Artan [6], have used the initial values method to obtain the stress resultants and displacements (due to in plane loading) of circular rods with variable cross-section. In this study, the principal matrix and its inverse required having for the applicability of the method of initial values are obtained. The expression of the solution of a circular rod loaded by both continuous and singular loads is given in a compact form. Irrespective of the number of singular loads and the degree of redundancy the system of algebraic equations to be solved contains no more than three variables as shown. Two examples exhibiting the advantages and priorities of the method are solved in full detail. And also the program of Mathematica is used throughout.

Pantazopoulou [8], have used small deformation theory to derive polynomial interpolation functions for finite element analysis of three dimensional (3-D) curved beams. The performance of low-order polynomials combined with selectively reduced integration is evaluated under torsional and membrane "locking" conditions. Low-order polynomials are also used in a three-field mixed formulation; in this approach,

the constraint equations of the problems that result from the nonlinear geometry of the curved beam are enforced using collocation. The partial decoupling that stems from the assumption that one principal axis of the cross section lies in the plane of geometric curvature of the member was adopted. Based on this premise, sets of coupled interpolation functions were derived for FE formulation of two or three noded, three-dimensional curved beams; in addition to the variational form of the equilibrium equations, the proposed functions also satisfy the constraint equations of the problem at a number of collocation points, which are also referred to as discrete constraints. Results obtained using these functions are compared against analytical solutions and other alternative FE formulations that use low-order polynomials in combination with selectively reduced integration. The typical element considered is a circular arc; curved beams with a more complex geometry can be approximated with a number of such elements.

Most Finite element models dealing with curved members analyze either the out-of-plane or the in-plane behaviour. Analysis of curved structures was typically carried out by idealizing the curved member as a sequence of short straight segments in the past. This approach has been attractive among bridge engineers, because it uses three dimensional beam frame elements which are commonly available in most structural analysis programs. This approach introduces approximations in the geometry of the beam end, in particular, it renders the normals to the centerline, at the nodes, indeterminate.

In turn this produces jumps for some stress resultants at the nodes. Accordingly, the true value of such stress resultants, at the nodes, must be estimated by an averaging scheme. Such scheme provides another source of error. These errors are in addition to those inherent in the derivation of the element equations. Errors due to approximations of geometry and those inherent in the finite element method combine algebraically. That is, in principle it is possible for geometric errors to compensate in part for the errors in the finite element approximations. At the expense of increasing the number of elements, one can be minimized by developing elements which at least allow constant values for curvatures and torsion of the centerline. In this way the overall errors can be effectively reduced.

The governing differential equations of spatially curved and twisted beams are given for the static problems in the second chapter. The beam is represented by a space curve whose every point is coupled with a rigid orthonormal vector diad. The vectors are chosen to be perpendicular to the tangent vector of the space curve in the initial state and they represent the cross-section of the beam. In deformed configuration, these directors still remain unit and perpendicular each other because of the assumption of a rigid cross-section.

But, in contrast with Kirchhoff's beam theory, the restrictions of perpendicular cross-section and inextensible arc length are removed. The displacement of the point on the space curve and the rotation of the cross-section constitute the displacement field of the beam. The change in the tangent vector from the initial state and the rate of change vector of the deformed director diad are chosen to represent the state of strain.

In the third chapter, the governing of differential equations of static problems of planar curved beams are given. Exact solutions are found for the boundary value problem with arbitrary boundary conditions. A solution procedure is described to obtain fundamental matrix for circular cross-section and arbitrary boundary conditions. In this chapter, there are three examples for parabolic and circular curved beams.

Fundamental matrix is obtained analytically for the circular and the parabolic beams. All the integrals are calculated and the element of the matrix are obtained as a function of the arc angle. In this chapter, three different examples with arbitrary boundary conditions are given. And also their fundamental matrixes are obtained analytically.

The displacement and the stress resultants can be analytically calculated along the curved beam element by the method of initial values. The expressions contain only six initial values as the data to be known.

In the fourth chapter, Two numerical examples are solved by using the program of Mapple. These examples are solved for the planar curved beam with circular and rectangular cross-section with cantilever concentrated load and its fundamental matrix is obtained. In the first example, the beam built-in at one end, loaded singular vertical force at the other end. In the second example, the beam built-in at two ends and loaded singular vertical force at the middle of the beam.

The solution is describe the beams curvature and circular cross-section. The concentrated force acts at arbitrary direction at any point on the beam. Three different solutions and two numerical examples are given. All the integrals are calculated by using the program of mathematica.

BÖLÜM 1

GİRİŞ

Elastisite teorisi, dış kuvvetlerin etkisi altında bulunan bir elastik cismi, gerilme, şekil değiştirme ve yerdeğiştirme açısından sistematik bir şekilde inceleyen bir bilim dalıdır. Lisans dersi olarak verilmekte olan ‘Cisimlerin Mukavemeti’ pratik uygulama için uygun formüllere daha fazla önem verir ve daha elemanter teoriye sahiptir. Elemanter Cisimlerin Mukavemeti her problemi ayrı ayrı inceler. Bununla beraber pratik öneme sahiptirler ve çıkartılmış formüller çok sınırlayıcı şartlar altında uygulanırlar. Böylece pek çok halde sadece yaklaşık olarak doğrudurlar ve elastisite teorisinin daha hassas araştırmalarıyla ortaya çıkan şartları sık sık sağlamazlar. Öte yandan, ortaya çıkan sınır değer problemlerinin oldukça karmaşık olması nedeniyle, çok basit durumlar dışında, elastisite teorisi yardımcı ile çubukların hesabı hemen hemen imkansızdır. Bu yüzden, çubuk teorisinde iki değişik yöntem izlenmektedir:

-Birinci yöntem, çubuğun özelliklerini kullanarak üç boyutlu ortamda yazılan genel sınır değer problemine uygun yaklaşık çözüm aranmasıdır.

-İkinci yöntem ise çubuğu bazı kısıtlamalara uyan bir parametreye bağlı yönlendirilmiş ortam olarak ele alıp sınır değer problemini bu ortamda kurmaktadır.

Elemanter cisimlerin mukavemeti ve elastik çubuk teorisi, basitleştirici kabuller yapar ve problemleri parça parça ele alırlar. Bunlar, konunun başında bir yandan çubuk eksen, öte yandan çubuk kesiti ile ilgili özel varsayımlar yapmakta ve sadece bu durumlara uygulanabilecek denklem ve çözümler vermektedir.

Basitleştirmeler, yalnız çubuk geometrisi ile ilgili değildir. Çubuğa etki eden dış kuvvetlerle ilgili çeşitli varsayımlar da yapılmaktadır. Özel yükleme durumları için ayrı yöntemler verilmektedir.

Eğri eksenli düzlemsel kirişlerin düzlem duş statik problemleri konusunda dünya literatüründe bir kaç çalışma dışında öneme haiz bir çalışmaya rastlanmamıştır. Zaman ve bilimsel kaynak yetersizliği nedeniyle planlandığı halde konunun dinamik incelemesi yapılamamıştır. Dairesel sabit kesitli bir kiriş için, eksen eğrisi ne olursa olsun, asal matris elde edilmiş, konuya ilgili üç farklı örnek çözülmüştür. Ayrıca; iki farklı yükleme ve mesnetleme etkisi altındaki, dairesel ve dikdörtgen sabit kesitli çember eksenli düzlemsel bir kirişin kesin çözümü Mapple programı yardımıyla elde edilmiştir.

1.1. Amaç ve Kapsam

Bu çalışmada giriş bölümünde belirtilenlere ters olarak elastik çubuk teorisinin genel denklemlerinin kesin çözümü elde edilmiştir.

Daha önce de belirtildiği gibi, bu çalışmada eğri eksenli düzlemsel kırışların düzlem düz statik problemleri, çoğu çalışmada ihmali edilen, eksen uzaması ve kayma deformasyonu etkilerini ihmali etmeden analitik olarak elde edilmiş, denklemlerde geçen integraller Mathematica programı yardımıyla çözülmüştür. Yapılan kaynak taramasında, çubuk teorisinin genel denklemlerine çeşitli billeştirici varsayımlarla ve yaklaşık yöntemlerle çözüm arandığı görülmüştür. Çubuğun geometrisi, mesnetleme şartları ve yükleme durumu ile ilgili basitleştirici varsayımlar yapan çalışmalarında, özellikle son yıllarda, sonlu eleman yöntemi başta olmak üzere çeşitli yaklaşık sayısal yöntemler kullanılarak çözümler verilmiştir. Bu çalışmada, çubuk ekseninin eğrisi, mesnetleme şartları ve yükleme durumu belirli olan dairesel sabit kesitli her çubuğa uygulanabilecek bir genel çözüm elde edilmeye çalışılmıştır. Birinci mertebeden, değişken katsayılı lineer diferansiyel denklem takımı olan genel deklemelerin kesin çözümü elde edilmiştir. Dolayısıyla özel hallere ait problemlerin hep aynı deklemelere dayanılarak çözülmesi sağlanmıştır. En genel durumdaki düzlemsel eğri eksenleri kırışın, kendi düzlemi dışındaki eğilmelerine ait tüm büyülüklerin, kırış eksen eğrisi üzerindeki değişimlerinin belirlenebilmesi amaçlanmıştır.

BÖLÜM 2

EĞRİ EKSENLİ KİRİŞLERİN GENEL DENKLEMLERİ

2.1. Kiriş Statiğinin Genel Denklemleri

Kiriş eksen eğrisi, üzerindeki, $\vec{r}_0 = \vec{r}_0(s)$ konum fonksiyonu ile belirlenen her noktaya, birbirine dik $\vec{n}^0(s)$ ve $\vec{b}^0(s)$ birim vektörleri bağlı, bir parametreli yönlendirilmiş ortam olarak ele alınmaktadır. s parametresi, başlangıç durumunda, yay uzunluğuudur. Bu iki vektöre dik olan $\vec{t}^0(s)$ birim vektörü, başlangıçta, eğrinin teğeti ile çakışmaktadır ve;

$$\begin{aligned}\vec{t}^0(s) &= \vec{n}^0 \times \vec{b}^0 \\ \vec{t}^0(s) &= \frac{d\vec{r}_0(s)}{ds}\end{aligned}\tag{2.1}$$

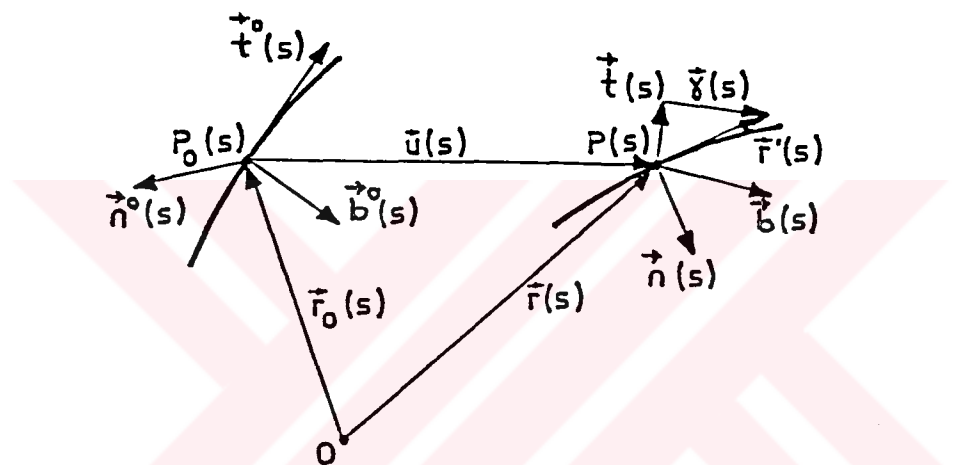
şeklinde tarif edilmektedir. $\vec{n}^0(s)$, $\vec{b}^0(s)$ kesit vektörleri, sırasıyla kiriş eksen eğrisinin normal ve binormal doğrultularıdır ve kesidin asal eksenleriyle çakışmayabilir. Bu durumda, aralarındaki ilişkiyi belirleyecek bir fonksiyona gerek duyulacaktır. Burada, bu doğrultuların çakıştığı durum gözönüne alınacaktır. Fakat denklemler, çakışmadığı durum için çıkartılacak, daha sonra gerekli düzenleme yapılacaktır.

Kirişin yüksüz ve gerilmesiz olduğu ve yer değiştirmeye başladığı başlangıç durumu için $\vec{r}_0(s)$, $\vec{n}^0(s)$ ve $\vec{b}^0(s)$ vektörleri bilinmektedir. Kiriş şekil değiştirdikten sonra, geometriyi $\vec{r}(s)$, $\vec{n}(s)$ ve $\vec{b}(s)$ vektörleri belirlemektedir. Şekil değiştirmeden sonraki kesit vektörleri $\vec{n}(s)$ ve $\vec{b}(s)$, yine birim vektörler olup birbirlerine dikdirler. Ancak, başlangıçtaki teğet birim vektörü, $\vec{n}(s)$ ve $\vec{b}(s)$ vektörlerine dik kalmasına rağmen, artık ne şekil değişirmiş eksen eğrisine teğet ne de birim vektör olma şartı vardır

(Bkz. Şekil-2.1). Böylece, kiriş dik kesitin rrijit olması varsayımlı yapılmaktadır. Yani, dik kesit otelenir ve döner; ancak, herhangi bir deformasyona uğramaz. Serbestçe dönebilme yeteneği nedeniyle,

$$\frac{d\vec{r}(s)}{ds} \neq \alpha \cdot \vec{t}(s) \quad (2.2)$$

olacak, dik kesit şekil değişiminden sonra kiriş eksenine dik kalmayacaktır. Bu, kayma deformasyonu etkisiyle ortaya çıkan haldir. Ayrıca artık s parametresi yay uzunluğuna eşit olmadığından $\vec{r}'(s)$ vektörü şekil değiştirmiş eğriye teget olmakla birlikte birim vektör olmayıabilir.



Şekil - 2.1. Kirişin şekil değiştirmeden önceki ve sonraki durumları.

Şekil - 2.1 ' de kirişin şekil değiştirmeden önceki ve sonraki durumları, ilgili büyüklüklerle birlikte gösterilmiştir. Buradaki $(^0)$ üst indis, şekil değiştirmemiş durumu belirtmektedir.

Kirişin yer değiştirme durumu iki vektörle tanımlanabilir:

- Eksen üzerindeki noktanın yer değiştirme vektörü

$$\vec{u}(s) = \vec{r}(s) - \vec{r}_0(s) \quad (2.3)$$

- Rijit cisim gibi hareket ettiği varsayılan dik kesitin dönme vektörü

Aslında, rijit cismin sonlu dönmeleri, vektörle ifade edilemez. Fakat burada yer ve şekil değiştirmeler küçük varsayılarak dönme, bir vektörle belirlenecektir.

Ortogonal olan $\vec{n}^0, \vec{b}^0, \vec{t}^0$ vektör üçlüsü, yine kendisi gibi ortogonal olan vektör üçlüsüne;

$$\begin{aligned}\vec{n}(s) &= Q_{11}\vec{n}^0(s) + Q_{21}\vec{b}^0(s) + Q_{31}\vec{t}^0(s) \\ \vec{b}(s) &= Q_{12}\vec{n}^0(s) + Q_{22}\vec{b}^0(s) + Q_{32}\vec{t}^0(s) \\ \vec{t}(s) &= Q_{13}\vec{n}^0(s) + Q_{23}\vec{b}^0(s) + Q_{33}\vec{t}^0(s)\end{aligned}\quad (2.4)$$

şeklinde, Q ortogonal dönüşüm matrisi ile dönüşmektedir. Bu matrisin;

$$Q_{ji} = \delta_{ij} + W_{ij} \quad \delta_{ij} : \text{Birim matris} \quad i,j = 1,2,3 \quad (2.5)$$

olarak parçalanması durumunda, (2.4) eşitliği;

$$\begin{aligned}\vec{n}(s) &= \vec{n}^0(s) + [W_{11}\vec{n}^0(s) + W_{21}\vec{b}^0(s) + W_{31}\vec{t}^0(s)] \\ \vec{b}(s) &= \vec{b}^0(s) + [W_{12}\vec{n}^0(s) + W_{22}\vec{b}^0(s) + W_{32}\vec{t}^0(s)] \\ \vec{t}(s) &= \vec{t}^0(s) + [W_{13}\vec{n}^0(s) + W_{23}\vec{b}^0(s) + W_{33}\vec{t}^0(s)]\end{aligned}\quad (2.6)$$

biçiminde yazılabilir. Dönüşüm matrisinin ortogonallığı kullanılarak;

$$W_{ij} + W_{ji} + W_{ki} W_{kj} = 0 \quad (2.7)$$

eşitliği elde edilir. Yer ve şekil değiştirmelerin küçük olduğu varsayımlıyla;

$$\begin{aligned}\|\vec{n}(s) - \vec{n}^0(s)\| &= \|W_{11}\vec{n}^0(s) + W_{21}\vec{b}^0(s) + W_{31}\vec{t}^0(s)\| \\ &\leq \|W_{11}\| \|\vec{n}^0(s)\| \|W_{21}\| \|\vec{b}^0(s)\| \|W_{31}\| \|\vec{t}^0(s)\| \\ \|\vec{b}(s) - \vec{b}^0(s)\| &= \|W_{12}\vec{n}^0(s) + W_{22}\vec{b}^0(s) + W_{32}\vec{t}^0(s)\| \\ &\leq \|W_{12}\| \|\vec{n}^0(s)\| \|W_{22}\| \|\vec{b}^0(s)\| \|W_{32}\| \|\vec{t}^0(s)\| \\ \|\vec{t}(s) - \vec{t}^0(s)\| &= \|W_{13}\vec{n}^0(s) + W_{23}\vec{b}^0(s) + W_{33}\vec{t}^0(s)\| \\ &\leq \|W_{13}\| \|\vec{n}^0(s)\| \|W_{23}\| \|\vec{b}^0(s)\| \|W_{33}\| \|\vec{t}^0(s)\| \\ \|\vec{n}(s) - \vec{n}^0(s)\| &\leq \|W_{ji}\| \equiv \epsilon \\ \|\vec{b}(s) - \vec{b}^0(s)\| &\leq \|W_{ji}\| \equiv \epsilon \\ \|\vec{t}(s) - \vec{t}^0(s)\| &\leq \|W_{ji}\| \equiv \epsilon\end{aligned}\quad (2.8)$$

olacaktır. ε değerinin küçük olması nedeniyle $\varepsilon^2 \approx 0$ alınabilir. Böylece (2.7) eşitliğindeki çarpım sıfır olacaktır ve bu eşitlik,

$$W_{ij} + W_{ji} \equiv 0 \quad (2.9)$$

şekline dönüşecektir. Böylece, küçük yer ve şekil değiştirmeler için, W_{ij} bir antisimetrik matris olabilecektir. Antisimetrik bir matris için;

$$\begin{aligned} (W_{11}\vec{n}^0 + W_{21}\vec{b}^0 + W_{31}\vec{t}^0) &= \vec{\Omega} \times \vec{n}^0 \\ (W_{12}\vec{n}^0 + W_{22}\vec{b}^0 + W_{32}\vec{t}^0) &= \vec{\Omega} \times \vec{b}^0 \\ (W_{13}\vec{n}^0 + W_{23}\vec{b}^0 + W_{33}\vec{t}^0) &= \vec{\Omega} \times \vec{t}^0 \end{aligned} \quad (2.10)$$

özelliğini sağlayan bir $\vec{\Omega}$ vektörü bulunabilir. Çubuk dönme vektörü olan $\vec{\Omega}(s)$ ile (2.6) eşitlikleri ;

$$\begin{aligned} \vec{n}(s) &= \vec{n}^0(s) + \vec{\Omega}(s) \times \vec{n}^0(s) \\ \vec{b}(s) &= \vec{b}^0(s) + \vec{\Omega}(s) \times \vec{b}^0(s) \\ \vec{t}(s) &= \vec{t}^0(s) + \vec{\Omega}(s) \times \vec{t}^0(s) \end{aligned} \quad (2.11)$$

şekline dönüşür. $\vec{\Omega}(s)$ dönme vektörü, ağırlık merkezinden geçen eksen etrafındaki dönmeyi belirten vektördür.

Kirişin şekil değiştirme durumu da iki vektörle tanımlanabilir.

- Birincisi, $\vec{\gamma}$ eksenel şekil değiştirme vektöridür. Kirchhoff çubuk teorisinde özdeş olarak sıfıra eşit sayılan bu vektör, eksen eğrisinin boy değişimini ve eksen eğrisi ile dik kesit arasındaki kaymaları belirlemektedir. $\vec{\gamma}$ eksenel şekil değiştirme vektörü, şekil değiştirmeden sonraki yer vektörünün türevi ile dik kesit normali arasındaki farktır ve;

$$\vec{\gamma} = \frac{d\vec{r}}{ds} - \vec{t}^0 \quad (2.12)$$

şeklinde tarif edilmektedir.

İkinci şekil değiştirme vektörü, literatürde iki değişik şekilde verilmektedir. Mühendisliğe yönelik eserlerde, birim dönme vektörü denen ve;

$$\vec{\omega}_1 = \frac{d\vec{\Omega}}{ds} \quad (2.13)$$

ifadesiyle belirlenen $\vec{\omega}_I$ vektörü kullanılmaktadır. Bu durumda, ilgili bünye denklemi;

$$\vec{M} = D \vec{\omega}_I \quad (2.14)$$

şeklinde basit olarak yazılabilmektedir. Burada, \vec{M} kesite etkiyen momentlerin bileşke vektörü, D ise eğilme rijitliği matrisidir.

Diğer bazı eserlerde ise, ikinci şekil değiştirme vektörü olarak $\vec{\omega}$ açısal değişim vektörü kullanılmaktadır. Bu vektör, üçlü eksen takımının çubuk eksen eğrisi üzerinde birim uzunluk kadar ilerletildiğinde açısal değişimini belirleyen vektör olarak tarif edilmektedir. Bileşenleri, kiriş ekseninin eğriliklerini ve burulmasını veren bu vektör,

$$\frac{d\vec{n}}{ds} = \vec{\omega} \times \vec{n} \quad \frac{d\vec{b}}{ds} = \vec{\omega} \times \vec{b} \quad \frac{d\vec{t}}{ds} = \vec{\omega} \times \vec{t} \quad (2.15)$$

olarak tarif edilmektedir. Açısal değişim vektörünün şekil değiştirme büyüklüğü olarak kullanılması, genelleştirmeye ve bazı ters problemlerin çözümüne, şekil değiştirmiş kirişin geometrisini tanıtmaya olanak sağlamaktadır. Bunun yanısıra, denklemeleri önemli ölçüde karmaşıklaştırmaktadır. Bu da, kullanıcıyı, çok küçük olan kayma ve uzama etkilerini hesaplara katmanın getireceği faydayı araştırmaya itmektedir.

Yer ve şekil değiştirme büyüklükleri tanımlandıktan sonra, çubuk teorisinin \vec{M} , $\vec{R}, \vec{u}, \vec{\Omega}, \vec{\gamma}, \vec{\omega}$ olarak bilinen altı bilinmeyeni, iki yer değiştirme-şekil değiştirme bağıntısı, iki denge denklemi ve iki bünye denklemi yardımıyla çözülebilir.

- **Yer değiştirme - şekil değiştirme bağıntıları :** Yer değiştirme vektörünü tanımlayan (2.3) ifadesi türetilerek, (2.1), (2.11) ve (2.12) ifadelerinden faydalansırsa,

$$\frac{d\vec{u}}{ds} = \vec{\Omega} \times \vec{t}^0 + \vec{\gamma} \quad (2.16)$$

şeklinde, ilk yer değiştirme-şekil değiştirme bağıntısı elde edilmiş olur. (2.11) ifadesi türetilerek elde edilen,

$$\begin{aligned}
 \frac{d\vec{n}}{ds} &= \frac{d\vec{n}^0}{ds} + \frac{d\vec{\Omega}}{ds} \times \vec{n}^0 + \vec{\Omega} \times \frac{d\vec{n}^0}{ds} \\
 \frac{d\vec{b}}{ds} &= \frac{d\vec{b}^0}{ds} + \frac{d\vec{\Omega}}{ds} \times \vec{b}^0 + \vec{\Omega} \times \frac{d\vec{b}^0}{ds} \\
 \frac{d\vec{t}}{ds} &= \frac{d\vec{t}^0}{ds} + \frac{d\vec{\Omega}}{ds} \times \vec{t}^0 + \vec{\Omega} \times \frac{d\vec{t}^0}{ds}
 \end{aligned} \tag{2.17}$$

eşitliklerinde, açısal değişim vektörleri yerleştirilerek,

$$\begin{aligned}
 \vec{\omega} \times \vec{n} &= \vec{\omega}_0 \times \vec{n}^0 + \frac{d\vec{\Omega}}{ds} \times \vec{n}^0 + \vec{\Omega} \times (\vec{\omega}_0 \times \vec{n}^0) \\
 \vec{\omega} \times \vec{b} &= \vec{\omega}_0 \times \vec{b}^0 + \frac{d\vec{\Omega}}{ds} \times \vec{b}^0 + \vec{\Omega} \times (\vec{\omega}_0 \times \vec{b}^0) \\
 \vec{\omega} \times \vec{t} &= \vec{\omega}_0 \times \vec{t}^0 + \frac{d\vec{\Omega}}{ds} \times \vec{t}^0 + \vec{\Omega} \times (\vec{\omega}_0 \times \vec{t}^0)
 \end{aligned} \tag{2.18}$$

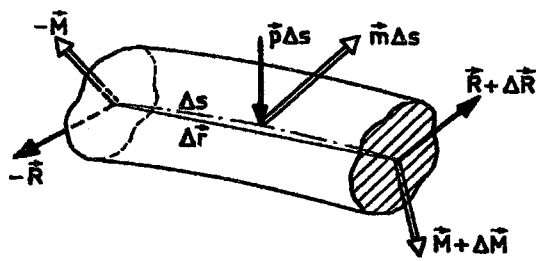
ifadeleri bulunur. (2.11) ifadesi ve vektörel çarpımın $\vec{a} \times (\vec{b} \times \vec{c}) = (\vec{a} \cdot \vec{c})\vec{b} - (\vec{a} \cdot \vec{b})\vec{c}$ özelliği kullanılarak ;

$$\begin{aligned}
 (\vec{\omega} - \vec{\omega}_0 - \frac{d\vec{\Omega}}{ds} + \vec{\omega}_0 \times \vec{\Omega}) \times \vec{n}^0 &= (\vec{\omega} - \vec{\omega}_0) \times (\vec{n}^0 \times \vec{\Omega}) \\
 (\vec{\omega} - \vec{\omega}_0 - \frac{d\vec{\Omega}}{ds} + \vec{\omega}_0 \times \vec{\Omega}) \times \vec{b}^0 &= (\vec{\omega} - \vec{\omega}_0) \times (\vec{b}^0 \times \vec{\Omega}) \\
 (\vec{\omega} - \vec{\omega}_0 - \frac{d\vec{\Omega}}{ds} + \vec{\omega}_0 \times \vec{\Omega}) \times \vec{t}^0 &= (\vec{\omega} - \vec{\omega}_0) \times (\vec{t}^0 \times \vec{\Omega})
 \end{aligned} \tag{2.19}$$

eşitlikleri elde edilir. Burada, şekil değiştirmelerin küçük olduğu varsayımlıyla, eşitliğin sağ tarafı sıfır olarak alınabilir. Böylece sol taraftaki parantezin içinin sıfır olması gerekecek ve ikinci bağıntı;

$$\frac{d\vec{\Omega}}{ds} = \vec{\omega} - \vec{\omega}_0 + \vec{\omega}_0 \times \vec{\Omega} \tag{2.20}$$

şeklinde elde edilecektir.



Şekil - 2.2. Kiriş elemanına etki eden dış yükler ve kesit tesirleri.

- Denge denklemleri : Birim uzunluktaki kirişe etkiyen dış kuvvetler ve momentler sırasıyla $\bar{p}(s)$ ve $\bar{m}(s)$ şeklinde iki fonksiyonla belirlenmiştir. \vec{R} ve \vec{M} vektörleri, sırasıyla, kesite etkiyen iç kuvvetlerin ve momentlerin vektörel toplamını göstermek üzere, Şekil-2.2' deki elemana ait denge denklemleri,

$$\begin{aligned} & -\vec{R} + \vec{R} + \Delta\vec{R} + \vec{p}\Delta s = 0 \\ & -\vec{M} + \vec{M} + \Delta\vec{M} + \bar{m}\Delta s + \Delta\vec{r} \times (\vec{R} + \Delta\vec{R}) = 0 \end{aligned} \quad (2.21)$$

olarak yazılabilir. Gereken sadeleştirmeler yapılır ve ($\Delta s \rightarrow 0$) için limit alınırsa,

$$\begin{aligned} & \frac{d\vec{R}}{ds} + \vec{p} = 0 \\ & \frac{d\vec{M}}{ds} + \vec{t}^0 \times \vec{R} + \bar{m} = 0 \end{aligned} \quad (2.22)$$

şeklinde denge denklemleri elde edilir.

- Bünye denklemleri : \mathbf{D} ve \mathbf{C} kirişe ait dönme ve kayma rijitlik matrislerini göstermek üzere, bünye denklemleri,

$$\begin{aligned} \vec{M} &= \mathbf{D} (\vec{\omega} - \vec{\omega}_0 - \vec{\Omega} \times \vec{\omega}_0) \\ \vec{R} &= \mathbf{C} \vec{\gamma} \end{aligned} \quad (2.23)$$

esitlikleri ile ifade edilirler.

Böylece kiriş teorisinin genel denklemleri,

$$\begin{aligned} \frac{d\vec{u}}{ds} + \vec{t}^0 \times \vec{\Omega} - \vec{\gamma} &= 0 \\ \frac{d\vec{\Omega}}{ds} - \vec{\omega} + \vec{\omega}_0 + \vec{\Omega} \times \vec{\omega} &= 0 \\ \frac{d\vec{R}}{ds} + \vec{p} &= 0 \\ \frac{d\vec{M}}{ds} + \vec{t}^0 \times \vec{R} + \vec{m} &= 0 \\ \vec{M} &= \mathbf{D} (\vec{\omega} - \vec{\omega}_0 - \vec{\Omega} \times \vec{\omega}) \\ \vec{R} &= \mathbf{C} \vec{\gamma} \end{aligned} \tag{2.24}$$

şeklinde yazılabilir. Çeşitli özelliklere sahip olan \mathbf{C} ve \mathbf{D} matrislerinin ikisi de simetriktir. Böylece, rijitlik matrislerinin birisini belirlemek için 9 yerine 6 koordinatın belirlenmesi yeterli olur.

Koordinat eksen takımı değişikçe belirli bir ilişkiye transformasyona uğrayan bu matrisler, özel takımlarda ifade edilirse çok basitleşirler. \vec{n}^0 , \vec{b}^0 , \vec{t}^0 eksen takımı ele alınırsa, bu matrisler;

$$\begin{aligned} \mathbf{C} &= \begin{bmatrix} C_{aa} & C_{ab} & 0 \\ C_{ba} & C_{bb} & 0 \\ 0 & 0 & C_{tt} \end{bmatrix} \\ \mathbf{D} &= \begin{bmatrix} D_{aa} & D_{ab} & 0 \\ D_{ba} & D_{bb} & 0 \\ 0 & 0 & D_{tt} \end{bmatrix} \end{aligned} \tag{2.25}$$

şeklinde gösterilebilir.

Eğer \vec{n}^0 , \vec{b}^0 eksenleri, kesidin simetri eksenleriyle çakışırsa, matrisler şu şekli alır;

$$\mathbf{C} = \begin{bmatrix} C_{nn} & 0 & 0 \\ 0 & C_{bb} & 0 \\ 0 & 0 & C_{tt} \end{bmatrix}$$

$$\mathbf{D} = \begin{bmatrix} D_{nn} & 0 & 0 \\ 0 & D_{bb} & 0 \\ 0 & 0 & D_{tt} \end{bmatrix} \quad (2.26)$$

Kesit belirlendiğinde, bu matrislerin bileşenleri;

$$D_{nn} = EI_{n0} \quad D_{nb} = EI_{nb} \quad D_{bn} = EI_{bn}$$

$$D_{bb} = EI_{b0} \quad D_{tt} = GI_p$$

$$C_{nn} = \frac{1}{k_n} GA_0 \quad C_{bb} = \frac{1}{k_b} GA_0 \quad C_{tt} = EA_0 \quad (2.27)$$

şeklinde ifade edilebilir. Simetrik olmayan kesitlerin kayma gerilmelerini hesaplarken mutlaka matematik elastisite teorisi kullanılmaktadır. Burada, E ve G mazemenin elastiklik ve kayma modüllerini, I_{n0} , I_{b0} kesit eylemsizlik momentlerini, I_{nb} kesidin çarpım eylemsizlik momentini, I_p kesidin polar eylemsizlik momentini, A kesit alanını ve k_n , k_b ise gerilmelerin kesite üniform olarak yayılmadıklarını karakterize eden sabitlerdir. Bu sabitlerin daha çok bilinenleri;

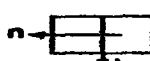
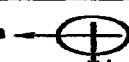
$$\tau_{nn} = \alpha_n \frac{F_n}{A} \quad \tau_{tb} = \alpha_b \frac{F_b}{A} \quad (2.28)$$

şeklinde ifade edilmektedir. k_n ve k_b ise;

$$\gamma_n = k_n \frac{F_n}{GA} \quad \gamma_b = k_b \frac{F_b}{GA} \quad (2.29)$$

olarak verilmektedir. Bu sabitler ; Tablo-1' de çeşitli kesitler için verilmiştir.

Tablo - 2.1 : α_n , α_b ve k_n , k_b sabitleri.

| Kesit | α_n | α_b | k_n | k_b |
|---|------------|------------|-------|-------|
|  | 3/2 | 3/2 | 6/5 | 6/5 |
|  | 4/3 | 4/3 | 10/9 | 10/9 |
|  | 2.6 | 2.5 | 2.10 | 2.20 |

(2.24) denklemlerinin son ikisinden;

$$\vec{\omega} - \vec{\omega}_0 - \vec{\Omega} \times \vec{\omega}_0 = \mathbf{D}^{-1} \vec{M}$$

$$\vec{\gamma} = \mathbf{C}^{-1} \vec{R} \quad (2.30)$$

eşitlikleri elde edilir. Bunlar, (2.24) ifadelerinin ilk ikisinde yerine konursa;

$$\frac{d\vec{u}}{ds} + \vec{t}^0 \times \vec{\Omega} - \mathbf{C}^{-1} \vec{R} = 0$$

$$\frac{d\vec{\Omega}}{ds} - \mathbf{D}^{-1} \vec{M} = 0$$

$$\frac{d\vec{R}}{ds} = - \vec{p}$$

$$\frac{d\vec{M}}{ds} + \vec{t}^0 \times \vec{R} = - \vec{m} \quad (2.31)$$

denklemlerine ulaşılır. Buradaki \vec{M} , \vec{R} , \vec{u} , $\vec{\Omega}$, \vec{p} ve \vec{m} vektörleri, şekil değiştirmelerin küçük olduğu varsayımlıyla, şekil değiştirmemiş kiriş eksenine yerleştirilmiş \vec{n}^0 , \vec{b}^0 , \vec{t}^0 eksen takımında;

$$\vec{u} = u \vec{n}^0 + v \vec{b}^0 + w \vec{t}^0$$

$$\vec{\Omega} = \Omega_n \vec{n}^0 + \Omega_b \vec{b}^0 + \Omega_t \vec{t}^0$$

$$\vec{R} = R_n \vec{n}^0 + R_b \vec{b}^0 + R_t \vec{t}^0$$

$$\vec{M} = M_n \vec{n}^0 + M_b \vec{b}^0 + M_t \vec{t}^0$$

$$\vec{p} = p_n \vec{n}^0 + p_b \vec{b}^0 + p_t \vec{t}^0$$

$$\vec{m} = m_n \vec{n}^0 + m_b \vec{b}^0 + m_t \vec{t}^0 \quad (2.32)$$

şeklinde ifade edilebilirler.

Eksenin herhangi bir uzaysal eğri olan kiriş için, kesit asal eksenleri ile kiriş eksen eğrisinin normal ve binormal eksenlerinin çakışmaması durumunda, açısal değişim vektörünün,

$$\vec{\omega}_0 = \kappa_0 \vec{n}^0 + \kappa'_0 \vec{b}^0 + \tau_0 \vec{t}^0 \quad (2.33)$$

olduğu bilinmektedir. Burada ; κ_0 , $(\vec{b}^0 - \vec{t}^0)$ düzlemindeki eğrilik bileşeni, κ'_0 , $(\vec{n}^0 - \vec{t}^0)$ düzlemindeki eğrilik bileşeni, τ_0 ise eğrinin burulma açısıdır.

Böylece, (2.32) denklemlerindeki büyüklüklerin türevleri hesaplanırken,

$$\begin{aligned}\frac{d\vec{n}}{ds} &= \vec{\omega}_0 \times \vec{n}^0 \\ \frac{d\vec{b}}{ds} &= \vec{\omega}_0 \times \vec{b}^0 \\ \frac{d\vec{t}}{ds} &= \vec{\omega}_0 \times \vec{t}^0\end{aligned}\tag{2.34}$$

eşitliklerinden faydalansacaktır. Bu ifadeler yardımıyla, türevler oluşturularak, (2.31) denklemleri skaler büyüklükler cinsinden şu şekilde ifade edilebilir :

$$\begin{aligned}\frac{du}{ds} - \tau_0 v + \kappa'_0 w - \Omega_b - \frac{C_{bb}R_n - C_{nb}R_b}{C_{nn}C_{bb}} &= 0 \\ \frac{dv}{ds} - \kappa_0 w + \tau_0 u + \Omega_n - \frac{C_{bn}R_n - C_{nn}R_b}{C_{nb}C_{bn}} &= 0 \\ \frac{dw}{ds} - \kappa'_0 u + \kappa_0 v - \frac{R_t}{C_u} &= 0 \\ \frac{d\Omega_n}{ds} - \tau_0 \Omega_b + \kappa'_0 \Omega_t - \frac{D_{bb}M_n - D_{nb}M_b}{D_{nn}D_{bb}} &= 0 \\ \frac{d\Omega_b}{ds} - \kappa_0 \Omega_t + \tau_0 \Omega_n - \frac{D_{bn}M_n - D_{nn}M_b}{D_{nb}D_{bn}} &= 0 \\ \frac{d\Omega_t}{ds} - \kappa'_0 \Omega_n + \kappa_0 \Omega_b - \frac{M_n}{D_u} &= 0 \\ \frac{dR_n}{ds} - \tau_0 R_b + \kappa'_0 R_t + p_n &= 0 \\ \frac{dR_b}{ds} - \kappa_0 R_t + \tau_0 R_n + p_b &= 0 \\ \frac{dR_t}{ds} - \kappa'_0 R_n + \kappa_0 R_b + p_t &= 0\end{aligned}$$

$$\begin{aligned}
 \frac{dM_n}{ds} - \tau_0 M_b + \kappa'_0 M_t - R_b + m_n &= 0 \\
 \frac{dM_b}{ds} - \kappa_0 M_t + \tau_0 M_n + R_n + m_b &= 0 \\
 \frac{dM_t}{ds} - \kappa'_0 M_n + \kappa_0 M_b + m_t &= 0
 \end{aligned} \tag{2.35}$$

Eğer, kesit asal eksenleri, eksen eğrisinin normal ve binormal eksenleri ile çakışıyorsa;

$$\kappa_0 = 0 \quad \kappa'_0 = 1/\rho_0 \quad C_{nb} = C_{bn} = 0 \quad D_{nb} = D_{bn} = 0 \tag{2.36}$$

olacak ve (2.35) denklemleri ;

$$\begin{aligned}
 \frac{du}{ds} - \tau_0 v + \frac{w}{\rho_0} - \Omega_b - \frac{R_n}{C_{nn}} &= 0 \\
 \frac{dv}{ds} + \tau_0 u + \Omega_n - \frac{R_b}{C_{bb}} &= 0 \\
 \frac{dw}{ds} - \frac{u}{\rho_0} - \frac{R_t}{C_{tt}} &= 0 \\
 \frac{d\Omega_n}{ds} - \tau_0 \Omega_b + \frac{\Omega_t}{\rho_0} - \frac{M_n}{D_{nn}} &= 0 \\
 \frac{d\Omega_b}{ds} + \tau_0 \Omega_n - \frac{M_b}{D_{bb}} &= 0 \\
 \frac{d\Omega_t}{ds} - \frac{\Omega_n}{\rho_0} - \frac{M_t}{D_{tt}} &= 0 \\
 \frac{dR_n}{ds} - \tau_0 R_b + \frac{R_t}{\rho_0} + p_n &= 0 \\
 \frac{dR_b}{ds} + \tau_0 R_n + p_b &= 0 \\
 \frac{dR_t}{ds} - \frac{R_n}{\rho_0} + p_t &= 0
 \end{aligned}$$

$$\begin{aligned}
 \frac{dM_n}{ds} - \tau_0 M_b + \frac{M_t}{\rho_0} - R_b + m_n &= 0 \\
 \frac{dM_b}{ds} + \tau_0 M_n + R_n + m_b &= 0 \\
 \frac{dM_t}{ds} - \frac{M_n}{\rho_0} + m_t &= 0
 \end{aligned} \tag{2.37}$$

şeklinde sadeleşecektir. Böyle bir kirişin, düzlemsel eğri eksenli olması durumunda ise, eksen eğrisinin burulma açısı da sıfır olur. Bu durumda, (2.37) denklemleri daha da sadeleşerek ;

$$\begin{array}{ll}
 \frac{du}{ds} + \frac{w}{\rho_0} - \Omega_b - \frac{R_n}{C_{nn}} = 0 & \frac{dR_n}{ds} + \frac{R_t}{\rho_0} + p_n = 0 \\
 \frac{dv}{ds} + \Omega_n - \frac{R_b}{C_{bb}} = 0 & \frac{dR_b}{ds} + p_b = 0 \\
 \frac{dw}{ds} - \frac{u}{\rho_0} - \frac{R_t}{C_{tt}} = 0 & \frac{dR_t}{ds} - \frac{R_n}{\rho_0} + p_t = 0 \\
 \frac{d\Omega_n}{ds} + \frac{\Omega_t}{\rho_0} - \frac{M_n}{D_{nn}} = 0 & \frac{dM_n}{ds} + \frac{M_t}{\rho_0} - R_b + m_n = 0 \\
 \frac{d\Omega_b}{ds} - \frac{M_b}{D_{bb}} = 0 & \frac{dM_b}{ds} + R_n + m_b = 0 \\
 \frac{d\Omega_t}{ds} - \frac{\Omega_n}{\rho_0} - \frac{M_t}{D_{tt}} = 0 & \frac{dM_t}{ds} - \frac{M_n}{\rho_0} + m_t = 0
 \end{array} \tag{2.38}$$

şekline dönüşür. Burada; düzlem içindeki eğilmelerle ilgili büyüklüklerle, düzlem dışındaki eğilmelerle ilgili büyüklüklerin aynı denklemelerde birlikte bulunduğu görülmektedir. Dolayısıyla, düzlemsel eğri eksenli kirişin düzlem dışındaki eğilmelerini (kendi düzlemine dik doğrultudaki) ifade eden denklemelerde, yay uzunluğu yerine $ds = \rho_0 d\phi$ eşitliği konarak düzenlenirse;

$$\frac{dv}{d\phi} + \rho_0(\phi) \Omega_n - \frac{\rho_0(\phi)}{C_{bb}(\phi)} R_b = 0$$

$$\frac{d\Omega_n}{d\varphi} + \Omega_t - \frac{\rho_0(\varphi)}{D_m(\varphi)} M_n = 0$$

$$\frac{d\Omega_t}{d\varphi} - \Omega_n - \frac{\rho_0(\varphi)}{D_n(\varphi)} M_t = 0$$

$$\frac{dR_b}{d\varphi} + p_0(\varphi) p_b = 0$$

$$\frac{dM_n}{d\varphi} + M_t - \rho_0(\varphi) R_b + \rho_0(\varphi) m_n = 0$$

$$\frac{dM_t}{d\varphi} - M_n + \rho_0(\varphi) m_t = 0 \quad (2.39)$$

şeklinde elde edilirler.



BÖLÜM 3

DÜZLEMSEL EĞRİ EKSENLİ KİRİŞLERİN DÜZLEM DİŞI EGİLMELERİ

3.1. Başlangıç Değerleri Yöntemiyle Denklemlerin Çözümü

Eğri eksenli kirişlerin düzlem dışı eğilmelerini veren (2.39) denklemleri, birinci mertebeden, lineer diferansiyel denklem takımıdır ve;

$$\frac{d\vec{y}}{dx} = \mathbf{A}(x) \vec{y} + \vec{f}(x) \quad (3.1)$$

şeklinde, matrisel diferansiyel denklem olarak ifade edilebilirler. Burada; \vec{y} , 6 elemanlı değişkenler vektörünü, $\mathbf{A}(x)$, 6x6 elemanlı katsayılar matrisini, $\vec{f}(x)$ ise 6 elemanlı yayılı dış yüklerin bileşke vektörünü göstermektedir. Böyle bir denklemin çözümü, $\vec{y}_0 = \vec{y}(x_0)$ başlangıç değeri bilinmek üzere;

$$\vec{y}(x) = \underline{\mathbf{Y}}(x, x_0) \vec{y}_0 + \underline{\mathbf{Y}}(x, x_0) \int_{x_0}^x \underline{\mathbf{Y}}^{-1}(\xi, x_0) \vec{f}(\xi) d\xi \quad (3.2)$$

olarak ifade edilmektedir [3]. Burada; $\underline{\mathbf{Y}}(x, x_0)$, x_0 referans koordinatındaki asal matristir. Eğer, $\vec{f}(x)$ vektörü özdeş olarak sıfır ise, yani kiriş üzerinde herhangi bir yayılı kuvvet veya eğilme momenti yoksa, kirişin düzlem dışı eğilmelerini ifade eden denklemler;

$$\frac{d\vec{y}}{dx} = \mathbf{A}(x) \vec{y} \quad (3.3)$$

tipinde bir homojen matrisel diferansiyel denkleme dönüşür. Böyle bir kiriş, tekil kuvvet ve momentlerle yükülüdür. Bu durumda çözüm fonksiyonu ise;

$$\vec{y}(x) = \underline{Y}(x, x_0) \vec{y}_0 \quad (3.4)$$

şeklinde olacaktır.

$\underline{Y}(x, x_0)$ asal matrisi, en genel durumda, homojen (yani $\vec{f}(x)$ vektörünün bulunmadığı) denklemden elde edilir ve;

$$\frac{d\underline{Y}(x, x_0)}{dx} = A(x)\underline{Y}(x, x_0) \quad \underline{Y}(x, x_0) = I \quad (3.5)$$

özelliklerini sağlar. Eksen eğrisinin normal ve binormal doğrultularının, kesitin asal doğrultularıyla çakıştığı durumu belirleyen (2.39)'da verilen denklem takımının homojen şekli;

$$\frac{dv}{d\phi} = -\rho_0(\phi) \Omega_n + \frac{\rho_0(\phi)}{C_{bb}(\phi)} R_b$$

$$\frac{d\Omega_n}{d\phi} = -\Omega_t + \frac{\rho_0(\phi)}{D_{nn}(\phi)} M_n$$

$$\frac{d\Omega_t}{d\phi} = \Omega_n + \frac{\rho_0(\phi)}{D_{tt}(\phi)} M_t$$

$$\frac{dM_n}{d\phi} = -M_t + \rho_0(\phi) R_b$$

$$\frac{dM_t}{d\phi} = M_n$$

$$\frac{dR_b}{d\phi} = 0 \quad (3.6)$$

olarak ifade edilebilir. Bu denklem takımının son denklemi bir kez türetilir ve beşinci denklemde yerine konursa;

$$\frac{d^2M_t}{d\phi^2} + M_t - \rho_0(\phi)R_b = 0 \quad (3.7)$$

diferansiyel denklemi elde edilir. Bilindiği gibi bu denklem homojen kısmının çözümü;

$$M_t = A. \cos \phi + B. \sin \phi \quad (3.8)$$

şeklindedir. Buradan M_n ise;

$$M_n = -A \cdot \sin \varphi + B \cdot \cos \varphi \quad (3.9)$$

şeklinde elde edilir. Başlangıç noktası olarak $\varphi = 0$ alınır ve buradaki başlangıç değerleri M_{n0} ve M_{t0} bilinirse, sabitler bu değerler cinsinden ifade edilebilir;

$$A = M_{t0} \quad B = M_{n0} \quad (3.10)$$

Böylece, (3.7) denkleminin homojen çözümü;

$$\begin{aligned} M_t &= M_{t0} \cdot \cos \varphi + M_{n0} \cdot \sin \varphi \\ M_n &= -M_{t0} \cdot \sin \varphi + M_{n0} \cdot \cos \varphi \end{aligned} \quad (3.11)$$

olarak elde edilebilirler. (3.4) denklemi kullanılarak;

$$\begin{aligned} \vec{y}(\varphi) &= \underline{Y}(\varphi, \varphi_0) \vec{y}(\varphi_0) \\ \begin{Bmatrix} M_t \\ M_n \end{Bmatrix} &= \begin{bmatrix} \cos \varphi & \sin \varphi \\ -\sin \varphi & \cos \varphi \end{bmatrix} \begin{Bmatrix} M_{t0} \\ M_{n0} \end{Bmatrix} \end{aligned} \quad (3.12)$$

şeklinde matrisel formda yazılabilir.

(3.1) denklemi yardımıyla;

$$\begin{aligned} \frac{d\vec{y}}{d\varphi} &= A(\varphi) \vec{y} + \vec{f}(\varphi) \\ \frac{d}{d\varphi} \begin{Bmatrix} M_t \\ M_n \end{Bmatrix} &= \begin{bmatrix} 1 & 0 \\ 0 & -1 \end{bmatrix} \begin{Bmatrix} M_n \\ M_t \end{Bmatrix} + \begin{Bmatrix} 0 \\ \rho_0 R_b \end{Bmatrix} \end{aligned} \quad (3.13)$$

matrisel diferansiyel denklemi elde edilir. (3.2) denkleminde;

$$\begin{aligned} \vec{y}(\varphi) &= \underline{Y}(\varphi, \varphi_0) \vec{y}_0 + \underline{Y}(\varphi, \varphi_0) \int_{\varphi_0}^{\varphi} \underline{Y}^{-1}(\xi, \varphi_0) \vec{f}(\xi) d\xi \\ \underline{Y}^{-1}(\xi, \varphi_0) &= \begin{bmatrix} \cos \varphi & -\sin \varphi \\ \sin \varphi & \cos \varphi \end{bmatrix} \end{aligned} \quad (3.14)$$

olacağından; (3.2) denklemi ;

$$\begin{Bmatrix} M_t \\ M_n \end{Bmatrix} = \begin{bmatrix} \cos\varphi & \sin\varphi \\ -\sin\varphi & \cos\varphi \end{bmatrix} \begin{Bmatrix} M_{t0} \\ M_{n0} \end{Bmatrix} + \begin{bmatrix} \cos\varphi & \sin\varphi \\ -\sin\varphi & \cos\varphi \end{bmatrix} \int_{\varphi_0}^{\varphi} \begin{bmatrix} \cos\xi & -\sin\xi \\ \sin\xi & \cos\xi \end{bmatrix} \begin{Bmatrix} 0 \\ \rho_0 R_b \end{Bmatrix} d\xi \quad (3.15)$$

şeklinde yazılabilir. Bu denklemin çözümünden eğilme momenti değişimi;

$$\begin{aligned} M_t &= \cos\varphi M_{t0} + \sin\varphi M_{n0} - \cos\varphi \int_0^\varphi \sin\psi \rho_0 R_b d\psi + \sin\varphi \int_0^\varphi \cos\psi \rho_0 R_b d\psi \\ M_n &= -\sin\varphi M_{t0} + \cos\varphi M_{n0} + \sin\varphi \int_0^\varphi \sin\psi \rho_0 R_b d\psi + \cos\varphi \int_0^\varphi \cos\psi \rho_0 R_b d\psi \end{aligned} \quad (3.16)$$

şeklinde elde edilir.

Kesitin dönme miktarlarını ifade eden (3.6) homojen denklem takımının ikinci ve üçüncü denklemleri;

$$f_1(\varphi) = \frac{\rho_0(\varphi)}{D_m(\varphi)} M_n \quad f_2(\varphi) = \frac{\rho_0(\varphi)}{D_u(\varphi)} M_t$$

olmak üzere;

$$\begin{aligned} \frac{d\Omega_n}{d\varphi} + \Omega_t &= f_1(\varphi) \\ \frac{d\Omega_t}{d\varphi} - \Omega_n &= f_2(\varphi) \end{aligned} \quad (3.17)$$

denklem takımı şeklinde yazılabilir. Bu denklem takımının homojen çözümü, $\varphi = \varphi_0 = 0$ başlangıç noktasında, Ω_{t0} ve Ω_{n0} başlangıç değerleri olmak üzere;

$$\begin{aligned} \Omega_t &= \Omega_{t0} \cos\varphi + \Omega_{n0} \sin\varphi \\ \Omega_n &= -\Omega_{t0} \sin\varphi + \Omega_{n0} \cos\varphi \end{aligned} \quad (3.18)$$

şeklinde elde edilir.

(3.1) denklemi kullanılarak;

$$\vec{y}(\varphi) = \underline{Y}(\varphi, \varphi_0) \vec{y}(\varphi_0)$$

$$\begin{Bmatrix} \Omega_t \\ \Omega_n \end{Bmatrix} = \begin{bmatrix} \cos\varphi & \sin\varphi \\ -\sin\varphi & \cos\varphi \end{bmatrix} \begin{Bmatrix} \Omega_{t0} \\ \Omega_{n0} \end{Bmatrix} \quad (3.19)$$

şeklinde matrisel formda yazılabilir. (3.1) denklemi yardımıyla;

$$\frac{d\vec{y}}{d\phi} = \mathbf{A}(\phi) \vec{y} + \vec{f}(\phi)$$

$$\frac{d}{d\phi} \begin{Bmatrix} \Omega_t \\ \Omega_n \end{Bmatrix} = \begin{bmatrix} 0 & 1 \\ -1 & 0 \end{bmatrix} \begin{Bmatrix} \Omega_t \\ \Omega_n \end{Bmatrix} + \begin{Bmatrix} \frac{\rho_0(\phi)}{D_{tt}(\phi)} M_t \\ \frac{\rho_0(\phi)}{D_{nn}(\phi)} M_n \end{Bmatrix} \quad (3.20)$$

matrisel diferansiyel denklemi elde edilir. (3.2) denkleminde ;

$$\mathbf{Y}^{-1}(\xi, \phi_0) = \begin{bmatrix} \cos\phi & -\sin\phi \\ \sin\phi & \cos\phi \end{bmatrix} \quad (3.21)$$

olacağından; (3.2) denklemi;

$$\begin{Bmatrix} \Omega_t \\ \Omega_n \end{Bmatrix} = \begin{bmatrix} \cos\phi & \sin\phi \\ -\sin\phi & \cos\phi \end{bmatrix} \begin{Bmatrix} \Omega_{t0} \\ \Omega_{n0} \end{Bmatrix} + \begin{bmatrix} \cos\phi & \sin\phi \\ -\sin\phi & \cos\phi \end{bmatrix} \int_0^\phi \begin{bmatrix} \cos\psi & -\sin\psi \\ \sin\psi & \cos\psi \end{bmatrix}$$

$$\begin{Bmatrix} \frac{\rho_0(\psi)}{D_{tt}(\psi)} M_t \\ \frac{\rho_0(\psi)}{D_{nn}(\psi)} M_n \end{Bmatrix} d\psi \quad (3.22)$$

şeklinde yazılabilir. Ve bu denklemin çözümünden, kesitin, kiriş eğrisinin teğeti doğrultusundaki dönme miktarı;

$$\Omega_t = \Omega_{t0} \cos\phi + \Omega_{n0} \sin\phi + [\cos\phi \int_0^\phi \frac{\rho_0(\psi)}{D_{tt}(\psi)} \cos^2\psi d\psi + \cos\phi \int_0^\phi \frac{\rho_0(\psi)}{D_{nn}(\psi)} \sin^2\psi d\psi]$$

$$+ \sin\phi \int_0^\phi \frac{\rho_0(\psi)}{D_{tt}(\psi)} \cos\psi \sin\psi d\psi - \sin\phi \int_0^\phi \frac{\rho_0(\psi)}{D_{nn}(\psi)} \sin\psi \cos\psi d\psi] M_{t0}$$

$$+ [\cos\phi \int_0^\phi \frac{\rho_0(\psi)}{D_{tt}(\psi)} \cos\psi \sin\psi d\psi - \cos\phi \int_0^\phi \frac{\rho_0(\psi)}{D_{nn}(\psi)} \sin\psi \cos\psi d\psi]$$

$$+ \sin\phi \int_0^\phi \frac{\rho_0(\psi)}{D_{tt}(\psi)} \sin^2\psi d\psi + \sin\phi \int_0^\phi \frac{\rho_0(\psi)}{D_{nn}(\psi)} \cos^2\psi d\psi] M_{n0}$$

$$\begin{aligned}
& - \cos\varphi \int_0^\psi \frac{\rho_0(\psi)}{D_u(\psi)} \cos^2 \psi \int_0^\psi \sin\xi \rho_0 R_b d\xi d\psi \\
& + \cos\varphi \int_0^\psi \frac{\rho_0(\psi)}{D_u(\psi)} \sin\psi \cos\psi \int_0^\psi \cos\xi \rho_0 R_b d\xi d\psi \\
& - \cos\varphi \int_0^\psi \frac{\rho_0(\psi)}{D_m(\psi)} \sin^2 \psi \int_0^\psi \sin\xi \rho_0 R_b d\xi d\psi \\
& - \cos\varphi \int_0^\psi \frac{\rho_0(\psi)}{D_m(\psi)} \sin\psi \cos\psi \int_0^\psi \cos\xi \rho_0 R_b d\xi d\psi \\
& - \sin\varphi \int_0^\psi \frac{\rho_0(\psi)}{D_u(\psi)} \sin\psi \cos\psi \int_0^\psi \sin\xi \rho_0 R_b d\xi d\psi \\
& + \sin\varphi \int_0^\psi \frac{\rho_0(\psi)}{D_u(\psi)} \sin^2 \psi \int_0^\psi \cos\xi \rho_0 R_b d\xi d\psi \\
& + \sin\varphi \int_0^\psi \frac{\rho_0(\psi)}{D_m(\psi)} \sin\psi \cos\psi \int_0^\psi \sin\xi \rho_0 R_b d\xi d\psi \\
& + \sin\varphi \int_0^\psi \frac{\rho_0(\psi)}{D_m(\psi)} \cos^2 \psi \int_0^\psi \cos\xi \rho_0 R_b d\xi d\psi \tag{3.23}
\end{aligned}$$

Kesitin kiriş eğrisinin normal ekseni doğrultusundaki dönme miktarı;

$$\begin{aligned}
\Omega_n = & -\Omega_{t0} \sin\varphi + \Omega_{n0} \cos\varphi - [\sin\varphi \int_0^\psi \frac{\rho_0(\psi)}{D_u(\psi)} \cos^2 \psi d\psi + \sin\varphi \int_0^\psi \frac{\rho_0(\psi)}{D_m(\psi)} \sin^2 \psi d\psi \\
& - \cos\varphi \int_0^\psi \frac{\rho_0(\psi)}{D_u(\psi)} \cos\psi \sin\psi d\psi + \cos\varphi \int_0^\psi \frac{\rho_0(\psi)}{D_m(\psi)} \sin\psi \cos\psi d\psi] M_{t0} \\
& - [\sin\varphi \int_0^\psi \frac{\rho_0(\psi)}{D_u(\psi)} \cos\psi \sin\psi d\psi - \sin\varphi \int_0^\psi \frac{\rho_0(\psi)}{D_m(\psi)} \sin\psi \cos\psi d\psi \\
& - \cos\varphi \int_0^\psi \frac{\rho_0(\psi)}{D_u(\psi)} \sin^2 \psi d\psi - \cos\varphi \int_0^\psi \frac{\rho_0(\psi)}{D_m(\psi)} \cos^2 \psi d\psi] M_{n0}
\end{aligned}$$

$$\begin{aligned}
& + \sin\varphi \int_0^\varphi \frac{\rho_0(\psi)}{D_u(\psi)} \cos^2\psi \int_0^\psi \sin\xi \rho_0 R_b d\xi d\psi \\
& - \sin\varphi \int_0^\varphi \frac{\rho_0(\psi)}{D_u(\psi)} \sin\psi \cos\psi \int_0^\psi \cos\xi \rho_0 R_b d\xi d\psi \\
& + \sin\varphi \int_0^\varphi \frac{\rho_0(\psi)}{D_m(\psi)} \cos\psi \sin\psi \int_0^\psi \sin\xi \rho_0 R_b d\xi d\psi \\
& - \cos\varphi \int_0^\varphi \frac{\rho_0(\psi)}{D_u(\psi)} \sin\psi \cos\psi \int_0^\psi \sin\xi \rho_0 R_b d\xi d\psi \\
& + \cos\varphi \int_0^\varphi \frac{\rho_0(\psi)}{D_u(\psi)} \sin^2\psi \int_0^\psi \cos\xi \rho_0 R_b d\xi d\psi \\
& + \cos\varphi \int_0^\varphi \frac{\rho_0(\psi)}{D_m(\psi)} \sin\psi \cos\psi \int_0^\psi \sin\xi \rho_0 R_b d\xi d\psi \\
& + \cos\varphi \int_0^\varphi \frac{\rho_0(\psi)}{D_m(\psi)} \cos^2\psi \int_0^\psi \cos\xi \rho_0 R_b d\xi d\psi \\
& + \sin\varphi \int_0^\varphi \frac{\rho_0(\psi)}{D_m(\psi)} \sin^2\psi \int_0^\psi \sin\xi \rho_0 R_b d\xi d\psi
\end{aligned} \tag{3.24}$$

şeklinde elde edilebilir.

Kiriş eğrisinin normal ekseni doğrultusundaki yerdeğiştirme miktarı;

$$\begin{aligned}
v = & v_0 + \int_0^\varphi \rho_0(\psi) \sin\psi d\psi \quad \Omega_{t0} - \int_0^\varphi \rho_0(\psi) \cos\psi d\psi \quad \Omega_{n0} \\
& + \left[\int_0^\varphi \rho_0(\psi) \sin\psi \int_0^\psi \frac{\rho_0(\xi)}{D_u(\xi)} \cos^2\xi d\xi d\psi + \int_0^\varphi \rho_0(\psi) \sin\psi \int_0^\psi \frac{\rho_0(\xi)}{D_m(\xi)} \sin^2\xi d\xi d\psi \right. \\
& - \left. \int_0^\varphi \rho_0(\psi) \cos\psi \int_0^\psi \frac{\rho_0(\xi)}{D_u(\xi)} \cos\xi \sin\xi d\xi d\psi + \int_0^\varphi \rho_0(\psi) \cos\psi \int_0^\psi \frac{\rho_0(\xi)}{D_m(\xi)} \cos\xi \sin\xi d\xi d\psi \right] M_{t0} \\
& + \left[\int_0^\varphi \rho_0(\psi) \sin\psi \int_0^\psi \frac{\rho_0(\xi)}{D_u(\xi)} \cos\xi \sin\xi d\xi d\psi - \int_0^\varphi \rho_0(\psi) \sin\psi \int_0^\psi \frac{\rho_0(\xi)}{D_m(\xi)} \cos\xi \sin\xi d\xi d\psi \right]
\end{aligned}$$

$$\begin{aligned}
& - \int_0^\psi \rho_0(\psi) \cos \psi \int_0^\psi \frac{\rho_0(\xi)}{D_{tt}(\xi)} \sin^2 \xi d\xi d\psi - \int_0^\psi \rho_0(\psi) \cos \psi \int_0^\psi \frac{\rho_0(\xi)}{D_{mm}(\xi)} \cos^2 \xi d\xi d\psi] M_{n0} \\
& - \int_0^\psi \rho_0(\psi) \sin \psi \int_0^\psi \frac{\rho_0(\xi)}{D_{tt}(\xi)} \cos^2 \xi \int_0^\xi \sin \theta \rho_0 R_b d\theta d\xi d\psi \\
& + \int_0^\psi \rho_0(\psi) \sin \psi \int_0^\psi \frac{\rho_0(\xi)}{D_{tt}(\xi)} \cos \xi \sin \xi \int_0^\xi \cos \theta \rho_0 R_b d\theta d\xi d\psi \\
& - \int_0^\psi \rho_0(\psi) \sin \psi \int_0^\psi \frac{\rho_0(\xi)}{D_{mm}(\xi)} \cos \xi \sin \xi \int_0^\xi \cos \theta \rho_0 R_b d\theta d\xi d\psi \\
& + \int_0^\psi \rho_0(\psi) \cos \psi \int_0^\psi \frac{\rho_0(\xi)}{D_{tt}(\xi)} \cos \xi \sin \xi \int_0^\xi \sin \theta \rho_0 R_b d\theta d\xi d\psi \\
& - \int_0^\psi \rho_0(\psi) \cos \psi \int_0^\psi \frac{\rho_0(\xi)}{D_{tt}(\xi)} \sin^2 \xi \int_0^\xi \cos \theta \rho_0 R_b d\theta d\xi d\psi \\
& - \int_0^\psi \rho_0(\psi) \cos \psi \int_0^\psi \frac{\rho_0(\xi)}{D_{mm}(\xi)} \cos \xi \sin \xi \int_0^\xi \sin \theta \rho_0 R_b d\theta d\xi d\psi \\
& - \int_0^\psi \rho_0(\psi) \cos \psi \int_0^\psi \frac{\rho_0(\xi)}{D_{mm}(\xi)} \cos^2 \xi \int_0^\xi \cos \theta \rho_0 R_b d\theta d\xi d\psi \\
& - \int_0^\psi \rho_0(\psi) \sin \psi \int_0^\psi \frac{\rho_0(\xi)}{D_{mm}(\xi)} \sin^2 \xi \int_0^\xi \sin \theta \rho_0 R_b d\theta d\xi d\psi + \int_0^\psi \frac{\rho_0(\psi)}{C_{bb}(\psi)} d\psi R_b \quad (3.25)
\end{aligned}$$

şeklinde elde edilir.

Elde edilen bu eşitlikler bazı kısaltmalar yardımıyla;

$$\begin{aligned}
v &= Y_{11} v_0 + Y_{12} \Omega_{n0} + Y_{13} \Omega_{t0} + Y_{14} M_{n0} + Y_{15} M_{t0} + Y_{16} R_{bo} \\
\Omega_n &= Y_{22} \Omega_{n0} + Y_{23} \Omega_{t0} + Y_{24} M_{n0} + Y_{25} M_{t0} + Y_{26} R_{bo} \\
\Omega_t &= Y_{32} \Omega_{n0} + Y_{33} \Omega_{t0} + Y_{34} M_{n0} + Y_{35} M_{t0} + Y_{36} R_{bo} \\
M_n &= Y_{44} M_{n0} + Y_{45} M_{t0} + Y_{46} R_{bo} \\
M_t &= Y_{54} M_{n0} + Y_{55} M_{t0} + Y_{56} R_{bo} \\
R_b &= Y_{66} R_{bo}
\end{aligned}$$

Böylece, dairesel kesitli bir kiriş için eksen eğrisi ne olursa olsun, Asal Matris elde edilmiş olur.

$$\underline{Y} = \begin{bmatrix} Y_{11} & Y_{12} & Y_{13} & Y_{14} & Y_{15} & Y_{16} \\ 0 & Y_{22} & Y_{23} & Y_{24} & Y_{25} & Y_{26} \\ 0 & Y_{32} & Y_{33} & Y_{34} & Y_{35} & Y_{36} \\ 0 & 0 & 0 & Y_{44} & Y_{45} & Y_{46} \\ 0 & 0 & 0 & Y_{54} & Y_{55} & Y_{56} \\ 0 & 0 & 0 & 0 & 0 & Y_{66} \end{bmatrix} \quad (3.26)$$

Bu genel asal matris, eksen eğri formu bilinen dairesel kesitli kirişler için kullanılabilir.

3.2. Çember Eksenli Dairesel Sabit Kesitli Kiriş Örneği

Çember eksenli bir kirişin eğrilik yarıçapı;

$$\rho_0(\phi) = \rho_{c0} = \text{sabit} \quad (3.27)$$

olarak ifade edilebilir. Burada ρ_{c0} referans koordinatındaki eğrilik yarıçapıdır ve sabittir. Rijitliklerin;

$$\begin{aligned} D_{mm} &= E I_{n0} = \text{sabit} & D_{tt} &= G I_p = \text{sabit} \\ C_{bb} &= \frac{1}{k_b} G A_0 = \text{sabit} & & \end{aligned} \quad (3.28)$$

şeklinde olduğu, çember eksenli dairesel sabit kesitli kirişler için hesap yapılacaktır. Burada, I_{n0} ve A_0 sırasıyla referans koordinatındaki eylemsizlik momenti ve kiriş kesit alanı değeri; E ve G sırasıyla elastiklik ve kayma modülleri; k_b ise kayma gerilmesinin kesite uniform olarak dağılmadığını ifade eden sabittir.

Bu eşitlikler yardımıyla genel asal matris düzenlenirse;

$$Y_{11} = 1$$

$$Y_{12} = -\rho_{c0} \sin\phi$$

$$Y_{13} = \rho_{c0} (1 - \cos\phi)$$

$$\begin{aligned} Y_{14} &= \left[\rho_{c0}^2 \left(\frac{1}{GI_p} - \frac{1}{EI_{n0}} \right) \left(\frac{1}{3} - \frac{\cos\phi}{2} + \frac{\cos^3\phi}{6} \right) \right. \\ &\quad \left. - \frac{\rho_{c0}^2}{GI_p} \left(-\frac{2}{3} + \frac{5\cos\phi}{8} + \frac{\cos 3\phi}{24} + \frac{\phi \sin\phi}{2} \right) - \frac{\rho_{c0}^2}{EI_{n0}} \left(-\frac{1}{3} + \frac{3\cos\phi}{8} - \frac{\cos 3\phi}{24} + \frac{\phi \sin\phi}{2} \right) \right] \end{aligned}$$

$$Y_{15} = \rho^2 c_0 \left(\frac{1}{EI_{n0}} - \frac{1}{GI_p} \right) \left(\frac{\sin \phi}{8} - \frac{\sin 3\phi}{24} \right) + \frac{\rho^2 c_0}{GI_p} \left(-\frac{(\phi \cos \phi)}{2} + \frac{5 \sin \phi}{8} - \frac{\sin 3\phi}{24} \right)$$

$$+ \frac{\rho^2 c_0}{EI_{n0}} \left(-\frac{(\phi \cos \phi)}{2} + \frac{3 \sin \phi}{8} + \frac{\sin 3\phi}{24} \right)$$

$$Y_{16} = -\frac{\rho^3 c_0}{GI_p} \left(-\frac{3\phi}{4} - \phi \cos \phi + \frac{5 \sin \phi}{4} + \frac{\sin 2\phi}{3} - \frac{\sin 3\phi}{12} + \frac{\sin 4\phi}{48} \right)$$

$$+ \rho^3 c_0 \left(\frac{1}{GI_p} - \frac{1}{EI_{n0}} \right) \left(\frac{\phi}{2} - \frac{\sin 2\phi}{3} + \frac{\sin 4\phi}{24} \right)$$

$$+ \rho^3 c_0 \left(\frac{1}{GI_p} - \frac{1}{EI_{n0}} \right) \left(\frac{\phi}{2} - \frac{5 \sin \phi}{6} + \frac{\sin 2\phi}{3} - \frac{\sin 3\phi}{6} + \frac{\sin 4\phi}{24} \right)$$

$$- \frac{\rho^3 c_0}{GI_p} \left[\frac{\text{Log}(\cos \frac{\phi}{2} - \sin \frac{\phi}{2})}{2} - \frac{\text{Log}(\cos \frac{\phi}{2} + \sin \frac{\phi}{2})}{2} + \frac{\sec \phi \tan \phi}{2} \right]$$

$$- \frac{\rho^3 c_0}{EI_{n0}} \left(\frac{2}{3} - \sec \phi + \frac{\sec^3 \phi}{3} \right) - \frac{\rho^3 c_0}{EI_{n0}} (-1 + \sec \phi) + \frac{\rho c_0 k_b}{GA_0} \phi$$

$$Y_{22} = \cos \phi$$

$$Y_{23} = -\sin \phi$$

$$Y_{24} = \frac{\rho c_0}{GI_p} \cos \phi \left(\frac{\phi}{2} - \frac{\sin 2\phi}{4} \right) + \frac{\rho c_0}{EI_{n0}} \cos \phi \left(\frac{\phi}{2} + \frac{\sin 2\phi}{4} \right)$$

$$+ \rho c_0 \sin \phi \left(\frac{1}{EI_{n0}} - \frac{1}{GI_p} \right) \left(\frac{1}{2} - \frac{\cos^2 \phi}{2} \right)$$

$$Y_{25} = \frac{\rho c_0}{GI_p} \sin \phi \left(\frac{\phi}{2} + \frac{\sin 2\phi}{4} \right) - \frac{\rho c_0}{EI_{n0}} \sin \phi \left(\frac{\phi}{2} - \frac{\sin 2\phi}{4} \right)$$

$$+ \rho c_0 \cos \phi \left(\frac{1}{GI_p} - \frac{1}{EI_{n0}} \right) \left(\frac{1}{2} - \frac{\cos^2 \phi}{2} \right)$$

$$Y_{26} = \frac{\rho^2 c_0}{GI_p} \sin \phi \left(\phi - \frac{3 \sin \phi}{2} + \frac{\sin 2\phi}{2} - \frac{\sin 3\phi}{6} \right) + \rho^2 c_0 \sin \phi \left(\frac{1}{EI_{n0}} - \frac{1}{GI_p} \right) \left(\frac{\sin^3 \phi}{3} \right)$$

$$\begin{aligned}
& + \rho_{c0}^2 \cos\varphi \left(\frac{1}{EI_{n0}} - \frac{1}{GI_p} \right) \left(\frac{1}{6} - \frac{\cos^2\varphi}{2} + \frac{\cos^3\varphi}{3} \right) + \frac{\rho_{c0}^2}{EI_{n0}} \cos\varphi \left(\frac{1}{3} - \frac{\cos^3\varphi}{3} \right) \\
& + \frac{\rho_{c0}^2}{GI_p} \cos\varphi \left(\frac{2}{3} - \frac{3\cos\varphi}{4} + \frac{\cos 3\varphi}{12} \right) + \frac{\rho_{c0}^2}{EI_{n0}} \cos\varphi \left(\varphi - \frac{\sin\varphi}{2} - \frac{\sin 2\varphi}{2} + \frac{\sin 3\varphi}{6} \right)
\end{aligned}$$

$$\mathbf{Y}_{32} = \sin\varphi$$

$$\mathbf{Y}_{33} = \cos\varphi$$

$$\begin{aligned}
\mathbf{Y}_{34} &= \rho_{c0} \cos\varphi \left(\frac{1}{GI_p} - \frac{1}{EI_{n0}} \right) \left(\frac{1}{2} - \frac{\cos^2\varphi}{2} \right) + \frac{\rho_{c0}}{GI_p} \sin\varphi \left(\frac{\varphi}{2} - \frac{\sin 2\varphi}{4} \right) \\
& + \frac{\rho_{c0}}{EI_{n0}} \sin\varphi \left(\frac{\varphi}{2} + \frac{\sin 2\varphi}{4} \right)
\end{aligned}$$

$$\mathbf{Y}_{35} = \rho_{c0} \sin\varphi \left(\frac{1}{GI_p} - \frac{1}{EI_{n0}} \right) \left(\frac{1}{2} - \frac{\cos^2\varphi}{2} \right)$$

$$+ \frac{\rho_{c0}}{GI_p} \cos\varphi \left(\frac{\varphi}{2} + \frac{\sin 2\varphi}{4} \right) + \frac{\rho_{c0}}{EI_{n0}} \cos\varphi \left(\frac{\varphi}{2} - \frac{\sin 2\varphi}{4} \right)$$

$$\mathbf{Y}_{36} = -\frac{\rho_{c0}^2}{GI_p} \cos\varphi \left(\varphi - \frac{3\sin\varphi}{2} + \frac{\sin 2\varphi}{2} + \frac{\sin 3\varphi}{6} \right) + \rho_{c0}^2 \cos\varphi \left(\frac{1}{GI_p} - \frac{1}{EI_{n0}} \right) \left(\frac{\sin^3\varphi}{3} \right)$$

$$+ \rho_{c0}^2 \sin\varphi \left(\frac{1}{EI_{n0}} - \frac{1}{GI_p} \right) \left(\frac{1}{6} - \frac{\cos^2\varphi}{2} + \frac{\cos^3\varphi}{3} \right) + \frac{\rho_{c0}^2}{GI_p} \sin\varphi \left(\frac{2}{3} - \frac{3\cos\varphi}{4} + \frac{\cos 3\varphi}{12} \right)$$

$$- \frac{\rho_{c0}^2}{EI_{n0}} \cos\varphi \left(\varphi - \frac{\sin\varphi}{2} - \frac{\sin 2\varphi}{2} + \frac{\sin 3\varphi}{6} \right) + \frac{\rho_{c0}^2}{EI_{n0}} \sin\varphi \left(\frac{1}{3} - \frac{\cos^3\varphi}{3} \right)$$

$$\mathbf{Y}_{44} = \cos\varphi$$

$$\mathbf{Y}_{45} = -\sin\varphi$$

$$\mathbf{Y}_{46} = \rho_{c0} \sin\varphi$$

$$\mathbf{Y}_{54} = \sin\varphi$$

$$\mathbf{Y}_{55} = \cos\varphi$$

$$\mathbf{Y}_{56} = \rho_{c0} (1 - \cos\varphi) \quad (3.29)$$

$$\mathbf{Y}_{66} = 1$$

şeklinde, çember eksenli dairesel sabit kesitli düzlemsel eğri eksenli kirişler için asal matris elde edilmiş olur.

3.3. Parabol Eksenli Dairesel Değişken Kesitli Kiriş Örneği

Parabolik bir kirişin eğrilik yarıçapı;

$$\rho_0(\varphi) = \frac{\rho_{c0}}{\cos^3\varphi} \quad (3.30)$$

olarak ifade edilebilir. Burada ρ_{c0} referans koordinatındaki eğrilik yarıçapı olup sabittir. Rijitliklerin;

$$D_{mm}(\varphi) = \frac{EI_{n0}}{\cos\varphi} \quad D_u = \frac{GI_p}{\cos\varphi} \quad C_{bb} = \frac{GA_0}{k_b \cos\varphi} \quad (3.31)$$

şeklinde değiştiği kirişler için hesap yapılacaktır. Burada; I_{n0} , A_0 , G , E ve k_b sembollerini bir önceki örnekte tanımladığı gibidir.

Bu eşitlikler yardımıyla genel asal matris düzenlenirse;

$$Y_{11} = 1 \quad Y_{12} = -\rho_{c0} \tan\varphi \quad Y_{13} = -\rho_{c0} \left(\frac{\sec^2\varphi}{2} - \frac{1}{2} \right)$$

$$Y_{14} = \left(\frac{\rho^2 c_0}{GI_p} - \frac{\rho^2 c_0}{EI_{n0}} \right) \left[\frac{1 - [1 + 2\log(\cos\varphi)]\sec^2\varphi}{4} \right] + \frac{\rho^2 c_0}{GI_p} \left[\frac{[\varphi^2 + 2\log(\cos\varphi)]}{2\cos^2\varphi} \right]$$

$$- \frac{\rho^2 c_0}{EI_{n0}} [\log(\cos\varphi) + \varphi \tan\varphi]$$

$$Y_{15} = \frac{\rho^2 c_0}{GI_p} \left(\frac{\varphi \sec^2\varphi}{2} - \frac{\tan\varphi}{2} \right) + \frac{\rho^2 c_0}{EI_{n0}} \left(-\frac{\varphi \sec^2\varphi}{2} + \frac{\tan\varphi}{6} + \frac{\sec^2\varphi \tan\varphi}{3} \right)$$

$$+ \left(\frac{\rho^2 c_0}{EI_{n0}} - \frac{\rho^2 c_0}{GI_p} \right) [\varphi - \tan\varphi - \log(\cos\varphi) \tan\varphi]$$

$$Y_{16} = - \frac{\rho^3 c_0}{GI_p} \left(\frac{1 - \cos 2\varphi \sec^4\varphi}{8} \right) + \left(\frac{\rho^3 c_0}{GI_p} - \frac{\rho^3 c_0}{EI_{n0}} \right) \left(-\frac{\varphi \sec^2\varphi}{2} + \frac{\tan\varphi}{6} + \frac{\sec^2\varphi \tan\varphi}{3} \right)$$

$$- \frac{\rho^3 c_0}{EI_{n0}} \left(-\varphi + \frac{5\tan\varphi}{6} + \log(\cos\varphi) \tan\varphi + \frac{\sec^2\varphi \tan\varphi}{6} \right)$$

$$\begin{aligned}
& - \frac{\rho_{co}^3}{EI_{n0}} [\varphi - \tan\varphi - \log(\cos\varphi)\tan\varphi] \\
& - \frac{\rho_{co}^3}{EI_{n0}} \left(\frac{\varphi \sec^2\varphi}{2} + \frac{\tan\varphi}{10} - \frac{7\sec^2\varphi\tan\varphi}{15} + \frac{\sec^4\varphi\tan\varphi}{15} \right) + \frac{\rho_{co}k_b}{GA_0} \tan\varphi
\end{aligned}$$

$$Y_{22} = \cos\varphi \quad Y_{23} = -\sin\varphi$$

$$Y_{24} = \frac{\rho_{co}}{GI_p} \cos\varphi(-\varphi + \tan\varphi) + \frac{\rho_{co}}{EI_{n0}} \cos\varphi.\varphi + \left(\frac{\rho_{co}}{GI_p} - \frac{\rho_{co}}{EI_{n0}} \right) [\sin\varphi \log(\cos\varphi)]$$

$$Y_{25} = -\frac{\rho_{co}}{GI_p} \sin\varphi.\varphi - \frac{\rho_{co}}{EI_{n0}} \sin\varphi(-\varphi + \tan\varphi) + \left(\frac{\rho_{co}}{EI_{n0}} - \frac{\rho_{co}}{GI_p} \right) [\cos\varphi \log(\cos\varphi)]$$

$$\begin{aligned}
Y_{26} &= \frac{\rho_{co}^2}{EI_{n0}} \sin\varphi \left(\frac{-\varphi + \tan\varphi}{2} \right) + \rho_{co}^2 \sin\varphi \left(\frac{1}{EI_{n0}} - \frac{1}{GI_p} \right) [-\varphi + \tan\varphi] \\
&+ \rho_{co}^2 \cos\varphi \left(\frac{1}{EI_{n0}} + \frac{1}{GI_p} \right) \left[-\frac{\varphi}{2} + \log(\cos\varphi) + \frac{\sec^2\varphi}{2} \right] \\
&+ \frac{\rho_{co}^2}{EI_{n0}} \sin\varphi \left(\frac{\varphi}{2} - \frac{2\tan\varphi}{3} + \frac{\sec^2\varphi\tan\varphi}{6} \right) + \frac{\rho_{co}^2}{EI_{n0}} \cos\varphi [-\log(\cos\varphi)]
\end{aligned}$$

$$Y_{32} = \sin\varphi \quad Y_{33} = \cos\varphi$$

$$Y_{34} = \frac{\rho_{co}}{EI_{n0}} \varphi \sin\varphi + \frac{\rho_{co}}{GI_p} \sin\varphi(-\varphi + \tan\varphi) + \rho_{co} \cos\varphi \left(\frac{1}{GI_p} - \frac{1}{EI_{n0}} \right) [-\log(\cos\varphi)]$$

$$Y_{35} = \frac{\rho_{co}}{GI_p} \varphi \cos\varphi + \frac{\rho_{co}}{EI_{n0}} \cos\varphi(-\varphi + \tan\varphi) + \rho_{co} \sin\varphi \left(\frac{1}{GI_p} - \frac{1}{EI_{n0}} \right) [-\log(\cos\varphi)]$$

$$\begin{aligned}
Y_{36} &= \frac{\rho_{co}^2}{GI_p} \cos\varphi \left(\frac{\varphi - \tan\varphi}{2} \right) + \rho_{co}^2 \cos\varphi \left(\frac{1}{GI_p} - \frac{1}{EI_{n0}} \right) [-\varphi + \tan\varphi] \\
&+ \rho_{co}^2 \sin\varphi \left(\frac{1}{EI_{n0}} + \frac{1}{GI_p} \right) \left[-\frac{\varphi}{2} + \log(\cos\varphi) + \frac{\sec^2\varphi}{2} \right]
\end{aligned}$$

$$- \frac{\rho_{co}^2}{EI_{n0}} \cos\varphi \left(\frac{\varphi}{2} - \frac{2\tan\varphi}{3} + \frac{\sec^2\varphi\tan\varphi}{6} \right) + \frac{\rho_{co}^2}{EI_{n0}} \sin\varphi [-\log(\cos\varphi)]$$

$$\begin{aligned}
 \mathbf{Y}_{45} &= -\sin\varphi & \mathbf{Y}_{44} &= \cos\varphi & \mathbf{Y}_{46} &= \rho_{c_0}\sin\varphi \left(\frac{\sec^2\varphi - 1}{2} \right) + \rho_{c_0}\sin\varphi \\
 \mathbf{Y}_{55} &= \cos\varphi & \mathbf{Y}_{54} &= \sin\varphi & \mathbf{Y}_{56} &= -\rho_{c_0}\cos\varphi \left(\frac{\sec^2\varphi - 1}{2} \right) + \rho_{c_0}\sin\varphi\tan\varphi \\
 \mathbf{Y}_{66} &= 1
 \end{aligned} \tag{3.32}$$

şeklinde, parabol eksenli dairesel değişken kesitli düzlemsel eğri eksenli kirişler için asal matris elde edilmiş olur.

3.4. Parabol Eksenli Dairesel Sabit Kesitli Kiriş Örneği

Parabolik bir kirişin eğrilik yarıçapı;

$$\rho_0(\varphi) = \frac{\rho_{c_0}}{\cos^3\varphi} \tag{3.30}$$

şeklinde ikinci örnekte olduğu gibi ifade edilebilir. Aynı şekilde, burada ρ_{c_0} referans koordinatındaki eğrilik yarıçapı olup sabittir. Rijitlikler; (3.28) eşitliklerinde olduğu gibi;

$$D_{nn} = EI_{n0} = \text{Sabit} \quad D_{tt} = GI_p = \text{Sabit} \quad C_{bb} = \frac{1}{k_b} GA_0 = \text{Sabit}$$

almak ve bu halde, parabol eksenli dairesel sabit kesitli kirişler için hesap yapılacaktır. Buradaki, I_{n0} , A_0 , G , E ve k_b sembollerini daha önce ifade edildiği gibidir.

Bu eşitlikler yardımıyla genel asal matris düzenlenirse;

$$\mathbf{Y}_{11} = 1 \quad \mathbf{Y}_{12} = -\rho_{c_0}\tan\varphi \quad \mathbf{Y}_{13} = \rho_{c_0} \left(\frac{\sec^2\varphi - 1}{2} \right)$$

$$\mathbf{Y}_{14} = \left(\frac{\rho_{c_0}^2}{GI_p} - \frac{\rho_{c_0}^2}{EI_{n0}} \right) \left[\frac{1 + (2 - 3\cos\varphi)\sec^3\varphi}{6} \right] - \frac{\rho_{c_0}^2}{GI_p} \left[-\frac{1}{12} + [\sec^3\varphi(20 - 21\cos\varphi) \right.$$

$$\left. + 12\cos^2\varphi - 7\cos^3\varphi + 6\log(\cos\frac{\varphi}{2} - \sin\frac{\varphi}{2})\sin\varphi - 6\log(\cos\frac{\varphi}{2} + \sin\frac{\varphi}{2})\sin\varphi \right]$$

$$+ 6\text{Log}(\cos \frac{\phi}{2} - \sin \frac{\phi}{2})\sin 3\phi - 6\text{Log}(\cos \frac{\phi}{2} + \sin \frac{\phi}{2})\sin 3\phi) \Big] \frac{1}{48} \Big]$$

$$-\frac{\rho^2 c_0}{EI_{n0}} \left[-\frac{\sin \frac{\phi}{2}}{\cos \frac{\phi}{2} - \sin \frac{\phi}{2}} + \frac{\sin \frac{\phi}{2}}{\cos \frac{\phi}{2} + \sin \frac{\phi}{2}} - \text{Log}(\cos \frac{\phi}{2} - \sin \frac{\phi}{2})\tan \phi \right. \\ \left. + \text{Log}(\cos \frac{\phi}{2} + \sin \frac{\phi}{2})\tan \phi \right]$$

$$Y_{1s} = \frac{\rho^2 c_0}{2GI_p} \left(\frac{\text{Log}(\cos \frac{\phi}{2} - \sin \frac{\phi}{2}) - \text{Log}(\cos \frac{\phi}{2} + \sin \frac{\phi}{2})}{2} - \text{Log}(\cos \frac{\phi}{2} - \sin \frac{\phi}{2})\sec^2 \phi \right.$$

$$\left. + \text{Log}(\cos \frac{\phi}{2} - \sin \frac{\phi}{2})\sec^2 \phi - \frac{1}{4(1 - \sin \phi)} + \frac{1}{4(1 + \sin \phi)} \right) \\ + \frac{\rho^2 c_0}{4EI_{n0}} \left(-\frac{\text{Log}(\cos \frac{\phi}{2} - \sin \frac{\phi}{2})}{4} + \frac{\text{Log}(\cos \frac{\phi}{2} + \sin \frac{\phi}{2})}{4} + \text{Log}(\cos \frac{\phi}{2} - \sin \frac{\phi}{2})\sec^2 \phi \right. \\ \left. - \text{Log}(\cos \frac{\phi}{2} + \sin \frac{\phi}{2})\sec^2 \phi + \frac{1}{8(1 - \sin \phi)} - \frac{1}{8(1 + \sin \phi)} + \frac{1}{8(\cos \frac{\phi}{2} - \sin \frac{\phi}{2})^4} \right. \\ \left. - \frac{1}{8(\cos \frac{\phi}{2} + \sin \frac{\phi}{2})^4} \right) + \left(\frac{\rho^2 c_0}{2EI_{n0}} - \frac{\rho^2 c_0}{2GI_p} \right) \left[-\text{Log}(\cos \frac{\phi}{2} - \sin \frac{\phi}{2}) + \text{Log}(\cos \frac{\phi}{2} + \sin \frac{\phi}{2}) \right]$$

$$- 2\tan \phi + \sec \phi \tan \phi \Big]$$

$$Y_{16} = \frac{\rho^3 c_0}{GI_p} \left[-\frac{\text{Log}(\cos \frac{\phi}{2} - \sin \frac{\phi}{2})}{32} + \frac{\text{Log}(\cos \frac{\phi}{2} + \sin \frac{\phi}{2})}{32} + \frac{\text{Log}(\cos \frac{\phi}{2} - \sin \frac{\phi}{2})\sec^2 \phi}{8} \right.$$

$$\left. - \frac{\text{Log}(\cos \frac{\phi}{2} + \sin \frac{\phi}{2})\sec^2 \phi}{8} + \frac{1}{64(1 - \sin \phi)} - \frac{1}{64(1 + \sin \phi)} + \frac{1}{64 \left[\cos \frac{\phi}{2} - \sin \frac{\phi}{2} \right]^4} \right]$$

$$\begin{aligned}
& - \frac{1}{64 \left[\cos \frac{\phi}{2} + \sin \frac{\phi}{2} \right]^4} + \left(\frac{2\rho^3 c_0}{GI_p} - \frac{\rho^3 c_0}{EI_{no}} \right) \left[\frac{3 \log(\cos \frac{\phi}{2} - \sin \frac{\phi}{2})}{16} \right. \\
& \left. - \frac{3 \log(\cos \frac{\phi}{2} + \sin \frac{\phi}{2})}{16} + \frac{\tan \phi}{3} - \frac{3 \sec \phi \tan \phi}{16} + \frac{\sec^3 \phi \tan \phi}{24} \right] \\
& - \frac{\rho^3 c_0}{EI_{no}} \left[- \frac{\log(\cos \frac{\phi}{2} - \sin \frac{\phi}{2})}{16} + \frac{\log(\cos \frac{\phi}{2} + \sin \frac{\phi}{2})}{16} + \frac{\log(\cos \frac{\phi}{2} - \sin \frac{\phi}{2}) \sec^2 \phi}{4} \right. \\
& \left. - \frac{\log(\cos \frac{\phi}{2} + \sin \frac{\phi}{2}) \sec^2 \phi}{4} + \frac{1}{32 \left[\cos \frac{\phi}{2} - \sin \frac{\phi}{2} \right]^4} + \frac{1}{32 \left[\cos \frac{\phi}{2} + \sin \frac{\phi}{2} \right]^4} \right. \\
& \left. + \frac{1}{32(1 - \sin \phi)} - \frac{1}{32(1 + \sin \phi)} \right] - \frac{\rho^3 c_0}{GI_p} \left[\frac{3 \log(\cos \frac{\phi}{2} - \sin \frac{\phi}{2})}{8} - \frac{3 \log(\cos \frac{\phi}{2} + \sin \frac{\phi}{2})}{8} \right. \\
& \left. + \frac{2 \tan \phi}{3} - \frac{3 \sec \phi \tan \phi}{8} + \frac{\sec^3 \phi \tan \phi}{8} \right] - \frac{\rho^3 c_0}{EI_{no}} \left[- \frac{\log(\cos \frac{\phi}{2} - \sin \frac{\phi}{2})}{2} \right. \\
& \left. - \tan \phi + \frac{\sec \phi \tan \phi}{2} + \frac{\log(\cos \frac{\phi}{2} - \sin \frac{\phi}{2})}{2} \right] - \frac{\rho^3 c_0}{EI_{no}} \left[\frac{\log(\cos \frac{\phi}{2} - \sin \frac{\phi}{2})}{64} \right. \\
& \left. - \frac{\log(\cos \frac{\phi}{2} + \sin \frac{\phi}{2})}{64} - \frac{3 \log(\cos \frac{\phi}{2} - \sin \frac{\phi}{2}) \sec^2 \phi}{32} + \frac{3 \log(\cos \frac{\phi}{2} + \sin \frac{\phi}{2}) \sec^2 \phi}{32} \right. \\
& \left. + \frac{1}{384 \left[\cos \frac{\phi}{2} - \sin \frac{\phi}{2} \right]^6} - \frac{1}{384 \left[\cos \frac{\phi}{2} + \sin \frac{\phi}{2} \right]^6} - \frac{1}{128(1 - \sin \phi)} + \frac{1}{128(1 + \sin \phi)} \right]
\end{aligned}$$

$$+ \frac{\rho_{c_0} k_b}{GA_0} \left[-\frac{\text{Log}(\cos \frac{\phi}{2} - \sin \frac{\phi}{2})}{2} + \frac{\text{Sec}\phi \tan\phi}{2} + \frac{\text{Log}(\cos \frac{\phi}{2} + \sin \frac{\phi}{2})}{2} \right]$$

$$Y_{22} = \cos\phi$$

$$Y_{23} = -\sin\phi$$

$$Y_{24} = \rho_{c_0} \sin\phi \left(\frac{1}{EI_{n_0}} - \frac{1}{GI_p} \right) (-1 + \text{Sec}\phi) + \frac{\rho_{c_0}}{GI_p} \cos\phi \left[\frac{\text{Log}(\cos \frac{\phi}{2} - \sin \frac{\phi}{2})}{2} \right. \\ \left. + \frac{\text{Sec}\phi \tan\phi}{2} \frac{\text{Log}(\cos \frac{\phi}{2} + \sin \frac{\phi}{2})}{2} \right] + \frac{\rho_{c_0}}{EI_{n_0}} \cos\phi \left[-\text{Log}(\cos \frac{\phi}{2} - \sin \frac{\phi}{2}) \right. \\ \left. + \text{Log}(\cos \frac{\phi}{2} + \sin \frac{\phi}{2}) \right]$$

$$Y_{25} = -\frac{\rho_{c_0}}{GI_p} \sin\phi \left[-\text{Log}(\cos \frac{\phi}{2} - \sin \frac{\phi}{2}) + \text{Log}(\cos \frac{\phi}{2} + \sin \frac{\phi}{2}) \right]$$

$$-\frac{\rho_{c_0}}{EI_{n_0}} \sin\phi \left[\frac{\text{Log}(\cos \frac{\phi}{2} - \sin \frac{\phi}{2})}{2} + \frac{\text{Sec}\phi \tan\phi}{2} - \frac{\text{Log}(\cos \frac{\phi}{2} + \sin \frac{\phi}{2})}{2} \right]$$

$$+ \rho_{c_0} \cos\phi \left(\frac{1}{GI_p} - \frac{1}{EI_{n_0}} \right) (-1 + \text{Sec}\phi)$$

$$Y_{26} = \frac{\rho^2 c_0}{GI_p} \sin\phi \left[\frac{\text{Log}(\cos \frac{\phi}{2} - \sin \frac{\phi}{2})}{4} + \frac{\text{Sec}\phi \tan\phi}{4} - \frac{\text{Log}(\cos \frac{\phi}{2} + \sin \frac{\phi}{2})}{4} \right]$$

$$-\frac{\rho^2 c_0}{GI_p} (\sin\phi + \cos\phi) \left[\frac{1}{3} - \frac{\text{Sec}\phi}{2} + \frac{\text{Sec}^3\phi}{6} \right] + \frac{\rho^2 c_0}{GI_p} \cos\phi \left[\frac{2}{3} - \text{Sec}\phi + \frac{\text{Sec}^3\phi}{3} \right]$$

$$+\frac{\rho^2 c_0}{EI_{n_0}} \sin\phi \left[\frac{\text{Log}(\cos \frac{\phi}{2} - \sin \frac{\phi}{2})}{2} + \frac{\text{Sec}\phi \tan\phi}{2} - \frac{\text{Log}(\cos \frac{\phi}{2} + \sin \frac{\phi}{2})}{2} \right]$$

$$\begin{aligned}
& + \frac{\rho_{co}^2}{EI_{n0}} \cos\varphi \left[\frac{1}{3} - \frac{\sec\varphi}{2} + \frac{\sec^3\varphi}{6} \right] + \frac{\rho_{co}^2}{EI_{n0}} \cos\varphi (-1 + \sec\varphi) \\
& + \frac{\rho_{co}^2}{EI_{n0}} \sin\varphi \left[\frac{\sec^3\varphi \tan\varphi}{8} \right. \\
& \left. - \frac{3\log(\cos\frac{\varphi}{2} - \sin\frac{\varphi}{2})}{16} + \frac{3\log(\cos\frac{\varphi}{2} + \sin\frac{\varphi}{2})}{16} - \frac{5\sec\varphi \tan\varphi}{16} \right]
\end{aligned}$$

$$Y_{32} = \sin\varphi \quad Y_{33} = \cos\varphi$$

$$\begin{aligned}
Y_{34} &= \frac{\rho_{co}}{EI_{n0}} \sin\varphi \left[-\log(\cos\frac{\varphi}{2} - \sin\frac{\varphi}{2}) + \log(\cos\frac{\varphi}{2} + \sin\frac{\varphi}{2}) \right] \\
& + \frac{\rho_{co}}{GI_p} \sin\varphi \left[\frac{\log(\cos\frac{\varphi}{2} - \sin\frac{\varphi}{2})}{2} + \frac{\sec\varphi \tan\varphi}{2} - \frac{\log(\cos\frac{\varphi}{2} + \sin\frac{\varphi}{2})}{2} \right]
\end{aligned}$$

$$+ \rho_{co} \cos\varphi \left(\frac{1}{GI_p} - \frac{1}{EI_{n0}} \right) (-1 + \sec\varphi)$$

$$\begin{aligned}
Y_{35} &= \frac{\rho_{co}}{GI_p} \cos\varphi \left[-\log(\cos\frac{\varphi}{2} - \sin\frac{\varphi}{2}) + \log(\cos\frac{\varphi}{2} + \sin\frac{\varphi}{2}) \right] \\
& + \frac{\rho_{co}}{EI_{n0}} \cos\varphi \left[\frac{\log(\cos\frac{\varphi}{2} - \sin\frac{\varphi}{2})}{2} + \frac{\sec\varphi \tan\varphi}{2} - \frac{\log(\cos\frac{\varphi}{2} + \sin\frac{\varphi}{2})}{2} \right] \\
& + \rho_{co} \sin\varphi \left(\frac{1}{GI_p} - \frac{1}{EI_{n0}} \right) (-1 + \sec\varphi)
\end{aligned}$$

$$Y_{36} = -\frac{\rho_{co}^2}{GI_p} \cos\varphi \left[\frac{\log(\cos\frac{\varphi}{2} - \sin\frac{\varphi}{2})}{4} + \frac{\sec\varphi \tan\varphi}{4} - \frac{\log(\cos\frac{\varphi}{2} + \sin\frac{\varphi}{2})}{4} \right]$$

$$+ \rho_{co}^2 \cos\varphi \left(\frac{1}{GI_p} - \frac{1}{EI_{n0}} \right) \left[\frac{\log(\cos\frac{\varphi}{2} - \sin\frac{\varphi}{2})}{2} + \frac{\sec\varphi \tan\varphi}{2} - \frac{\log(\cos\frac{\varphi}{2} + \sin\frac{\varphi}{2})}{2} \right]$$

$$\begin{aligned}
& - \frac{\rho^2 c_0}{EI_{n0}} \cos\varphi \left[\frac{\sec^3\varphi \tan\varphi}{8} - \frac{3\log(\cos\frac{\varphi}{2} - \sin\frac{\varphi}{2})}{16} + \frac{3\log(\cos\frac{\varphi}{2} + \sin\frac{\varphi}{2})}{16} \right. \\
& \left. - \frac{5\sec\varphi \tan\varphi}{16} \right] - \rho^2 c_0 \sin\varphi \left(\frac{1}{GI_p} - \frac{1}{EI_{n0}} \right) \left[\frac{1}{3} - \frac{\sec\varphi}{2} + \frac{\sec^3\varphi}{6} \right] \\
& + \frac{\rho^2 c_0}{GI_p} \sin\varphi \left[\frac{2}{3} - \sec\varphi + \frac{\sec^3\varphi}{3} \right] + \frac{\rho^2 c_0}{EI_{n0}} \sin\varphi (-1 + \sec\varphi)
\end{aligned}$$

$$\mathbf{Y}_{44} = \cos\varphi$$

$$\mathbf{Y}_{45} = -\sin\varphi$$

$$\mathbf{Y}_{46} = \rho_{c0} \sin\varphi \left(\frac{\sec^2\varphi - 1}{2} - 1 \right)$$

$$\mathbf{Y}_{54} = \sin\varphi$$

$$\mathbf{Y}_{55} = \cos\varphi$$

$$\mathbf{Y}_{56} = -\rho_{c0} \cos\varphi \left(\frac{\sec^2\varphi - 1}{2} \right) + \rho_{c0} \sin\varphi \tan\varphi$$

$$\mathbf{Y}_{66} = R_{b0}$$

(3.33)

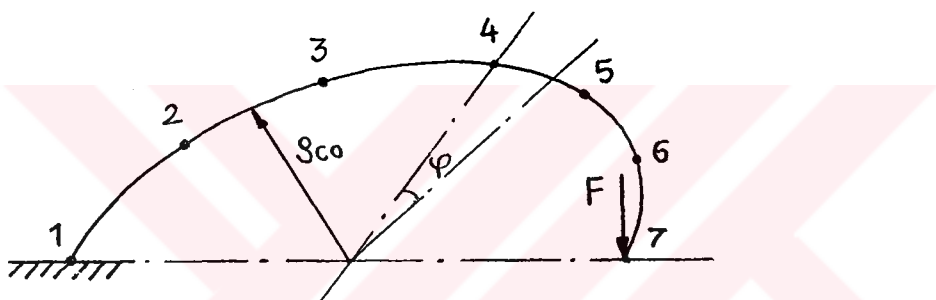
şeklinde, parabol eksenli dairesel sabit kesitli düzlemsel eğri eksenli kirişler için asal matris elde edilmiş olur.

BÖLÜM 4

SAYISAL ÖRNEKLER

4.1. Ankastre-Serbest Mesnetli, Serbest Ucundan Etkiyen F Tekil Yükünü

Taşıyan, Dairesel Sabit Kesitli Çember Eksenli Kiriş



Şekil - 4.1. Bir ucundan ankastre bağlı, diğer ucundan tekil bir yük etkisi altında bulunan dairesel sabit kesitli çember eksenli kiriş

Yaridakı şekilde, yükleme ve bağlama durumu gösterilen eğri eksenli kiriş için statik hesap yapılacaktır. Örnek (3.2)'de belirtildiği gibi çember eksenli bir kirişin eğrilik yarıçapı;

$$\rho_0(\varphi) = \rho_{c0} = \text{sabit}$$

olarak ifade edilebilir. Burada; ρ_{c0} referans koordinatındaki eğrilik yarıçapıdır ve sabittir. Rijitlikler; (3.28) denkleminde olduğu gibi;

$$D_{mn} = EI_{n0} = \text{sabit} \quad D_{tt} = GI_p = \text{sabit} \quad C_{bb} = \frac{1}{k_b} GA_0 = \text{sabit}$$

alınacaktır. Burada, daha önce tanımlandığı gibi, I_{n0} ve A_0 sırasıyla referans koordinatındaki eylemsizlik momenti ve kiriş kesit alanı değeri, E ve G sırasıyla

elastiklik ve kayma modülleri, k_b ise kayma gerilmesinin keside uniform olarak dağılmadığını ifade eden sabittir.

Eğri eksenli kırışın şekildeki yükleme ve bağlama durumu için, sınır şartları ;

$$\begin{array}{ll} v(-\pi/2) = 0 & R_b(\pi/2) = F \\ \Omega_n(-\pi/2) = 0 & M_n(\pi/2) = 0 \\ \Omega_t(-\pi/2) = 0 & M_t(\pi/2) = 0 \end{array} \quad (4.1)$$

şeklinde belirlenebilir.

Öte yandan dairesel sabit kesit için;

$$I_{n0} = \frac{\pi d^4}{64} \quad \text{ve} \quad I_p = \frac{\pi d^4}{32} \quad (4.2)$$

şeklinde olacağından, $I_p = 2I_{n0}$ olarak hesaplanabilir. Ayrıca; kırışın kesit alanı,

$$A_0 = \frac{\pi d^2}{4} \quad (4.3)$$

şeklindedir. Ve tablo – 2.1’ den dairesel kesit için, $k_b = 10/9$ olarak alınabilir.

Elde edilen bu verilere göre rijitlik ifadeleri yeniden düzenlenirse;

$$D_{nn} = EI_{n0} \quad D_{tt} = 2GI_{n0} \quad C_{bb} = \frac{9\pi}{40} Gd^2 \quad (4.4)$$

olarak elde edilebilirler.

Aşağıda, şekil-4.1’ deki yükleme ve mesnetleme durumu için, çember eksenli dairesel sabit kesitli eğri eksenli kırışın Mapple programı yardımıyla yapılan çözümü verilmiştir. Burada;

$$\rho_{c0} = 0.2 \text{ m}, \quad E = 0.207 \times 10^{12} \text{ N/m}^2, \quad G = 0.8 \times 10^{11} \text{ N/m}^2$$

$$F = 500 \text{ N}, \quad d = 0.02 \text{ m}$$

şeklinde seçilmiştir.

$$I_{n0} = \frac{\pi d^4}{64}; \quad I_p = \frac{\pi d^4}{32}; \quad A_0 = \frac{\pi d^2}{4}; \quad k_b = \frac{10}{9}$$

$\underline{Y} = \text{linalg matrix}(6, 6, [Y_{1,1}, Y_{1,2}, Y_{1,3}, Y_{1,4}, Y_{1,5}, Y_{1,6}, Y_{2,1}, Y_{2,2}, Y_{2,3}, Y_{2,4}, Y_{2,5}, Y_{2,6}, Y_{3,1}, Y_{3,2}, Y_{3,3}, Y_{3,4}, Y_{3,5}, Y_{3,6}, Y_{4,1}, Y_{4,2}, Y_{4,3}, Y_{4,4}, Y_{4,5}, Y_{4,6}, Y_{5,1}, Y_{5,2}, Y_{5,3}, Y_{5,4}, Y_{5,5}, Y_{5,6}, Y_{6,1}, Y_{6,2}, Y_{6,3}, Y_{6,4}, Y_{6,5}, Y_{6,6}])$

$YI = \text{matrix } 1..6, 1..6; \quad y0 = \text{linalg vector}(6); \quad y = \text{linalg vector}(6); \quad ye = \text{linalg vector}(6)$

$YE = \text{linalg matrix}(6, 6, [YE_{1,1}, YE_{1,2}, YE_{1,3}, YE_{1,4}, YE_{1,5}, YE_{1,6}, YE_{2,1}, YE_{2,2}, YE_{2,3}, YE_{2,4}, YE_{2,5}, YE_{2,6}, YE_{3,1}, YE_{3,2}, YE_{3,3}, YE_{3,4}, YE_{3,5}, YE_{3,6}, YE_{4,1}, YE_{4,2}, YE_{4,3}, YE_{4,4}, YE_{4,5}, YE_{4,6}, YE_{5,1}, YE_{5,2}, YE_{5,3}, YE_{5,4}, YE_{5,5}, YE_{5,6}, YE_{6,1}, YE_{6,2}, YE_{6,3}, YE_{6,4}, YE_{6,5}, YE_{6,6}])$

$b = \text{linalg vector}(6, [0, 0, 0, 0, 0, F])$

$$Y_{1,1} = 1$$

$$Y_{1,1} = 1$$

$$Y_{1,2} = -\rho_{c0} \int_0^\phi \cos \psi d\psi$$

$$Y_{1,2} = -\rho_{c0} \sin \phi$$

$$Y_{1,3} = \rho_{c0} \int_0^\phi \sin \psi d\psi$$

$$Y_{1,3} = \rho_{c0} (-\cos \phi + 1)$$

$$Y_{1,4} = \rho_{c0}^2$$

$$\left(\left(\frac{1}{GI_p} - \frac{1}{EI_{n0}} \right) \int_0^\phi \sin \psi \int_0^\psi \sin \xi \cos \xi d\xi d\psi - \int_0^\phi \cos \psi \left(\frac{\int_0^\psi \cos(\xi)^2 d\xi}{EI_{n0}} + \frac{\int_0^\psi \sin(\xi)^2 d\xi}{GI_p} \right) d\psi \right)$$

$$Y_{1,4} = \rho_{c0}^2 \left(\left(\frac{32}{G\pi d^4} - \frac{64}{E\pi d^4} \right) \left(\frac{1}{6} \cos(\phi)^3 - \frac{1}{2} \cos \phi + \frac{1}{3} \right) \right)$$

$$-\frac{16 - 2\cos(\phi)^3 G + 6G\cos\phi + 6G\phi\sin\phi + \cos(\phi)^3 E + 3E\cos\phi + 3E\phi\sin\phi}{3E\pi d^4 G} + \frac{64(G+E)}{3E\pi d^4 G}$$

$$Y_{1,5} = \rho^2 c_0$$

$$\left(\int_0^\psi \sin \psi \int_0^\psi \frac{\cos(\xi)^2}{GI_p} + \frac{\sin(\xi)^2}{EI_{n0}} d\xi d\psi + \int_0^\psi \cos(\phi) \int_0^\psi \cos(\xi) \sin(\xi) \left(\frac{1}{EI_{n0}} - \frac{1}{GI_p} \right) d\xi d\psi \right)$$

$$Y_{1,5} = \rho^2 c_0$$

$$\begin{aligned} & \left(-\frac{16 - E \sin(\phi)^3 - 3E \sin(\phi) + 3E\phi \cos(\phi) + 2G \sin(\phi)^3 - 6G \sin(\phi) + 6G\phi \cos(\phi)}{3 G \pi d^4 E} \right. \\ & \left. + \frac{16 \sin(\phi) (-2G \cos(\phi)^2 + 2G + E \cos(\phi)^2 - E)}{3 G \pi d^4 E} \right) \end{aligned}$$

$$Y_{1,6} = \frac{\rho_{c0} k_b \int_0^\psi 1 d\psi}{GA_0} - \rho^3 c_0$$

$$\begin{aligned} & \int_0^\psi \cos(\psi) \int_0^\psi \left(\frac{\cos(\xi)^2}{EI_{n0}} + \frac{\sin(\xi)^2}{GI_p} \right) \int_0^\xi \cos(\ell) d\ell + \cos(\xi) \sin(\xi) \left(\frac{1}{EI_n} - \frac{1}{GI_p} \right) \int_0^\xi \sin(\ell) d\ell d\xi \\ & + \sin(\phi) \int_0^\psi \left(\frac{\sin(\xi)^2}{EI_{n0}} + \frac{\cos(\xi)^2}{GI_p} \right) \int_0^\xi \sin(\ell) d\ell + \cos(\xi) \sin(\xi) \left(\frac{1}{EI_n} - \frac{1}{GI_p} \right) \int_0^\xi \cos(\ell) d\ell d\xi d\psi \end{aligned}$$

$$\begin{aligned} Y_{1,6} = & \frac{40}{9} \frac{\rho_{c0} \phi}{G \pi d^2} + \frac{8}{3} \rho^3 c_0 \left[-E \sin(\phi) \cos(\phi)^3 + E \sin(\phi) \cos(\phi) + 12E\phi - 2E \sin(\phi)^3 \right. \\ & - 16E \sin(\phi) + 6E\phi \cos(\phi) + 4G \sin(\phi)^3 - 16G \sin(\phi) + 12G\phi \cos(\phi) - E \sin(\phi)^3 \cos(\phi) \\ & \left. + 4G \sin(\phi) \cos(\phi)^2 - 2E \sin(\phi) \cos(\phi)^2 \right] / (G \pi d^4 E) \end{aligned}$$

$$Y_{2,1} = 0 ; \quad Y_{2,2} = \cos(\phi) ; \quad Y_{2,3} = -\sin(\phi)$$

$$Y_{2,1} = 0 \quad Y_{2,2} = \cos(\phi) \quad Y_{2,3} = -\sin(\phi)$$

$$Y_{2,4} = \rho c_0 \left(\cos \phi \int_0^\psi \frac{\cos(\psi)^2}{EI_{n0}} + \frac{\sin(\psi)^2}{GI_p} d\psi + \sin(\phi) \int_0^\psi \cos(\psi) \sin(\psi) \left(\frac{1}{EI_{n0}} - \frac{1}{GI_p} \right) d\psi \right)$$

$$Y_{2,4} = \rho_{c0} \left(16 \frac{\cos(\phi)(2G\sin(\phi)\cos(\phi) + 2G\phi - E\sin(\phi)\cos(\phi) + E\phi)}{G\pi d^4 E} \right.$$

$$\left. + \sin(\phi) \left(16 \frac{\cos(\phi)^2(-2G+E)}{G\pi d^4 E} - 16 \frac{-2G+E}{G\pi d^4 E} \right) \right)$$

$$Y_{2,5} = \rho_{c0} \left(-\sin(\phi) \int_0^\psi \frac{\cos(\psi)^2}{GI_p} + \frac{\sin(\psi)^2}{EI_{n0}} d\psi - \cos(\phi) \int_0^\psi \cos(\psi)\sin(\psi) \left(\frac{1}{EI_{n0}} - \frac{1}{GI_p} \right) d\psi \right)$$

$$Y_{2,5} = \rho_{c0} \left(-16 \frac{\sin(\phi)(E\sin(\phi)\cos(\phi) + E\phi - 2G\sin(\phi)\cos(\phi) + 2G\phi)}{G\pi d^4 E} \right.$$

$$\left. - \cos(\phi) \left(16 \frac{\cos(\phi)^2(-2G+E)}{G\pi d^4 E} - 16 \frac{-2G+E}{G\pi d^4 E} \right) \right)$$

$$Y_{2,6} = \rho^2 c_0 \cos(\phi)$$

$$\int_0^\psi \left(\frac{\cos(\psi)^2}{EI_{n0}} + \frac{\sin(\psi)^2}{GI_p} \right) \int_0^\xi \cos(\xi) d\xi + \cos(\psi)\sin(\psi) \left(\frac{1}{EI_{n0}} - \frac{1}{GI_p} \right) \int_0^\psi \sin(\xi) d\xi d\psi$$

$$Y_{2,6} = \rho^2 c_0 \cos(\phi)$$

$$\left(-\frac{16}{3} \frac{\cos(\phi)(2E\sin(\phi)^2 + 4E + 2E\cos(\phi)^2 + 6G\cos(\phi) - 3E\cos(\phi))}{G\pi d^4 E} + 16 \frac{E+2G}{G\pi d^4 E} \right)$$

$$Y_{3,1} = 0 ; \quad Y_{3,2} = \sin(\phi) ; \quad Y_{3,3} = \cos(\phi)$$

$$Y_{3,1} = 0 ; \quad Y_{3,2} = \sin(\phi) ; \quad Y_{3,3} = \cos(\phi)$$

$$Y_{3,4} = \rho_{c0} \left(\sin(\phi) \int_0^\psi \left(\frac{\cos(\psi)^2}{EI_{n0}} + \frac{\sin(\psi)^2}{GI_p} \right) d\psi + \cos(\phi) \int_0^\psi \cos(\psi)\sin(\psi) \left(\frac{1}{GI_p} - \frac{1}{EI_{n0}} \right) d\psi \right)$$

$$Y_{3,4} = \rho_{c0} \left(16 \frac{\sin(\phi)(2G\sin(\phi)\cos(\phi) + 2G\phi - E\sin(\phi)\cos(\phi) + E\phi)}{G\pi d^4 E} \right.$$

$$+ \cos(\phi) \left(-16 \frac{\cos(\phi)^2 (-2G+E)}{G\pi d^4 E} + 16 \frac{-2G+E}{G\pi d^4 E} \right)$$

$$Y_{3,5} = \rho_{c0} \left(\cos(\phi) \int_0^\psi \frac{\cos(\psi)^2}{GI_p} + \frac{\sin(\psi)^2}{EI_{n0}} d\psi + \sin(\phi) \int_0^\psi \cos(\psi) \sin(\psi) \left(\frac{1}{EI_{n0}} - \frac{1}{GI_p} \right) d\psi \right)$$

$$Y_{3,5} = \rho_{c0} \left(16 \frac{\cos(\phi)(E\sin(\phi)\cos(\phi) + E\phi - 2G\sin(\phi)\cos(\phi) + 2G\phi)}{G\pi d^4 E} \right.$$

$$\left. + \sin(\phi) \left(-16 \frac{\cos(\phi)^2 (-2G+E)}{G\pi d^4 E} + 16 \frac{-2G+E}{G\pi d^4 E} \right) \right)$$

$$Y_{3,6} = \rho^2 c_0$$

$$\left(\sin(\phi) \int_0^\psi \left(\frac{\cos(\psi)^2}{EI_{n0}} + \frac{\sin(\psi)^2}{GI_p} \right) \int_0^\psi \cos(\xi) d\xi + \cos(\psi) \sin(\psi) \left(\frac{1}{EI_{n0}} - \frac{1}{GI_p} \right) \int_0^\psi \sin(\xi) d\xi d\psi \right.$$

$$\left. - \cos(\phi) \int_0^\psi \left(\frac{\cos(\psi)^2}{GI_p} + \frac{\sin(\psi)^2}{EI_{n0}} \right) \int_0^\psi \sin(\xi) d\xi + \cos(\psi) \sin(\psi) \left(\frac{1}{EI_{n0}} - \frac{1}{GI_p} \right) \int_0^\psi \cos(\xi) d\xi d\psi \right)$$

$$Y_{3,6} = \rho^2 c_0$$

$$\left(\sin(\phi) \left(-\frac{16}{3} \frac{\cos(\phi)(2E\sin(\phi)^2 + 4E + 2E\cos(\phi)^2 + 6G\cos(\phi) - 3E\cos(\phi))}{G\pi d^4 E} + 16 \frac{E + 2G}{G\pi d^4 E} \right) \right.$$

$$\left. - \frac{16}{3} \cos(\phi) [3E\sin(\phi)\cos(\phi) + 3E\phi - 2E\sin(\phi)\cos(\phi)^2 - 4E\sin(\phi) - 6G\sin(\phi)\cos(\phi) + 6G\phi - 2E\sin(\phi)^3] / (G\pi d^4 E) \right)$$

$$Y_{4,1} = 0; \quad Y_{4,2} = 0; \quad Y_{4,3} = 0; \quad Y_{4,4} = \cos(\phi); \quad Y_{4,5} = -\sin(\phi);$$

$$Y_{4,6} = \rho_{c0} \left(\cos(\phi) \int_0^\psi \cos(\psi) d\psi + \sin(\phi) \int_0^\psi \sin(\psi) d\psi \right)$$

$$Y_{4,1} = 0; \quad Y_{4,2} = 0; \quad Y_{4,3} = 0; \quad Y_{4,4} = \cos(\phi); \quad Y_{4,5} = -\sin(\phi);$$

$$Y_{4,6} = \rho_{c0} [\sin(\phi)\cos(\phi) + \sin(\phi)(-\cos(\phi) + 1)]$$

$$\begin{aligned} Y_{5,1} &= 0 ; & Y_{5,2} &= 0 ; & Y_{5,3} &= 0 ; & Y_{5,4} &= \sin(\varphi) & Y_{5,5} &= \cos(\varphi) \\ Y_{5,1} &= 0 ; & Y_{5,2} &= 0 ; & Y_{5,3} &= 0 ; & Y_{5,4} &= \sin(\varphi) & Y_{5,5} &= \cos(\varphi) \end{aligned}$$

$$Y_{5,6} = \rho_{\text{co}} \left(\sin(\varphi) \int_0^{\varphi} \cos(\psi) d\psi - \cos(\varphi) \int_0^{\varphi} \sin(\psi) d\psi \right)$$

$$Y_{5,6} = \rho_{\text{co}} [\sin(\varphi)^2 - \cos(\varphi)(-\cos(\varphi) + 1)]$$

$$\begin{aligned} Y_{6,1} &= 0 ; & Y_{6,2} &= 0 ; & Y_{6,3} &= 0 ; & Y_{6,4} &= 0 & Y_{6,5} &= 0 & Y_{6,6} &= 1 \\ Y_{6,1} &= 0 ; & Y_{6,2} &= 0 ; & Y_{6,3} &= 0 ; & Y_{6,4} &= 0 & Y_{6,5} &= 0 & Y_{6,6} &= 1 \end{aligned}$$

$\text{YE}_{1,1} = \text{eval}(\text{subs}(\varphi = -1.570796327, Y_{1,1})) ;$

$\text{YE}_{1,2} = \text{eval}(\text{subs}(\varphi = -1.570796327, Y_{1,2})) ;$

$\text{YE}_{1,3} = \text{eval}(\text{subs}(\varphi = -1.570796327, Y_{1,3})) ;$

$\text{YE}_{1,4} = \text{eval}(\text{subs}(\varphi = -1.570796327, Y_{1,4})) ;$

$\text{YE}_{1,5} = \text{eval}(\text{subs}(\varphi = -1.570796327, Y_{1,5})) ;$

$\text{YE}_{1,6} = \text{eval}(\text{subs}(\varphi = -1.570796327, Y_{1,6})) ;$

$\text{YE}_{2,1} = \text{eval}(\text{subs}(\varphi = -1.570796327, Y_{2,1})) ;$

$\text{YE}_{2,2} = \text{eval}(\text{subs}(\varphi = -1.570796327, Y_{2,2})) ;$

$\text{YE}_{2,3} = \text{eval}(\text{subs}(\varphi = -1.570796327, Y_{2,3})) ;$

$\text{YE}_{2,4} = \text{eval}(\text{subs}(\varphi = -1.570796327, Y_{2,4})) ;$

$\text{YE}_{2,5} = \text{eval}(\text{subs}(\varphi = -1.570796327, Y_{2,5})) ;$

$\text{YE}_{2,6} = \text{eval}(\text{subs}(\varphi = -1.570796327, Y_{2,6})) ;$

$\text{YE}_{3,1} = \text{eval}(\text{subs}(\varphi = -1.570796327, Y_{3,1})) ;$

$\text{YE}_{3,2} = \text{eval}(\text{subs}(\varphi = -1.570796327, Y_{3,2})) ;$

$\text{YE}_{3,3} = \text{eval}(\text{subs}(\varphi = -1.570796327, Y_{3,3})) ;$

```

YE3,4 = eval ( subs ( φ = - 1.570796327 , Y3,4 )) ;

YE3,5 = eval ( subs ( φ = - 1.570796327 , Y3,5 )) ;

YE3,6 = eval ( subs ( φ = - 1.570796327 , Y3,6 )) ;

YE4,1 = eval ( subs ( φ = 1.570796327 , Y4,1 )) ;

YE4,2 = eval ( subs ( φ = 1.570796327 , Y4,2 )) ;

YE4,3 = eval ( subs ( φ = 1.570796327 , Y4,3 )) ;

YE4,4 = eval ( subs ( φ = 1.570796327 , Y4,4 )) ;

YE4,5 = eval ( subs ( φ = 1.570796327 , Y4,5 )) ;

YE4,6 = eval ( subs ( φ = 1.570796327 , Y4,6 )) ;

YE5,1 = eval ( subs ( φ = 1.570796327 , Y5,1 )) ;

YE5,2 = eval ( subs ( φ = 1.570796327 , Y5,2 )) ;

YE5,3 = eval ( subs ( φ = 1.570796327 , Y5,3 )) ;

YE5,4 = eval ( subs ( φ = 1.570796327 , Y5,4 )) ;

YE5,5 = eval ( subs ( φ = 1.570796327 , Y5,5 )) ;

YE5,6 = eval ( subs ( φ = 1.570796327 , Y5,6 )) ;

YE6,1 = eval ( subs ( φ = 1.570796327 , Y6,1 )) ;

YE6,2 = eval ( subs ( φ = 1.570796327 , Y6,2 )) ;

YE6,3 = eval ( subs ( φ = 1.570796327 , Y6,3 )) ;

YE6,4 = eval ( subs ( φ = 1.570796327 , Y6,4 )) ;

YE6,5 = eval ( subs ( φ = 1.570796327 , Y6,5 )) ;

YE6,6 = eval ( subs ( φ = 1.570796327 , Y6,6 )) ;

```

$$YE_{1,1} = 1$$

$$YE_{1,2} = 1 \cdot \rho_{c0}$$

$$YE_{1,3} = 1.000000000 \rho_{c0}$$

$$YE_{1,4} = \rho_{c0}^2$$

$$\left(\frac{10.66666667}{G\pi d^4} - \frac{21.33333334}{E\pi d^4} - \frac{16}{3} \frac{9.424777961G + 4.712388980E}{E\pi d^4 G} + \frac{64}{3} \frac{G+E}{E\pi d^4 G} \right)$$

$$YE_{1,5} = \rho_{c0}^2 \left(-\frac{16}{3} \frac{4.000000001E + 4.000000002G}{G\pi d^4 E} - 5.333333333 \frac{2.G - 1.E}{G\pi d^4 E} \right)$$

$$YE_{1,6} = -6.981317008 \frac{\rho_{c0}}{G\pi d^2} + \frac{8}{3} \frac{\rho_{c0}^3 (-.8495559198E + 12.00000000G)}{G\pi d^4 E}$$

$$YE_{2,1} = 0$$

$$YE_{2,2} = - .205103807 \cdot 10^{-9}$$

$$YE_{2,3} = 1$$

$$YE_{2,4} = \rho_{c0} \left(-.3281654091 \cdot 10^{-8} \frac{-3.141592654G - 1.570796327E}{G\pi d^4 E} + 16 \frac{-2G+E}{G\pi d^4 E} \right)$$

$$YE_{2,5} = \rho_{c0} \left(16 \frac{-3.141592654G - 1.570796327E}{G\pi d^4 E} - .3281654091 \cdot 10^{-8} \frac{-2G+E}{G\pi d^4 E} \right)$$

$$YE_{2,6} = - .2051033807 \cdot 10^{-9}$$

$$\rho_{c0}^2 \left(.1093884697 \cdot 10^{-8} \frac{6.000000001E - .1230620284 \cdot 10^{-8} G}{G\pi d^4 E} + 16 \frac{E+2G}{G\pi d^4 E} \right)$$

$$YE_{3,1} = 0$$

$$YE_{3,2} = - 1$$

$$YE_{3,3} = - .2051033807 \cdot 10^{-9}$$

$$YE_{3,4} = \rho_{c0} \left(-16 \frac{-3.141592654G - 1.570796327E}{G\pi d^4 E} - .3281654091 \cdot 10^{-8} \frac{-2G+E}{G\pi d^4 E} \right)$$

$$YE_{3,5} = \rho_{c0} \left(- .3281654091.10^{-8} \frac{-3.141592654G - 1.570796327E}{G\pi d^4 E} - 16 \frac{-2G + E}{G\pi d^4 E} \right)$$

$$YE_{3,6} = \rho^2_{c0} \left(-.1093884697.10^{-8} \frac{6.000000001E - .1230620284.10^{-8}G}{G\pi d^4 E} - 16 \frac{E + 2G}{G\pi d^4 E} \right. \\ \left. + .1093884697.10^{-8} \frac{1.287611020E - 9.424777963G}{G\pi d^4 E} \right)$$

$$YE_{4,1} = 0$$

$$YE_{4,2} = 0$$

$$YE_{4,3} = 0$$

$$YE_{4,4} = - .2051033807.10^{-9}$$

$$YE_{4,5} = - 1.$$

$$YE_{4,6} = .999999998 \rho_{c0}$$

$$YE_{5,1} = 0$$

$$YE_{5,2} = 0$$

$$YE_{5,3} = 0$$

$$YE_{5,4} = 1.$$

$$YE_{5,5} = - .2051033807.10^{-9}$$

$$YE_{5,6} = 1.000000000 \rho_{c0}$$

$$YE_{6,1} = 0$$

$$YE_{6,2} = 0$$

$$YE_{6,3} = 0$$

$$YE_{6,4} = 0$$

$$YE_{6,5} = 0$$

$$YE_{6,6} = 1$$

`YI = linalg inverse(matrix (Y))`

$$\begin{aligned}
 YI = & \left[1, \frac{\sin(\varphi)\rho_{c_0}}{\%1}, \frac{(\sin(\varphi)^2 + \cos(\varphi)^2 - \cos(\varphi))\rho_{c_0}}{\%1}, -\frac{16}{3}(-3\cos(\varphi)^4 E + 6\cos(\varphi)^4 G \right. \\
 & - 6\cos(\varphi)^3 G + 3\cos(\varphi)^3 E - 4E\sin(\varphi)^2 \cos(\varphi)^2 + 8G\sin(\varphi)^2 \cos(\varphi)^2 - 6G\cos(\varphi)^2 \\
 & - 3E\cos(\varphi)^2 + 3E\sin(\varphi)^2 \cos(\varphi) + 6G\cos(\varphi) - 6G\sin(\varphi)^2 \cos(\varphi) + 3E\cos(\varphi) \\
 & + 2\sin(\varphi)^4 G - \sin(\varphi)^4 E + 6G\varphi\sin(\varphi) + 3E\varphi\sin(\varphi) - 2\sin(\varphi)^2 G - 5E\sin(\varphi)^2) \rho^2 c_0 / \\
 & (\%1G\pi d^4 E), \frac{16}{3}(-4\sin(\varphi)\cos(\varphi)^3 G + 2E\sin(\varphi)\cos(\varphi)^3 - 2E\sin(\varphi)\cos(\varphi) \\
 & + 3E\varphi\cos(\varphi) + 6G\varphi\cos(\varphi) + 2E\sin(\varphi)^3 \cos(\varphi) + 4G\sin(\varphi)\cos(\varphi) - 4G\sin(\varphi)^3 \cos(\varphi) \\
 & - 6G\sin(\varphi) - 3E\sin(\varphi)) \rho^2 c_0 / (\%1G\pi d^4 E), -\frac{8}{9}(-36\rho^2 c_0 G\sin(\varphi)\cos(\varphi)^2 \\
 & - 42\rho^2 c_0 E\sin(\varphi)\cos(\varphi)^2 - 12\rho^2 c_0 E\sin(\varphi)^3 \cos(\varphi)^2 + 18\rho^2 c_0 \cos(\varphi)\sin(\varphi)^2 E\varphi \\
 & + 18\rho^2 c_0 \cos(\varphi)^3 E\varphi + 36\rho^2 c_0 \cos(\varphi)\sin(\varphi)^2 G\varphi + 36\rho^2 c_0 \cos(\varphi)^3 G\varphi - 12\rho^2 c_0 \sin(\varphi) \\
 & \cos(\varphi)^4 E - 36\rho^2 c_0 \sin(\varphi)^3 G - 18\sin(\varphi)^3 \rho^2 c_0 E - 27\rho^2 c_0 E\sin(\varphi)^3 \cos(\varphi) \\
 & - 9\rho^2 c_0 \sin(\varphi)\cos(\varphi)^3 E + 36\rho^2 c_0 E\varphi\cos(\varphi)^2 + 60\rho^2 c_0 G\cos(\varphi)\sin(\varphi)^3 \\
 & + 24\rho^2 c_0 \sin(\varphi)\cos(\varphi)^3 G + 5\cos(\varphi)^2 \varphi d^2 E + 18\rho^2 c_0 E\cos(\varphi)^3 \sin(\varphi)^3 - 48\rho^2 c_0 G\sin(\varphi)^3 \\
 & \cos(\varphi)^3 - 24\rho^2 c_0 \sin(\varphi)\cos(\varphi)^5 G + 9\rho^2 c_0 \cos(\varphi)^5 \sin(\varphi)E + 9\rho^2 c_0 \cos(\varphi)\sin(\varphi)^5 E \\
 & - 24\rho^2 c_0 \sin(\varphi)^5 \cos(\varphi)G + 5\sin(\varphi)^2 E\varphi d^2 + 18\rho^2 c_0 \sin(\varphi)^2 E\varphi - 36\rho^2 c_0 \sin(\varphi)^2 G\varphi) \rho_{c_0} / \\
 & (\%1G\pi d^4 E) \right]
 \end{aligned}$$

$$\begin{aligned}
 & \left[0, \frac{\cos(\varphi)}{\%1}, \frac{\sin(\varphi)}{\%1}, -16 \frac{(2G\varphi\cos(\varphi) + E\varphi\cos(\varphi) + 2G\sin(\varphi) - E\sin(\varphi))\rho_{c_0}}{\%1G\pi d^4 E}, \right. \\
 & \left. -16(2\cos(\varphi)^3 G - \cos(\varphi)^3 E + 2G\sin(\varphi)^2 \cos(\varphi) - E\sin(\varphi)^2 \cos(\varphi) - 2G\cos(\varphi) \right. \\
 & \left. - 6G\sin(\varphi) - 3E\sin(\varphi)) \rho^2 c_0 / (\%1G\pi d^4 E), -\frac{8}{9}(-36\rho^2 c_0 G\sin(\varphi)\cos(\varphi)^2 \\
 & - 42\rho^2 c_0 E\sin(\varphi)\cos(\varphi)^2 - 12\rho^2 c_0 E\sin(\varphi)^3 \cos(\varphi)^2 + 18\rho^2 c_0 \cos(\varphi)\sin(\varphi)^2 E\varphi \\
 & + 18\rho^2 c_0 \cos(\varphi)^3 E\varphi + 36\rho^2 c_0 \cos(\varphi)\sin(\varphi)^2 G\varphi + 36\rho^2 c_0 \cos(\varphi)^3 G\varphi - 12\rho^2 c_0 \sin(\varphi) \\
 & \cos(\varphi)^4 E - 36\rho^2 c_0 \sin(\varphi)^3 G - 18\sin(\varphi)^3 \rho^2 c_0 E - 27\rho^2 c_0 E\sin(\varphi)^3 \cos(\varphi) \\
 & - 9\rho^2 c_0 \sin(\varphi)\cos(\varphi)^3 E + 36\rho^2 c_0 E\varphi\cos(\varphi)^2 + 60\rho^2 c_0 G\cos(\varphi)\sin(\varphi)^3 \\
 & + 24\rho^2 c_0 \sin(\varphi)\cos(\varphi)^3 G + 5\cos(\varphi)^2 \varphi d^2 E + 18\rho^2 c_0 E\cos(\varphi)^3 \sin(\varphi)^3 - 48\rho^2 c_0 G\sin(\varphi)^3 \\
 & \cos(\varphi)^3 - 24\rho^2 c_0 \sin(\varphi)\cos(\varphi)^5 G + 9\rho^2 c_0 \cos(\varphi)^5 \sin(\varphi)E + 9\rho^2 c_0 \cos(\varphi)\sin(\varphi)^5 E \\
 & - 24\rho^2 c_0 \sin(\varphi)^5 \cos(\varphi)G + 5\sin(\varphi)^2 E\varphi d^2 + 18\rho^2 c_0 \sin(\varphi)^2 E\varphi - 36\rho^2 c_0 \sin(\varphi)^2 G\varphi) \rho_{c_0} / \\
 & (\%1G\pi d^4 E) \right]
 \end{aligned}$$

$$\begin{aligned}
& + ECos(\varphi) + E\varphi Sin(\varphi) + 2G\varphi Sin(\varphi))\rho_{c_0} / (\%1G\pi d^4E), \frac{16}{3}(6Cos(\varphi)^5G - Cos(\varphi)^5E \\
& - 6Cos(\varphi)^3G + 7Cos(\varphi)^3E - 4ESin(\varphi)^2Cos(\varphi)^3 + 12GSin(\varphi)^2Cos(\varphi)^3 - 6ECos(\varphi)^2 \\
& + 3ESin(\varphi)^2Cos(\varphi)^2 - 6GSin(\varphi)^2Cos(\varphi)^2 + 6GSin(\varphi)Cos(\varphi)^2G\varphi \\
& + 3Sin(\varphi)Cos(\varphi)^2E\varphi - 6Cos(\varphi)^2Sin(\varphi)^4G + 3Cos(\varphi)Sin(\varphi)E\varphi - 6GSin(\varphi)^2Cos(\varphi) \\
& - 3Sin(\varphi)^4Cos(\varphi)E + 6Cos(\varphi)Sin(\varphi)G\varphi + 3ECos(\varphi)Sin(\varphi)^2 - 6Sin(\varphi)^2 \\
& + 6Sin(\varphi)^3G\varphi + 3Sin(\varphi)^3E\varphi)\rho_{c_0}^2 / (\%1G\pi d^4E) \\
& \left[0, - \frac{Sin(\varphi)}{\%1}, \frac{Cos(\varphi)}{\%1}, 16(ESin(\varphi)^2Cos(\varphi) + E\varphi Sin(\varphi) - 2GSin(\varphi)^2Cos(\varphi) \right. \\
& + 2G\varphi Sin(\varphi)G - 2Cos(\varphi)^3G + Cos(\varphi)^3E + 2GCos(\varphi) - ECos(\varphi))\rho_{c_0} / (\%1G\pi d^4E), \\
& - 16 \frac{(E\varphi Cos(\varphi) + 2G\varphi Cos(\varphi) - 2GSin(\varphi) + ESin(\varphi))\rho_{c_0}}{\%1G\pi d^4E}, \frac{16}{3}(-2Sin(\varphi)Cos(\varphi)^4E \\
& + 6Cos(\varphi)^3G\varphi + 3Cos(\varphi)^3E\varphi - 2ESin(\varphi)^3Cos(\varphi)^2 - 6GSin(\varphi)Cos(\varphi)^2 \\
& - ESin(\varphi)Cos(\varphi)^2 - 3ESin(\varphi)^3Cos(\varphi) + 3Cos(\varphi)Sin(\varphi)^2E\varphi + 6GSin(\varphi)^3Cos(\varphi) \\
& + 6Cos(\varphi)Sin(\varphi)^2G\varphi + 3ESin(\varphi)^3 - 3Sin(\varphi)^2E\varphi - 6GSin(\varphi)^3 - 6Sin(\varphi)^2G\varphi)\rho_{c_0}^2 \\
& \left. / (\%1G\pi d^4E) \right] \\
& \left[0, 0, 0, \frac{Cos(\varphi)}{\%1}, \frac{Sin(\varphi)}{1}, -\rho_{c_0}Sin(\varphi) \right] \\
& \left[0, 0, 0, -\frac{Sin(\varphi)}{\%1}, \frac{Cos(\varphi)}{1}, -(Cos(\varphi) - 1)\rho_{c_0} \right] \\
& [0, 0, 0, 0, 0, 1]
\end{aligned}$$

$$\%1 = Cos(\varphi)^2 + Sin(\varphi)^2$$

$y_0 = \text{linalg}\text{ linSolve} (YE, b)$

$$y_0 = 4.000000000.10^{-112}$$

$$\begin{aligned}
& \frac{\rho_{c_0} F(555555555.10^{113} d^2 E + 3273239544.10^{114} \rho_{c_0}^2 E - 1453520910.10^{114} \rho_{c_0}^2 G)}{G d^4 E}, \\
& - .400000000.10^{-112} \frac{\rho_{c_0}^2 F(4546479089.10^{114} E + 400000000.10^{114} G)}{G d^4 E}, \\
& .100000000.10^{-84} \frac{\rho_{c_0}^2 F(130929581.10^{87} E + 581408364.10^{86} G)}{G d^4 E}, -.999999998 \rho_{c_0} F, \\
& 1.000000000 \rho_{c_0} F, F]
\end{aligned}$$

$y = \text{linalg_multiply}(\underline{Y}, y_0)$

$$y = [400000000.10^{-112}$$

$$\begin{aligned}
& \frac{\rho_{c_0} F(555555555.10^{113} d^2 E + 3273239544.10^{114} \rho_{c_0}^2 E - 1453520910.10^{114} \rho_{c_0}^2 G)}{G d^4 E}, \\
& + .400000000.10^{-112} \frac{\rho_{c_0}^3 \sin(\phi) F(4546479089.10^{114} E + 400000000.10^{114} G)}{G d^4 E}, \\
& + .100000000.10^{-84} \frac{\rho_{c_0}^3 (-\cos(\phi) + 1) F(130929581.10^{87} E + 581408364.10^{86} G)}{G d^4 E}, \\
& - .999999998 \rho_{c_0}^3 \left(\left(\frac{32}{G \pi d^4} - \frac{64}{E \pi d^4} \right) \left(\frac{1}{6} \cos(\phi)^3 - \frac{1}{2} \cos(\phi) + \frac{1}{3} \right) \right. \\
& - \frac{16}{3} \frac{-2 \cos(\phi)^3 G + 6 G \cos(\phi) + 6 G \phi \sin(\phi) + \cos(\phi)^3 E + 3 E \cos(\phi) + 3 E \phi \sin(\phi)}{E \pi d^4 G} \\
& + \frac{64}{3} \frac{G + E}{E \pi d^4 G} \Big) F + 1.000000000 \rho_{c_0}^3 \\
& \left(- \frac{16}{3} \frac{-E \sin(\phi)^3 - 3 E \sin(\phi) + 3 E \phi \cos(\phi) + 2 G \sin(\phi)^3 - 6 G \sin(\phi) + 6 G \phi \cos(\phi)}{G \pi d^4 E} \right. \\
& + \frac{16}{3} \frac{\sin(\phi)(-2 G \cos(\phi)^2 + 2 G + E \cos(\phi)^2 - E)}{G \pi d^4 E} \Big) F + \left(\frac{40}{9} \frac{\rho_{c_0} \phi}{G \pi d^2} + \frac{8}{3} \rho_{c_0}^3 \right. \\
& \left. (-E \sin(\phi) \cos(\phi)^3 + E \sin(\phi) \cos(\phi) + 12 E \phi - 2 E \sin(\phi)^3 - 16 E \sin(\phi) + 6 E \phi \cos(\phi) \right)
\end{aligned}$$

$$\begin{aligned}
& + 4G \sin(\phi)^3 - 16G \sin(\phi) + 12G\phi \cos(\phi) - E \sin(\phi)^3 \cos(\phi) + 4G \sin(\phi) \cos(\phi)^2 \\
& - 2E \sin(\phi) \cos(\phi)^2 / (G \pi d^4 E) \} F, \\
& - .400000000.10^{-112} \frac{\rho_{c_0}^2 \cos(\phi) F (.4546479089.10^{114} E + .400000000.10^{114} G)}{G d^4 E}, \\
& - .100000000.10^{-84} \frac{\rho_{c_0}^2 \sin(\phi) F (.130929581.10^{87} E + .581408364.10^{86} G)}{G d^4 E} \\
& - .99999998 \rho_{c_0}^2 \left(16 \frac{\cos(\phi)(2G \sin(\phi) \cos(\phi) + 2G\phi - E \sin(\phi) \cos(\phi) + E\phi)}{G \pi d^4 E} \right. \\
& \left. + \sin(\phi) \left(16 \frac{\cos(\phi)^2 (-2G + E)}{G \pi d^4 E} - 16 \frac{-2G + E}{G \pi d^4 E} \right) \right) F + 1.000000000 \rho_{c_0}^2 \\
& \left(- 16 \frac{\sin(\phi)(E \sin(\phi) \cos(\phi) + E\phi - 2G \sin(\phi) \cos(\phi) + 2G\phi)}{G \pi d^4 E} \right. \\
& \left. - \cos(\phi) \left(16 \frac{\cos(\phi)^2 (-2G + E)}{G \pi d^4 E} - 16 \frac{-2G + E}{G \pi d^4 E} \right) \right) F + \rho_{c_0}^2 \cos(\phi) \\
& \left(- \frac{16}{3} \frac{\cos(\phi)(2E \sin(\phi)^2 + 4E + 2E \cos(\phi)^2 + 6G \cos(\phi) - 3E \cos(\phi))}{G \pi d^4 E} + 16 \frac{E + 2G}{G \pi d^4 E} \right) \\
& F, - .400000000.10^{-112} \frac{\rho_{c_0}^2 \sin(\phi) F (.4546479089.10^{114} E + .400000000.10^{114} G)}{G d^4 E} \\
& + .100000000.10^{-84} \frac{\rho_{c_0}^2 \cos(\phi) F (.130929581.10^{87} E + .581408364.10^{86} G)}{G d^4 E} \\
& - .99999998 \rho_{c_0}^2 \left(16 \frac{\sin(\phi)(2G \sin(\phi) \cos(\phi) + 2G\phi - E \sin(\phi) \cos(\phi) + E\phi)}{G \pi d^4 E} \right. \\
& \left. + \cos(\phi) \left(- 16 \frac{\cos(\phi)^2 (-2G + E)}{G \pi d^4 E} + 16 \frac{-2G + E}{G \pi d^4 E} \right) \right) F + 1.000000000 \rho_{c_0}^2 \\
& \left(16 \frac{\cos(\phi)(E \sin(\phi) \cos(\phi) + E\phi - 2G \sin(\phi) \cos(\phi) + 2G\phi)}{G \pi d^4 E} \right.
\end{aligned}$$

$$\begin{aligned}
& + \sin(\phi) \left(-16 \frac{\cos(\phi)^2 (-2G + E)}{G\pi d^4 E} + 16 \frac{-2G + E}{G\pi d^4 E} \right) F + \rho_{c0}^2 (\sin(\phi) \\
& \left(- \frac{16}{3} \frac{\cos(\phi)(2E\sin(\phi)^2 + 4E + 2E\cos(\phi)^2 + 6G\cos(\phi) - 3E\cos(\phi))}{G\pi d^4 E} + 16 \frac{E + 2G}{G\pi d^4 E} \right) \\
& - \frac{16}{3} \cos(\phi)(3E\sin(\phi)\cos(\phi) + 3E\phi - 2E\sin(\phi)\cos(\phi)^2 - 4E\sin(\phi) \\
& - 6G\sin(\phi)\cos(\phi) + 6G\phi - 2E\sin(\phi)^3) / (G\pi d^4 E) F, - .999999998 \cos(\phi) \rho_{c0} F \\
& - 1.000000000 \sin(\phi) \rho_{c0} F + \rho_{c0} \sin(\phi) \cos(\phi) + \sin(\phi)(-\cos(\phi) + 1) F, \\
& - .999999998 \sin(\phi) \rho_{c0} F + 1.000000000 \cos(\phi) \rho_{c0} F \\
& + \sin(\phi)^2 \rho_{c0} - \cos(\phi)(-\cos(\phi) + 1) F, F \]
\end{aligned}$$

```

ye1 = simplify(eval(subs( ρc0 = .2, E = .207.1012, G = .8.1011, F = 500, d = .02, y1)));
simp(eval(subs( ρc0 = .2, E = .207.1012, G = .8.1011, F = 500, d = .02, φ = -1.5707, y1)));
simp(eval(subs( ρc0 = .2, E = .207.1012, G = .8.1011, F = 500, d = .02, φ = -.78539, y1)));
simp(eval(subs( ρc0 = .2, E = .207.1012, G = .8.1011, F = 500, d = .02, φ = -.39269, y1)));
simp(eval(subs( ρc0 = .2, E = .207.1012, G = .8.1011, F = 500, d = .02, φ = 0, y1)));
simp(eval(subs( ρc0 = .2, E = .207.1012, G = .8.1011, F = 500, d = .02, φ = .39269, y1)));
simp(eval(subs( ρc0 = .2, E = .207.1012, G = .8.1011, F = 500, d = .02, φ = .78539, y1)));
simp(eval(subs( ρc0 = .2, E = .207.1012, G = .8.1011, F = 500, d = .02, φ = 1.5707, y1)));

ye1 = .005006944444 + .004432367152 Sin (φ) - .001610634587 Cos (φ)
- .9464413947.10-13 Cos (φ)3 + .002821732563 φ Sin (φ) + .003187519831 φ
.1591549431.10-11
- .0002024968476
.0009950309006

```

```

. 003396309861

. 006890890071

. 01107276133

. 01887862319

ye2 = simplify(eval(subs( pc0=.2, E=.207.1012, G=.8.1011, F=500, d=.02, y2)));
simp(eval(subs( pc0=.2, E=.207.1012, G=.8.1011, F=500, d=.02, φ=-1.5707, y2)));
simp(eval(subs( pc0=.2, E=.207.1012, G=.8.1011, F=500, d=.02, φ=-.78539, y2)));
simp(eval(subs( pc0=.2, E=.207.1012, G=.8.1011, F=500, d=.02, φ=-.39269, y2)));
simp(eval(subs( pc0=.2, E=.207.1012, G=.8.1011, F=500, d=.02, φ=0, y2)));
simp(eval(subs( pc0=.2, E=.207.1012, G=.8.1011, F=500, d=.02, φ=.39269, y2)));
simp(eval(subs( pc0=.2, E=.207.1012, G=.8.1011, F=500, d=.02, φ=.78539, y2)));
simp(eval(subs( pc0=.2, E=.207.1012, G=.8.1011, F=500, d=.02, φ=1.5707, y2)));

ye2 = -. 0239686672 Cos (φ) - . 0221618357 Sin (φ) - . 763943726.10-12 Cos (φ)2 Sin (φ)
- . 01410866282 φ Cos (φ) + . 001806831480 Cos (φ)3 - . 01410866283 φ Sin (φ)
- . 01591549431 Cos (φ)2

. 9549296584.10-11

- . 008596558536

- . 02282461096

. 003396309861

- . 05002397895

- . 05560891154

- . 04432367151

```

```

ye3 = simplify(eval(subs( pc0 = .2, E = .207.1012, G = .8.1011, F = 500, d = .02, y3)));
simp(eval(subs( pc0 = .2, E = .207.1012, G = .8.1011, F = 500, d = .02, φ = -1.5707, y3)));
simp(eval(subs( pc0 = .2, E = .207.1012, G = .8.1011, F = 500, d = .02, φ = - .78539, y3)));
simp(eval(subs( pc0 = .2, E = .207.1012, G = .8.1011, F = 500, d = .02, φ = - .39269, y3)));
simp(eval(subs( pc0 = .2, E = .207.1012, G = .8.1011, F = 500, d = .02, φ = 0, y3)));
simp(eval(subs( pc0 = .2, E = .207.1012, G = .8.1011, F = 500, d = .02, φ = .39269, y3)));
simp(eval(subs( pc0 = .2, E = .207.1012, G = .8.1011, F = 500, d = .02, φ = .78539, y3)));
simp(eval(subs( pc0 = .2, E = .207.1012, G = .8.1011, F = 500, d = .02, φ = 1.5707, y3)));

ye3 = -. 02216183572 Sin (φ) + . 02396866724 cos (φ) + . 100000000.10-12 Cos (φ)3
-.0141086628 φ Sin(φ) + .118092967.10-11 Cos (φ)2 Sin (φ) + .584098641.10-11φ Cos(φ)
- . 3953408785.10-11 Cos (φ) Sin (φ)
- . 3183098861.10-11
. 02478379930
. 02850488660
. 003396309861
. 01154295188
- . 006557769364
- . 04432367147

ye4 = simplify(eval(subs( pc0 = .2, E = .207.1012, G = .8.1011, F = 500, d = .02, y4)));
simp(eval(subs( pc0 = .2, E = .207.1012, G = .8.1011, F = 500, d = .02, φ = -1.5707, y4)));
simp(eval(subs( pc0 = .2, E = .207.1012, G = .8.1011, F = 500, d = .02, φ = - .78539, y4)));
simp(eval(subs( pc0 = .2, E = .207.1012, G = .8.1011, F = 500, d = .02, φ = - .39269, y4)));
simp(eval(subs( pc0 = .2, E = .207.1012, G = .8.1011, F = 500, d = .02, φ = 0, y4)));

```

`simp(eval(subs($\rho_{C0} = .2$, E = $.207 \cdot 10^{12}$, G = $.8 \cdot 10^{11}$, F = 500, d = .02, $\phi = .39269$, y4)));`

`simp(eval(subs($\rho_{C0} = .2$, E = $.207 \cdot 10^{12}$, G = $.8 \cdot 10^{11}$, F = 500, d = .02, $\phi = .78539$, y4)));`

`simp(eval(subs($\rho_{C0} = .2$, E = $.207 \cdot 10^{12}$, G = $.8 \cdot 10^{11}$, F = 500, d = .02, $\phi = 1.5707$, y4)));`

`ye4 = - 100.Cos (ϕ)`

$$0 \\ - 70.71067811$$

$$- 92.38795325$$

$$- 100$$

$$- 92.38795325$$

$$- 70.71067811$$

$$0$$

`ye5 = simplify(eval(subs($\rho_{C0} = .2$, E = $.207 \cdot 10^{12}$, G = $.8 \cdot 10^{11}$, F = 500, d = .02, y5)));`

`simp(eval(subs($\rho_{C0} = .2$, E = $.207 \cdot 10^{12}$, G = $.8 \cdot 10^{11}$, F = 500, d = .02, $\phi = -1.5707$, y5)));`

`simp(eval(subs($\rho_{C0} = .2$, E = $.207 \cdot 10^{12}$, G = $.8 \cdot 10^{11}$, F = 500, d = .02, $\phi = -.78539$, y5)));`

`simp(eval(subs($\rho_{C0} = .2$, E = $.207 \cdot 10^{12}$, G = $.8 \cdot 10^{11}$, F = 500, d = .02, $\phi = -.39269$, y5)));`

`simp(eval(subs($\rho_{C0} = .2$, E = $.207 \cdot 10^{12}$, G = $.8 \cdot 10^{11}$, F = 500, d = .02, $\phi = 0$, y5)));`

`simp(eval(subs($\rho_{C0} = .2$, E = $.207 \cdot 10^{12}$, G = $.8 \cdot 10^{11}$, F = 500, d = .02, $\phi = .39269$, y5)));`

`simp(eval(subs($\rho_{C0} = .2$, E = $.207 \cdot 10^{12}$, G = $.8 \cdot 10^{11}$, F = 500, d = .02, $\phi = .78539$, y5)));`

`simp(eval(subs($\rho_{C0} = .2$, E = $.207 \cdot 10^{12}$, G = $.8 \cdot 10^{11}$, F = 500, d = .02, $\phi = 1.5707$, y5)));`

`ye5 = - 100.Sin (ϕ) + 100`

$$200$$

$$170.7106781$$

$$138.2683432$$

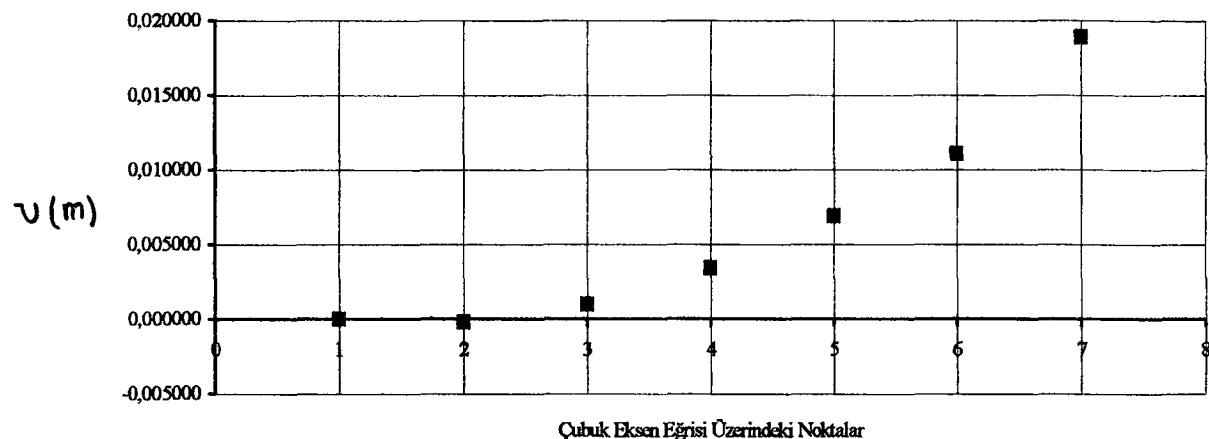
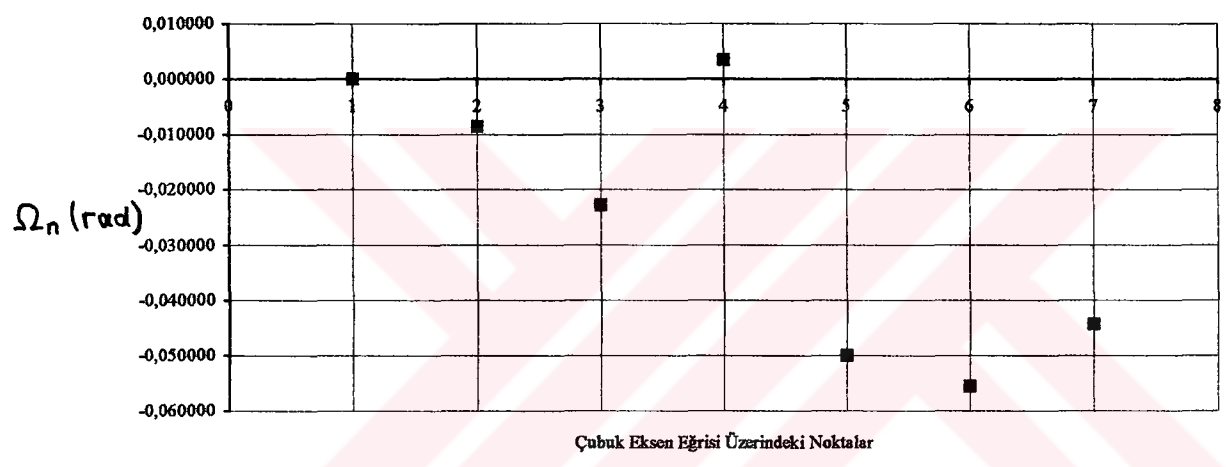
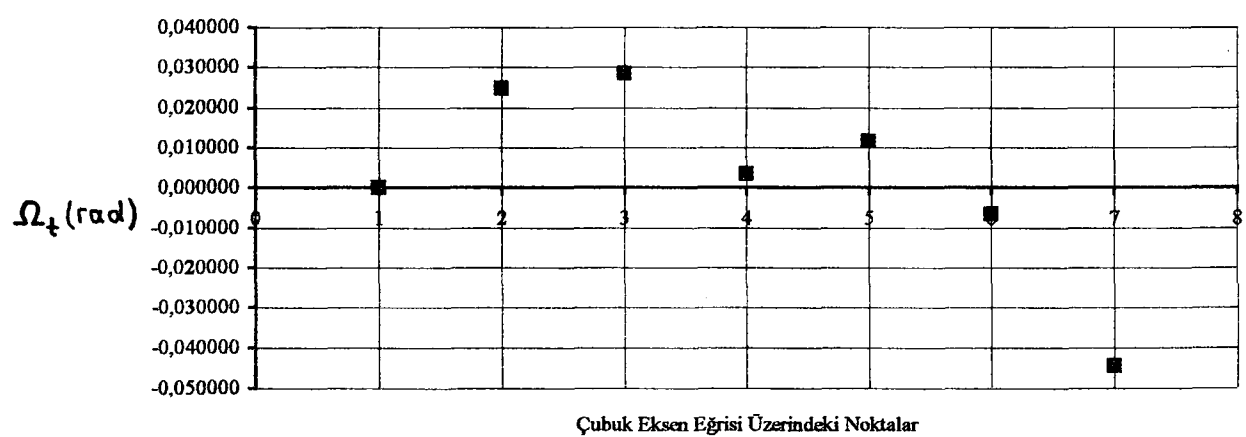
100
61.73165676
29.28932188
. 2051033807.10⁻⁷

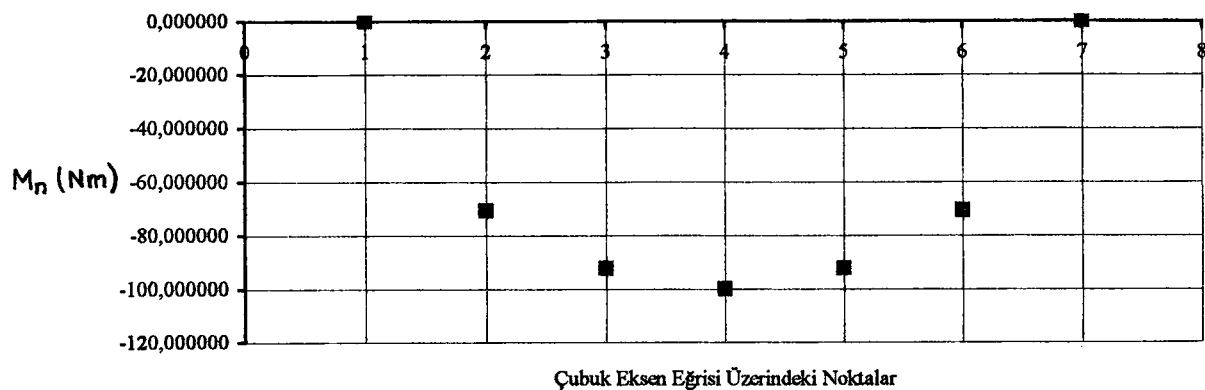
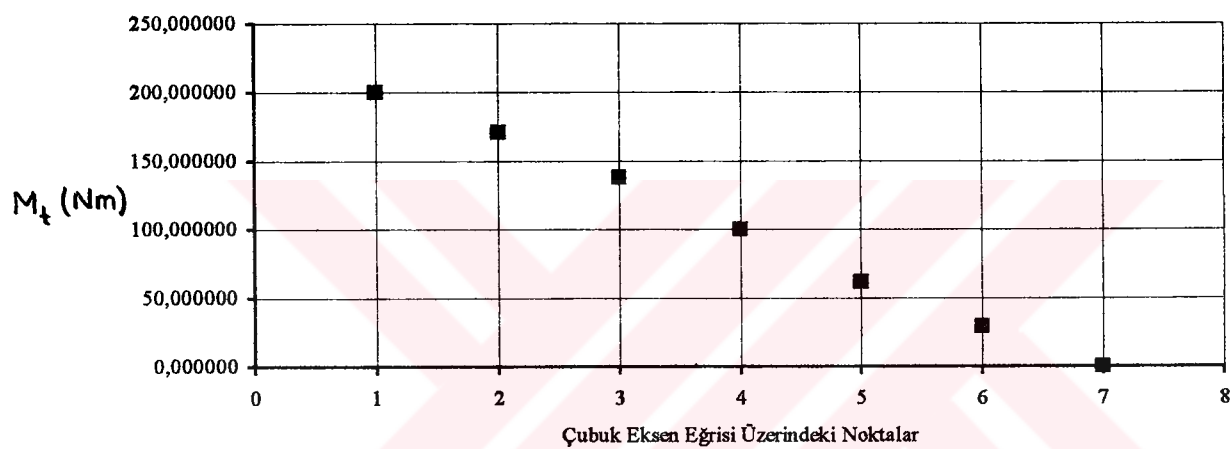
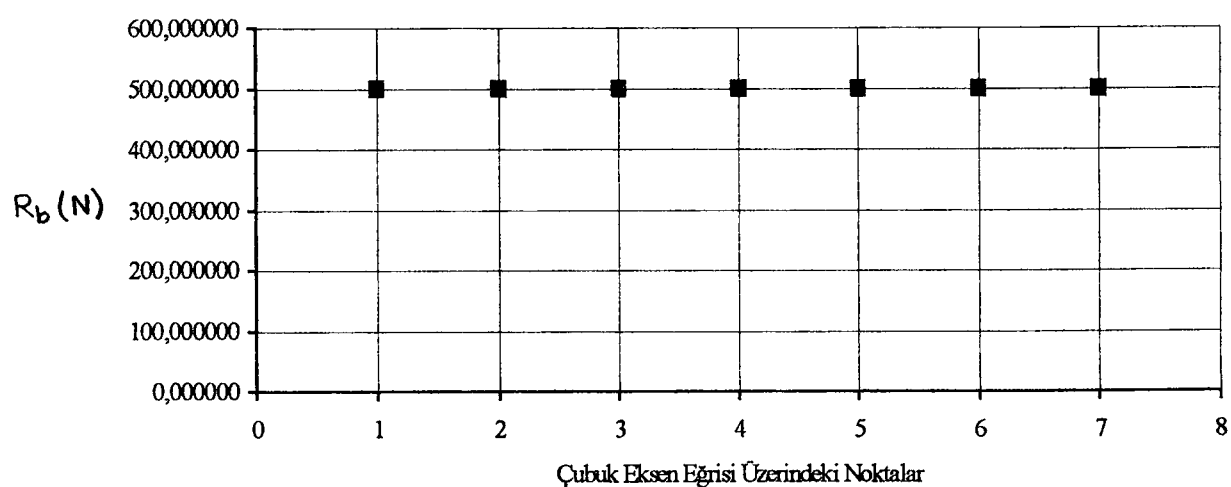
```
ye6 = simplify(eval(subs( pc0 = .2, E = .207.1012, G = .8.1011, F = 500, d = .02, y6)));
simp(eval(subs( pc0 = .2, E = .207.1012, G = .8.1011, F = 500, d = .02, phi = -1.5707, y6)));
simp(eval(subs( pc0 = .2, E = .207.1012, G = .8.1011, F = 500, d = .02, phi = -.78539, y6)));
simp(eval(subs( pc0 = .2, E = .207.1012, G = .8.1011, F = 500, d = .02, phi = -.39269, y6)));
simp(eval(subs( pc0 = .2, E = .207.1012, G = .8.1011, F = 500, d = .02, phi = 0, y6)));
simp(eval(subs( pc0 = .2, E = .207.1012, G = .8.1011, F = 500, d = .02, phi = .39269, y6)));
simp(eval(subs( pc0 = .2, E = .207.1012, G = .8.1011, F = 500, d = .02, phi = .78539, y6)));
simp(eval(subs( pc0 = .2, E = .207.1012, G = .8.1011, F = 500, d = .02, phi = 1.5707, y6)));
```

ye6 = 500
500
500
500
500
500
500

şeklinde elde edilir.

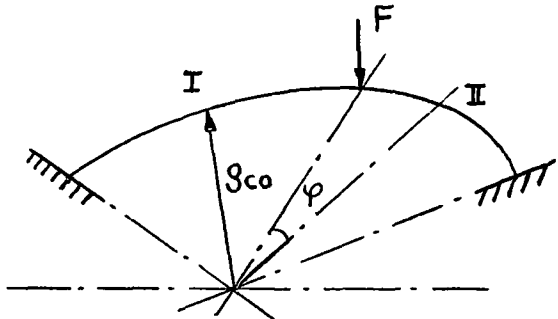
Aşağıdaki grafiklerde; v , Ω_n , Ω_t , M_n , M_t ve R_b ' nin kiriş eksen eğrisi üzerinde bulunan farklı ϕ açılarına haiz noktalardaki (Şekil-4.1) değerleri gösterilmektedir.

Şekil - 4.2. ($v - \phi$) DeğişimiŞekil - 4.3. ($\Omega_n - \phi$) DeğişimiŞekil - 4.4. ($\Omega_t - \phi$) Değişimi

Şekil - 4.5. ($M_n - \phi$) DeğişimiŞekil - 4.6. ($M_t - \phi$) DeğişimiŞekil - 4.7. ($R_b - \phi$) Değişimi

4.2. İki Ucundan Ankastre Mesnetli ve Orta Noktasından Etkiyen F Tekil Yükünü

Taşıyan Dikdörtgen Sabit Kesitli Çember Eksenli Kiriş



Şekil - 4.8. İki Ucundan Ankastre Mesnetli ve Orta Noktasından Etkiyen F Tekil Yükünü Taşıyan Dikdörtgen Sabit Kesitli Çember Eksenli Kiriş

Yaridakı şekilde, yükleme ve mesnetleme durumu gösterilen eğri eksenli kiriş için statik hesap yapılacaktır. Örnek (3.2)'de belirtildiği gibi çember eksenli bir kirişin eğrilik yarıçapı;

$$\rho_0(\varphi) = \rho_{c0} = \text{sabit}$$

olarak ifade edilebilir. Burada ρ_{c0} referans koordinatındaki eğrilik yarıçapıdır ve sabittir. Rijitlikler; (3.28) denkleminde olduğu gibi;

$$D_{nn} = EI_{n0} = \text{sabit} \quad D_{tt} = GI_p = \text{sabit} \quad C_{bb} = \frac{1}{k_b} GA_0 = \text{sabit}$$

alınacaktır. Burada, daha önce tanımlandığı gibi, I_{n0} ve A_0 sırasıyla referans koordinatındaki eylemsizlik momenti ve kiriş kesit alanı değeri, E ve G sırasıyla elastiklik ve kayma modülleri, k_b ise kayma gerilmesinin keside uniform olarak dağılmadığını ifade eden sabittir. Tablo - 2.1' den dikdörtgen kesit için, $k_b = 6/5$ olarak alınabilir.

Eğri eksenli kirişin şekildeki yükleme ve mesnetleme durumu için, sınır şartları ;

$$\begin{aligned} v_1(-\pi/4) &= 0 & \Omega_{n1}(-\pi/4) &= 0 & \Omega_{t1}(-\pi/4) &= 0 \\ v_2(\pi/4) &= 0 & \Omega_{n2}(\pi/4) &= 0 & \Omega_{t2}(\pi/4) &= 0 \end{aligned} \quad (4.5)$$

şeklinde belirlenebilir.

Aşağıda, şekil-4.8' deki yükleme ve mesnetleme durumu için, çember eksenli dikdörtgen sabit eğri eksenli kirişin Mapple programı yardımıyla yapılan çözümü verilmiştir. Burada;

$$\rho_{c0} = 108 \text{ in.}, \quad E = 4240 \text{ psi}, \quad G = 1760 \text{ psi}, \quad F = 11 \text{ kips},$$

$$I_{n0} = 354 \text{ in.}^4, \quad I_p = 24.5 \text{ in.}^4, \quad A_0 = 72 \text{ in.}^2$$

şeklinde seçilmiştir.

$$Y = \text{linalg matrix}(6, 6, [Y_{1,1}, Y_{1,2}, Y_{1,3}, Y_{1,4}, Y_{1,5}, Y_{1,6}, Y_{2,1}, Y_{2,2}, Y_{2,3}, Y_{2,4}, Y_{2,5}, Y_{2,6},$$

$$Y_{3,1}, Y_{3,2}, Y_{3,3}, Y_{3,4}, Y_{3,5}, Y_{3,6}, Y_{4,1}, Y_{4,2}, Y_{4,3}, Y_{4,4}, Y_{4,5}, Y_{4,6}, Y_{5,1}, Y_{5,2}, Y_{5,3}, Y_{5,4}, Y_{5,5},$$

$$Y_{5,6}, Y_{6,1}, Y_{6,2}, Y_{6,3}, Y_{6,4}, Y_{6,5}, Y_{6,6}])$$

$$YI = \text{matrix } 1..6, 1..6; \quad y0 = \text{linalg vector}(6); \quad y = \text{linalg vector}(6); \quad ye = \text{linalg vector}(6)$$

$$YE = \text{linalg matrix}(6, 6, [YE_{1,1}, YE_{1,2}, YE_{1,3}, YE_{1,4}, YE_{1,5}, YE_{1,6}, YE_{2,1}, YE_{2,2}, YE_{2,3},$$

$$YE_{2,4}, YE_{2,5}, YE_{2,6}, YE_{3,1}, YE_{3,2}, YE_{3,3}, YE_{3,4}, YE_{3,5}, YE_{3,6}, YE_{4,1}, YE_{4,2}, YE_{4,3}, YE_{4,4},$$

$$YE_{4,5}, YE_{4,6}, YE_{5,1}, YE_{5,2}, YE_{5,3}, YE_{5,4}, YE_{5,5}, YE_{5,6}, YE_{6,1}, YE_{6,2}, YE_{6,3}, YE_{6,4}, YE_{6,5},$$

$$YE_{6,6}])$$

$$Y_{1,1} = 1$$

$$Y_{1,1} = 1$$

$$Y_{1,2} = -\rho_{c0} \int_0^\phi \cos \psi d\psi$$

$$Y_{1,2} = -\rho_{c0} \sin \phi$$

$$Y_{1,3} = \rho_{c0} \int_0^\phi \sin \psi d\psi$$

$$Y_{1,3} = \rho_{c0} (-\cos \phi + 1)$$

$$Y_{1,4} = \rho_{c0}^2$$

$$\left(\left(\frac{1}{GI_p} - \frac{1}{EI_{n0}} \right) \int_0^\phi \sin \psi \int_0^\psi \sin \xi \cos \xi d\xi d\psi - \int_0^\phi \cos \psi \left(\frac{\int_0^\psi \cos(\xi)^2 d\xi}{EI_{n0}} + \frac{\int_0^\psi \sin(\xi)^2 d\xi}{GI_p} \right) d\psi \right)$$

$$Y_{1,4} = \rho_{c0}^2 \left(\left(\frac{32}{G\pi d^4} - \frac{64}{E\pi d^4} \right) \left(\frac{1}{6} \cos(\phi)^3 - \frac{1}{2} \cos \phi + \frac{1}{3} \right) \right)$$

$$\frac{16 - 2\cos(\varphi)^3 G + 6G\cos\varphi + 6G\varphi\sin\varphi + \cos(\varphi)^3 E + 3E\cos\varphi + 3E\varphi\sin\varphi}{3E\pi d^4 G} + \frac{64(G+E)}{3E\pi d^4 G}$$

$$Y_{1,5} = \rho^2 c_0$$

$$\left(\int_0^\varphi \sin\psi \int_0^\psi \frac{\cos(\xi)^2}{GI_p} + \frac{\sin(\xi)^2}{EI_{n0}} d\xi d\psi + \int_0^\varphi \cos(\varphi) \int_0^\psi \cos(\xi)\sin(\xi) \left(\frac{1}{EI_{n0}} - \frac{1}{GI_p} \right) d\xi d\psi \right)$$

$$Y_{1,5} = \rho^2 c_0$$

$$\left(-\frac{16 - E\sin(\varphi)^3 - 3E\sin(\varphi) + 3E\varphi\cos(\varphi) + 2G\sin(\varphi)^3 - 6G\sin(\varphi) + 6G\varphi\cos(\varphi)}{3G\pi d^4 E} \right.$$

$$\left. + \frac{16 \sin(\varphi)(-2G\cos(\varphi)^2 + 2G + E\cos(\varphi)^2 - E)}{3G\pi d^4 E} \right)$$

$$Y_{1,6} = \frac{\rho c_0 k_b \int_0^\varphi l d\psi}{GA_0} - \rho^3 c_0$$

$$\begin{aligned} & \int_0^\varphi \cos(\psi) \int_0^\psi \left(\frac{\cos(\xi)^2}{EI_{n0}} + \frac{\sin(\xi)^2}{GI_p} \right) \int_0^\xi \cos(\ell) d\ell + \cos(\xi)\sin(\xi) \left(\frac{1}{EI_n} - \frac{1}{GI_p} \right) \int_0^\xi \sin(\ell) d\ell d\xi \\ & + \sin(\varphi) \int_0^\psi \left(\frac{\sin(\xi)^2}{EI_{n0}} + \frac{\cos(\xi)^2}{GI_p} \right) \int_0^\xi \sin(\ell) d\ell + \cos(\xi)\sin(\xi) \left(\frac{1}{EI_n} - \frac{1}{GI_p} \right) \int_0^\xi \cos(\ell) d\ell d\xi d\psi \end{aligned}$$

$$\begin{aligned} Y_{1,6} = & \frac{40}{9} \frac{\rho c_0 \varphi}{G\pi d^2} + \frac{8}{3} \rho^3 c_0 \left[-E\sin(\varphi)\cos(\varphi)^3 + E\sin(\varphi)\cos(\varphi) + 12E\varphi - 2E\sin(\varphi)^3 \right. \\ & - 16E\sin(\varphi) + 6E\varphi\cos(\varphi) + 4G\sin(\varphi)^3 - 16G\sin(\varphi) + 12G\varphi\cos(\varphi) - E\sin(\varphi)^3\cos(\varphi) \\ & \left. + 4G\sin(\varphi)\cos(\varphi)^2 - 2E\sin(\varphi)\cos(\varphi)^2 \right] / (G\pi d^4 E) \end{aligned}$$

$$Y_{2,1} = 0 ; \quad Y_{2,2} = \cos(\varphi) ; \quad Y_{2,3} = -\sin(\varphi)$$

$$Y_{2,1} = 0 \quad Y_{2,2} = \cos(\varphi) \quad Y_{2,3} = -\sin(\varphi)$$

$$Y_{2,4} = \rho c_0 \left(\cos\varphi \int_0^\varphi \frac{\cos(\psi)^2}{EI_{n0}} + \frac{\sin(\psi)^2}{GI_p} d\psi + \sin(\varphi) \int_0^\varphi \cos(\psi)\sin(\psi) \left(\frac{1}{EI_{n0}} - \frac{1}{GI_p} \right) d\psi \right)$$

$$\begin{aligned}
Y_{2,4} &= \rho c_0 \left(16 \frac{\cos(\varphi)(2G\sin(\varphi)\cos(\varphi) + 2G\varphi - E\sin(\varphi)\cos(\varphi) + E\varphi)}{G\pi d^4 E} \right. \\
&\quad \left. + \sin(\varphi) \left(16 \frac{\cos(\varphi)^2(-2G+E)}{G\pi d^4 E} - 16 \frac{-2G+E}{G\pi d^4 E} \right) \right) \\
Y_{2,5} &= \rho c_0 \left(-\sin(\varphi) \int_0^\psi \frac{\cos(\psi)^2}{GI_p} + \frac{\sin(\psi)^2}{EI_{n0}} d\psi - \cos(\varphi) \int_0^\psi \cos(\psi)\sin(\psi) \left(\frac{1}{EI_{n0}} - \frac{1}{GI_p} \right) d\psi \right) \\
Y_{2,5} &= \rho c_0 \left(-16 \frac{\sin(\varphi)(E\sin(\varphi)\cos(\varphi) + E\varphi - 2G\sin(\varphi)\cos(\varphi) + 2G\varphi)}{G\pi d^4 E} \right. \\
&\quad \left. - \cos(\varphi) \left(16 \frac{\cos(\varphi)^2(-2G+E)}{G\pi d^4 E} - 16 \frac{-2G+E}{G\pi d^4 E} \right) \right) \\
Y_{2,6} &= \rho^2 c_0 \cos(\varphi) \\
&\quad \int_0^\psi \left(\frac{\cos(\psi)^2}{EI_{n0}} + \frac{\sin(\psi)^2}{GI_p} \right) \int_0^\xi \cos(\xi) d\xi + \cos(\psi)\sin(\psi) \left(\frac{1}{EI_{n0}} - \frac{1}{GI_p} \right) \int_0^\psi \sin(\xi) d\xi d\psi \\
Y_{2,6} &= \rho^2 c_0 \cos(\varphi) \\
&\quad \left(-\frac{16}{3} \frac{\cos(\varphi)(2E\sin(\varphi)^2 + 4E + 2E\cos(\varphi)^2 + 6G\cos(\varphi) - 3E\cos(\varphi))}{G\pi d^4 E} + 16 \frac{E+2G}{G\pi d^4 E} \right) \\
Y_{3,1} &= 0; \quad Y_{3,2} = \sin(\varphi); \quad Y_{3,3} = \cos(\varphi) \\
Y_{3,1} &= 0; \quad Y_{3,2} = \sin(\varphi); \quad Y_{3,3} = \cos(\varphi) \\
Y_{3,4} &= \rho c_0 \left(\sin(\varphi) \int_0^\psi \left(\frac{\cos(\psi)^2}{EI_{n0}} + \frac{\sin(\psi)^2}{GI_p} \right) d\psi + \cos(\varphi) \int_0^\psi \cos(\psi)\sin(\psi) \left(\frac{1}{GI_p} - \frac{1}{EI_{n0}} \right) d\psi \right) \\
Y_{3,4} &= \rho c_0 \left(16 \frac{\sin(\varphi)(2G\sin(\varphi)\cos(\varphi) + 2G\varphi - E\sin(\varphi)\cos(\varphi) + E\varphi)}{G\pi d^4 E} \right. \\
&\quad \left. + \cos(\varphi) \left(-16 \frac{\cos(\varphi)^2(-2G+E)}{G\pi d^4 E} + 16 \frac{-2G+E}{G\pi d^4 E} \right) \right)
\end{aligned}$$

$$Y_{3,5} = \rho_{c0} \left(\cos(\phi) \int_0^{\psi} \frac{\cos(\psi)^2}{GI_p} + \frac{\sin(\psi)^2}{EI_{n0}} d\psi + \sin(\phi) \int_0^{\psi} \cos(\psi) \sin(\psi) \left(\frac{1}{GI_p} - \frac{1}{EI_{n0}} \right) d\psi \right)$$

$$Y_{3,5} = \rho_{c0} \left(16 \frac{\cos(\phi)(E \sin(\phi) \cos(\phi) + E\phi - 2G \sin(\phi) \cos(\phi) + 2G\phi)}{G\pi d^4 E} \right.$$

$$\left. + \sin(\phi) \left(-16 \frac{\cos(\phi)^2 (-2G + E)}{G\pi d^4 E} + 16 \frac{-2G + E}{G\pi d^4 E} \right) \right)$$

$$Y_{3,6} = \rho^2 c_0$$

$$\begin{aligned} & \left(\sin(\phi) \int_0^{\psi} \left(\frac{\cos(\psi)^2}{EI_{n0}} + \frac{\sin(\psi)^2}{GI_p} \right) \int_0^{\xi} \cos(\xi) d\xi + \cos(\psi) \sin(\psi) \left(\frac{1}{EI_{n0}} - \frac{1}{GI_p} \right) \int_0^{\psi} \sin(\xi) d\xi d\psi \right. \\ & \left. - \cos(\phi) \int_0^{\psi} \left(\frac{\cos(\psi)^2}{GI_p} + \frac{\sin(\psi)^2}{EI_{n0}} \right) \int_0^{\xi} \sin(\xi) d\xi + \cos(\psi) \sin(\psi) \left(\frac{1}{EI_{n0}} - \frac{1}{GI_p} \right) \int_0^{\psi} \cos(\xi) d\xi d\psi \right) \end{aligned}$$

$$Y_{3,6} = \rho^2 c_0$$

$$\begin{aligned} & \left(\sin(\phi) \left(-\frac{16}{3} \frac{\cos(\phi)(2E \sin(\phi)^2 + 4E + 2E \cos(\phi)^2 + 6G \cos(\phi) - 3E \cos(\phi))}{G\pi d^4 E} + 16 \frac{E + 2G}{G\pi d^4 E} \right) \right. \\ & \left. - \frac{16}{3} \cos(\phi) [3E \sin(\phi) \cos(\phi) + 3E\phi - 2E \sin(\phi) \cos(\phi)^2 - 4E \sin(\phi) - 6G \sin(\phi) \cos(\phi) \right. \\ & \left. + 6G\phi - 2E \sin(\phi)^3] / (G\pi d^4 E) \right) \end{aligned}$$

$$Y_{4,1} = 0 ; \quad Y_{4,2} = 0 ; \quad Y_{4,3} = 0 ; \quad Y_{4,4} = \cos(\phi) ; \quad Y_{4,5} = -\sin(\phi) ;$$

$$Y_{4,6} = \rho_{c0} \left(\cos(\phi) \int_0^{\psi} \cos(\psi) d\psi + \sin(\phi) \int_0^{\psi} \sin(\psi) d\psi \right)$$

$$Y_{4,1} = 0 ; \quad Y_{4,2} = 0 ; \quad Y_{4,3} = 0 ; \quad Y_{4,4} = \cos(\phi) ; \quad Y_{4,5} = -\sin(\phi) ;$$

$$Y_{4,6} = \rho_{c0} [\sin(\phi) \cos(\phi) + \sin(\phi) (-\cos(\phi) + 1)]$$

$$\begin{aligned} Y_{5,1} &= 0 ; & Y_{5,2} &= 0 ; & Y_{5,3} &= 0 ; & Y_{5,4} &= \sin(\varphi) & Y_{5,5} &= \cos(\varphi) \\ Y_{5,1} &= 0 ; & Y_{5,2} &= 0 ; & Y_{5,3} &= 0 ; & Y_{5,4} &= \sin(\varphi) & Y_{5,5} &= \cos(\varphi) \end{aligned}$$

$$Y_{5,6} = \rho_{C0} \left(\sin(\varphi) \int_0^{\varphi} \cos(\psi) d\psi - \cos(\varphi) \int_0^{\varphi} \sin(\psi) d\psi \right)$$

$$Y_{5,6} = \rho_{C0} [\sin(\varphi)^2 - \cos(\varphi)(-\cos(\varphi) + 1)]$$

$$\begin{aligned} Y_{6,1} &= 0 ; & Y_{6,2} &= 0 ; & Y_{6,3} &= 0 ; & Y_{6,4} &= 0 & Y_{6,5} &= 0 & Y_{6,6} &= 1 \\ Y_{6,1} &= 0 ; & Y_{6,2} &= 0 ; & Y_{6,3} &= 0 ; & Y_{6,4} &= 0 & Y_{6,5} &= 0 & Y_{6,6} &= 1 \end{aligned}$$

$YE_{1,1} = eval(subs(\varphi = - .7853981635, Y_{1,1})) ;$

$YE_{1,2} = eval(subs(\varphi = - .7853981635, Y_{1,2})) ;$

$YE_{1,3} = eval(subs(\varphi = - .7853981635, Y_{1,3})) ;$

$YE_{1,4} = eval(subs(\varphi = - .7853981635, Y_{1,4})) ;$

$YE_{1,5} = eval(subs(\varphi = - .7853981635, Y_{1,5})) ;$

$YE_{1,6} = eval(subs(\varphi = - .7853981635, Y_{1,6})) ;$

$YE_{2,1} = eval(subs(\varphi = - .7853981635, Y_{2,1})) ;$

$YE_{2,2} = eval(subs(\varphi = - .7853981635, Y_{2,2})) ;$

$YE_{2,3} = eval(subs(\varphi = - .7853981635, Y_{2,3})) ;$

$YE_{2,4} = eval(subs(\varphi = - .7853981635, Y_{2,4})) ;$

$YE_{2,5} = eval(subs(\varphi = - .7853981635, Y_{2,5})) ;$

$YE_{2,6} = eval(subs(\varphi = - .7853981635, Y_{2,6})) ;$

$YE_{3,1} = eval(subs(\varphi = - .7853981635, Y_{3,1})) ;$

$YE_{3,2} = eval(subs(\varphi = - .7853981635, Y_{3,2})) ;$

$YE_{3,3} = eval(subs(\varphi = - .7853981635, Y_{3,3})) ;$

```

YE3,4 = eval ( subs ( φ = - .7853981635 , Y3,4 )) ;

YE3,5 = eval ( subs ( φ = - .7853981635 , Y3,5 )) ;

YE3,6 = eval ( subs ( φ = - .7853981635 , Y3,6 )) ;

YE4,1 = eval ( subs ( φ = .7853981635 , Y1,1 )) ;

YE4,2 = eval ( subs ( φ = .7853981635 , Y1,2 )) ;

YE4,3 = eval ( subs ( φ = .7853981635 , Y1,3 )) ;

YE4,4 = eval ( subs ( φ = .7853981635 , Y1,4 )) ;

YE4,5 = eval ( subs ( φ = .7853981635 , Y1,5 )) ;

YE4,6 = eval ( subs ( φ = .7853981635 , Y1,6 )) ;

YE5,1 = eval ( subs ( φ = .7853981635 , Y2,1 )) ;

YE5,2 = eval ( subs ( φ = .7853981635 , Y2,2 )) ;

YE5,3 = eval ( subs ( φ = .7853981635 , Y2,3 )) ;

YE5,4 = eval ( subs ( φ = .7853981635 , Y2,4 )) ;

YE5,5 = eval ( subs ( φ = .7853981635 , Y2,5 )) ;

YE5,6 = eval ( subs ( φ = .7853981635 , Y2,6 )) ;

YE6,1 = eval ( subs ( φ = .7853981635 , Y3,1 )) ;

YE6,2 = eval ( subs ( φ = .7853981635 , Y3,2 )) ;

YE6,3 = eval ( subs ( φ = .7853981635 , Y3,3 )) ;

YE6,4 = eval ( subs ( φ = .7853981635 , Y3,4 )) ;

YE6,5 = eval ( subs ( φ = .7853981635 , Y3,5 )) ;

YE6,6 = eval ( subs ( φ = .7853981635 , Y3,6 )) ;

```

$$YE_{1,1} = 1$$

$$YE_{1,2} = .7071067813 \rho_{c0}$$

$$YE_{1,3} = .2928932189 \rho_{c0}$$

$$YE_{1,4} = -\frac{1}{2} \frac{\rho^2 c_0 (-.030426071EI_{n0} + .5553603674GI_p)}{EI_{n0} GI_p}$$

$$YE_{1,5} = -\frac{1}{2} \frac{\rho^2 c_0 (-.1517464140EI_{n0} + .1517464140GI_p)}{EI_{n0} GI_p}$$

$$YE_{1,6} = \frac{1}{2} \frac{\rho_{c0} (-1.570796327EI_{n0}I_p - .004836350\rho^2 c_0 A_0 EI_{n0} + .151746414\rho^2 c_0 A_0 GI_p)}{GA_0 EI_{n0} I_p}$$

$$YE_{2,1} = 0$$

$$YE_{2,2} = .7071067811$$

$$YE_{2,3} = .7071067813$$

$$YE_{2,4} = \frac{1}{2} \frac{\rho_{c0} (-1.262467149GI_p + .1517464140EI_{n0})}{EI_{n0} GI_p}$$

$$YE_{2,5} = -.2776801838 \frac{\rho_{c0} (EI_{n0} + GI_p)}{EI_{n0} GI_p}$$

$$YE_{2,6} = -.3535533906 \frac{\rho^2 c_0 (-.0857864379EI_{n0} - .5000000001GI_p)}{EI_{n0} GI_p}$$

$$YE_{3,1} = 0$$

$$YE_{3,2} = -.7071067813$$

$$YE_{3,3} = .7071067811$$

$$YE_{3,4} = .2776801838 \frac{\rho_{c0} (EI_{n0} + GI_p)}{EI_{n0} GI_p}$$

$$YE_{3,5} = \frac{1}{2} \frac{\rho_{c0} (-1.262467149EI_{n0} + .1517464140GI_p)}{EI_{n0} GI_p}$$

$$YE_{3,6} = -\frac{1}{2} \frac{\rho^2 c_0 (1517464140 EI_{n0} + 1517464140 GI_p)}{EI_{n0} GI_p}$$

$$YE_{4,1} = 1$$

$$YE_{4,2} = - .7071067813 \rho c_0$$

$$YE_{4,3} = .2928932189 \rho c_0$$

$$YE_{4,4} = -\frac{1}{2} \frac{\rho^2 c_0 (-.030426071 EI_{n0} + .5553603674 GI_p)}{EI_{n0} GI_p}$$

$$YE_{4,5} = -\frac{1}{2} \frac{\rho^2 c_0 (-1517464140 EI_{n0} - 1517464140 GI_p)}{EI_{n0} GI_p}$$

$$YE_{4,6} = \frac{1}{2} \frac{\rho c_0 (1.570796327 EI_{n0} I_p + .004836350 \rho^2 c_0 A_0 EI_{n0} - 1517464140 \rho^2 c_0 A_0 GI_p)}{G A_0 EI_{n0} I_p}$$

$$YE_{5,1} = 0$$

$$YE_{5,2} = .7071067811$$

$$YE_{5,3} = - .7071067813$$

$$YE_{5,4} = \frac{1}{2} \frac{\rho c_0 (1.262467149 GI_p - 1517464140 EI_{n0})}{EI_{n0} GI_p}$$

$$YE_{5,5} = - .2776801838 \frac{\rho c_0 (EI_{n0} + GI_p)}{EI_{n0} GI_p}$$

$$YE_{5,6} = - .3535533906 \frac{\rho^2 c_0 (-.0857864379 EI_{n0} - .5000000001 GI_p)}{EI_{n0} GI_p}$$

$$YE_{6,1} = 0$$

$$YE_{6,2} = .7071067813$$

$$YE_{6,3} = .7071067811$$

$$YE_{6,4} = .2776801838 \frac{\rho_{c_0}(EI_{n0} + GI_p)}{EI_{n0}GI_p}$$

$$YE_{6,5} = \frac{1}{2} \frac{\rho_{c_0}(1.262467149EI_{n0} - .1517464140GI_p)}{EI_{n0}GI_p}$$

$$YE_{6,6} = -\frac{1}{2} \frac{\rho^2 c_0(-.1517464140EI_{n0} - .1517464140GI_p)}{EI_{n0}GI_p}$$

b = linalg vector(6, [0, 0, 0, - F YE_{4,6}, - F YE_{5,6}, - F YE_{6,6}])

$$b = \left[0, 0, 0, -\frac{1}{2} \frac{F\rho_{c_0}(1.57079632EI_{n0}I_p + .00483635\rho^2 c_0 A_0 EI_{n0} - .151746414\rho^2 c_0 A_0 GI_p)}{GA_0 EI_{n0} I_p}, \right.$$

$$\left. .3535533906 \frac{F\rho^2 c_0(-.0857864379EI_{n0} - .5000000001GI_p)}{EI_{n0}GI_p}, \right.$$

$$\left. \frac{1}{2} \frac{F\rho^2 c_0(-.1517464140EI_{n0} - .1517464140GI_p)}{EI_{n0}GI_p} \right]$$

YI = linalg inverse(matrix (Y))

$$YI = \frac{F\rho^2 c_0(-.0857864379 EI_{n0} - .5000000001 GI_p)}{EI_{n0}GI_p}$$

$$-\frac{1}{2} \frac{(-2EI_{n0}\text{Cos}(\phi)^2 + 2EI_{n0}\text{Cos}(\phi) - 2EI_{n0}\text{Sin}(\phi)^2 + EI_{n0}\phi\text{Sin}(\phi) + GI_p\phi\text{Sin}(\phi))\rho^2 c_0}{%1EI_{n0}GI_p},$$

$$\frac{1}{2} \frac{(-EI_{n0}\text{Sin}(\phi) + EI_{n0}\phi\text{Cos}(\phi) - GI_p\text{Sin}(\phi) + GI_p\phi\text{Cos}(\phi))\rho^2 c_0}{%1EI_{n0}GI_p},$$

$$-\frac{1}{2} (\rho^2 c_0 A_0 \text{Sin}(\phi) EI_{n0} \text{Cos}(\phi)^3 - \rho^2 c_0 A_0 \text{Sin}(\phi) GI_p \text{Cos}(\phi)^3 + 2\rho^2 c_0 A_0 EI_{n0} \phi \text{Cos}(\phi)^2$$

$$+ 2\text{Cos}(\phi)^2 \phi EI_{n0} I_p - 2\rho^2 c_0 A_0 \text{Cos}(\phi)^2 EI_{n0} \text{Sin}(\phi) - \rho^2 c_0 A_0 \text{Cos}(\phi) EI_{n0} \text{Sin}(\phi)$$

$$+ \rho^2 c_0 A_0 EI_{n0} \phi \text{Cos}(\phi) + \rho^2 c_0 A_0 \text{Cos}(\phi) GI_p \text{Sin}(\phi) + \rho^2 c_0 A_0 GI_p \phi \text{Cos}(\phi)$$

$$+ 2\text{Sin}(\phi)^2 EI_{n0} \phi I_p - \rho^2 c_0 A_0 \text{Sin}(\phi)^2 GI_p \phi - \rho^2 c_0 A_0 GI_p \text{Sin}(\phi) + \rho^2 c_0 A_0 \text{Sin}(\phi)^2 EI_{n0} \phi$$

$$- \rho^2 c_0 A_0 EI_{n0} \sin(\phi) \rho_{c0} / (\%1 G A_0 I_{n0} I_p)]$$

$$\left[0, \frac{\cos(\phi)}{\%1}, \frac{\sin(\phi)}{\%1}, -\frac{1}{2} \frac{(GI_p \phi \cos(\phi) + EI_{n0} \phi \cos(\phi) - EI_{n0} \sin(\phi) + GI_p \sin(\phi)) \rho_{c0}}{\%1 EI_{n0} GI_p}, \right.$$

$$-\frac{1}{2} \frac{(EI_{n0} + GI_p) \phi \sin(\phi) \rho_{c0}}{\%1 EI_{n0} GI_p}, \frac{1}{2} (-EI_{n0} \cos(\phi)^4 + GI_p \cos(\phi)^4 + 2EI_{n0} \cos(\phi)^3$$

$$-EI_{n0} \cos(\phi)^2 - GI_p \cos(\phi)^2 + \cos(\phi) EI_{n0} \phi \sin(\phi) + \cos(\phi) GI_p \phi \sin(\phi)$$

$$-2EI_{n0} \sin(\phi)^2 + EI_{n0} \phi \sin(\phi) + GI_p \phi \sin(\phi)) \rho^2 c_0 / (\%1 EI_{n0} GI_p)]$$

$$\left[0, -\frac{\sin(\phi)}{\%1}, \frac{\cos(\phi)}{\%1}, \frac{1}{2} \frac{(EI_{n0} + GI_p) \phi \sin(\phi) \rho_{c0}}{\%1 EI_{n0} GI_p}, \right.$$

$$-\frac{1}{2} \frac{(EI_{n0} \phi \cos(\phi) + GI_p \phi \cos(\phi) + EI_{n0} \sin(\phi) - GI_p \sin(\phi)) \rho_{c0}}{\%1 EI_{n0} GI_p},$$

$$\frac{1}{2} (EI_{n0} \sin(\phi) \cos(\phi)^3 - \sin(\phi) GI_p \cos(\phi)^3 - 2EI_{n0} \sin(\phi) \cos(\phi)^2 + GI_p \phi \cos(\phi)$$

$$+ EI_{n0} \phi \cos(\phi) + \sin(\phi) GI_p \cos(\phi) - EI_{n0} \sin(\phi) \cos(\phi) - GI_p \sin(\phi) - \sin(\phi)^2 \phi EI_{n0}$$

$$- \sin(\phi)^2 \phi GI_p + EI_{n0} \sin(\phi)) \rho^2 c_0 / (\%1 EI_{n0} GI_p)]$$

$$\left[0, 0, 0, \frac{\cos(\phi)}{\%1}, \frac{\sin(\phi)}{\%1}, \frac{\sin(\phi) \rho_{c0}}{\%1} \right]$$

$$\left[0, 0, 0, -\frac{\sin(\phi)}{\%1}, \frac{\cos(\phi)}{\%1}, \frac{(\cos(\phi)^2 - \cos(\phi) + \sin(\phi)^2) \rho_{c0}}{\%1} \right]$$

$$[0, 0, 0, 0, 0, 1]$$

$$\%1 = \cos(\phi)^2 + \sin(\phi)^2$$

$$y_0 = \text{linalg}\text{insolve}(\text{YE}, b)$$

$$y_0 = [-100000000.10^{-19} F \rho_{c0} (1677746759.10^{38} \rho^2 c_0 A_0 E^2 I^2_{n0}$$

$$\begin{aligned}
& + .6682384094 \cdot 10^{38} \rho^2 c_0 A_0 EI_{n0} GI_p + .5968347855 \cdot 10^{37} \rho^2 c_0 A_0 G^2 I^2_p \\
& + .2523873393 \cdot 10^{40} EI_{n0} GI^2_p + .5603779840 \cdot 10^{39} E^2 I^2_{n0} I_p) / (GA_0 EI_{n0} I_p \\
& + .6426990820 \cdot 10^{20} GI_p + .1426990818 \cdot 10^{20} EI_{n0})), 0, .180000000 \cdot 10^{-8} \\
& \frac{F \rho^2 c_0 (.3938557609 \cdot 10^{27} E^2 I^2_{n0} + .4270132495 \cdot 10^{27} EI_{n0} GI_p + .3315748858 \cdot 10^{26} G^2 I^2_p)}{EI_{n0} GI_p (.6426990820 \cdot 10^{20} GI_p + .1426990818 \cdot 10^{20} EI_{n0})}, \\
& - .300000000 \cdot 10^{-9} \frac{F \rho c_0 (.1251617811 \cdot 10^{29} EI_{n0} + .2977507653 \cdot 10^{29} GI_p)}{.6426990820 \cdot 10^{20} GI_p + .1426990818 \cdot 10^{20} EI_{n0}}, 0, \\
& - .500000000 F] \\
v_0 & = \text{simp}(\text{eval}(\text{subs}(\rho_{c0}=108, E=4240, G=1760, F=11, I_{n0}=354, I_p=24.5, A_0=72, y_{01}))) \\
& v_0 = -3.765980700 \\
\Omega_{n0} & = \text{simp}(\text{eval}(\text{subs}(\rho_{c0}=108, E=4240, G=1760, F=11, I_{n0}=354, I_p=24.5, A_0=72, y_{02}))) \\
& \Omega_{n0} = 0 \\
\Omega_{t0} & = \text{simp}(\text{eval}(\text{subs}(\rho_{c0}=108, E=4240, G=1760, F=11, I_{n0}=354, I_p=24.5, A_0=72, y_{03}))) \\
& \Omega_{t0} = .1349759307 \\
M_{n0} & = \text{simp}(\text{eval}(\text{subs}(\rho_{c0}=108, E=4240, G=1760, F=11, I_{n0}=354, I_p=24.5, A_0=72, y_{04}))) \\
& M_{n0} = -295.7027332 \\
M_{t0} & = \text{simp}(\text{eval}(\text{subs}(\rho_{c0}=108, E=4240, G=1760, F=11, I_{n0}=354, I_p=24.5, A_0=72, y_{05}))) \\
& M_{t0} = 0 \\
R_{b0} & = \text{simp}(\text{eval}(\text{subs}(\rho_{c0}=108, E=4240, G=1760, F=11, I_{n0}=354, I_p=24.5, A_0=72, y_{06}))) \\
& R_{b0} = -5.500000000
\end{aligned}$$

$y = \text{linalg}[\text{multiby}](Y, y_0)$

$$\begin{aligned}
y = & [-.1000000000.10^{-19} F \rho_{c0} (.1677746759.10^{38} \rho^2 c0 A_0 E^2 I^2_{n0} \\
& + .6682384094.10^{38} \rho^2 c0 A_0 EI_{n0} GI_p + .5968347855.10^{37} \rho^2 c0 A_0 G^2 I^2_p \\
& + .2523873393.10^{40} EI_{n0} GI^2_p + .560379840.10^{39} E^2 I^2_{n0} I_p) / (G A_0 EI_{n0} I_p \%1) \\
& + .1800000000.10^{-8} \frac{\rho^3 c0 (-\text{Cos}(\phi) + 1) F \%3}{EI_{n0} GI_p \%1} \\
& + .1500000000.10^{-9} \frac{\rho^3 c0 (2EI_{n0} \text{Cos}(\phi) - 2EI_{n0} + GI_p \phi \text{Sin}(\phi) + EI_{n0} \phi \text{Sin}(\phi)) F \%2}{EI_{n0} GI_p \%1} \\
& - .2500000000 \rho_{c0} (2\phi EI_{n0} I_p + 2\rho^2 c0 A_0 EI_{n0} \phi - 3\rho^2 c0 A_0 EI_{n0} \text{Sin}(\phi) \\
& + \rho^2 c0 A_0 EI_{n0} \phi \text{Cos}(\phi) - \rho^2 c0 A_0 GI_p \text{Sin}(\phi) + \rho^2 c0 A_0 GI_p \phi \text{Cos}(\phi)) F / (G A_0 EI_{n0} I_p), \\
& - .1800000000.10^{-8} \frac{\rho^2 c0 \text{Sin}(\phi) F \%3}{EI_{n0} GI_p \%1} \\
& - .1500000000.10^{-9} \frac{\rho^2 c0 (GI_p \phi \text{Cos}(\phi) + EI_{n0} \phi \text{Cos}(\phi) - EI_{n0} \text{Sin}(\phi) + GI_p \text{Sin}(\phi)) F \%2}{EI_{n0} GI_p \%1} \\
& - .2500000000 \frac{\rho^2 c0 \text{Cos}(\phi) (2EI_{n0} \text{Cos}(\phi) - EI_{n0} \text{Cos}^2(\phi) + GI_p \text{Cos}^2(\phi) - EI_{n0} - GI_p) F}{EI_{n0} GI_p}, \\
& .1800000000.10^{-8} \frac{\rho^2 c0 \text{Cos}(\phi) F \%3}{EI_{n0} GI_p \%1} - .1500000000.10^{-9} \frac{\rho^2 c0 \text{Sin}(\phi) \phi (EI_{n0} + GI_p) F \%2}{EI_{n0} GI_p \%1} \\
& + .2500000000 \frac{\rho^2 c0 (-EI_{n0} \text{Sin}(\phi) + EI_{n0} \phi \text{Cos}(\phi) - GI_p \text{Sin}(\phi) + GI_p \phi \text{Cos}(\phi)) F}{EI_{n0} GI_p}, \\
& - .3000000000.10^{-9} \frac{\rho_{c0} \text{Cos}(\phi) F \%2}{\%1} - .5000000000 \rho_{c0} \text{Sin}(\phi) F, \\
& - .3000000000.10^{-9} \frac{\rho_{c0} \text{Sin}(\phi) F \%2}{\%1} - .5000000000 (\rho_{c0} - \rho_{c0} \text{Cos}(\phi)) F, -.5000000000 F]
\end{aligned}$$

$$\%1 = .6426990820.10^{20} GI_p + .1426990818.10^{20} EI_{n0}$$

$$\%2 = 1.1251617811.10^{29} EI_{n0} + .2977507653.10^{29} GI_p$$

$$\%3 = .3938557609.10^{27} E^2 I^2_{n0} + .4270132495.10^{27} EI_{n0} GI_p + .3315748858.10^{26} G^2 I^2_p$$

$$ye_1 = \text{simp}(\text{eval}(\text{subs}(rho_{c0}=108, E=4240, G=1760, F=11, I_{n0}=354, I_p=24.5, A_0=72, y_1)));$$

$$\text{simp}(\text{eval}(\text{subs}(rho_{c0}=108, E=4240, G=1760, F=11, I_{n0}=354, I_p=24.5, A_0=72, phi=0, y_1)))$$

$$ye_1 = -69.14330979 + 65.41046307 \cos(phi) + 41.14288869 \phi \sin(phi) - 160.6822384 \phi$$

$$+ 243.3243213 \sin(phi) - 82.64677041 \phi \cos(phi)$$

$$- 3.765980700$$

$$ye_2 = \text{simp}(\text{eval}(\text{subs}(rho_{c0}=108, E=4240, G=1760, F=11, I_{n0}=354, I_p=24.5, A_0=72, y_2)));$$

$$\text{simp}(\text{eval}(\text{subs}(rho_{c0}=108, E=4240, G=1760, F=11, I_{n0}=354, I_p=24.5, A_0=72, phi=0, y_2)))$$

$$ye_2 = .2246997630 \sin(phi) - .3809526732 \phi \cos(phi) + 1.487755101 \cos^2(phi)$$

$$- .7225072278 \cos^3(phi) - .7652478737 \cos(phi)$$

$$0$$

$$ye_3 = \text{simp}(\text{eval}(\text{subs}(rho_{c0}=108, E=4240, G=1760, F=11, I_{n0}=354, I_p=24.5, A_0=72, y_3)));$$

$$\text{simp}(\text{eval}(\text{subs}(rho_{c0}=108, E=4240, G=1760, F=11, I_{n0}=354, I_p=24.5, A_0=72, phi=0, y_3)))$$

$$ye_3 = .1349759307 \cos(phi) - .3809526732 \phi \sin(phi) - .7652478738 \sin(phi)$$

$$+ .7652478738 \phi \cos(phi)$$

$$.1349759307$$

$$ye_4 = \text{simp}(\text{eval}(\text{subs}(rho_{c0}=108, E=4240, G=1760, F=11, I_{n0}=354, I_p=24.5, A_0=72, y_4)));$$

$$\text{simp}(\text{eval}(\text{subs}(rho_{c0}=108, E=4240, G=1760, F=11, I_{n0}=354, I_p=24.5, A_0=72, phi=0, y_4)))$$

$$ye_4 = -295.7027332 \cos(phi) - 594. \sin(phi)$$

$$- 295.7027332$$

```

ye5 = simp(eval(subs(pc0=108,E=4240,G=1760;F=11,In0=354,Ip=24.5,A0=72, y5)));
simp(eval(subs(pc0=108,E=4240,G=1760;F=11,In0=354,Ip=24.5,A0=72,φ=0, y5)))
ye5 = - 295.7027332 Sin(φ) - 594. + 594. Cos(φ)

```

0

```

ye6 = simp(eval(subs(pc0=108,E=4240,G=1760;F=11,In0=354,Ip=24.5,A0=72, y6)));
simp(eval(subs(pc0=108,E=4240,G=1760;F=11,In0=354,Ip=24.5,A0=72,φ=0, y6)))
ye6 = - 5.500000000

```

- 5.500000000

şeklinde elde edilir.

Aşağıdaki tabloda, şekil 4.8'deki örneğe ait, bu çalışmada elde edilen sonuçlar ile Pantazopoulou'nun çalışmasında elde edilen sonuçlar karşılaştırımlı olarak verilmiştir.

Tablo 4.1. İki ucundan ankastre mesnetli ve orta noktasından etkiyen F tekil yükünü taşıyan dikdörtgen sabit kesitli çember eksenli kirişin orta noktasındaki kesite ait değerler.

| Başlangıç değerleri | Pantazopoulou'nun sonuçları | Bu çalışmada elde edilen sonuçlar |
|---------------------------|-----------------------------|-----------------------------------|
| v ₀ (in.) | - 0.38743 | - 3.765980700 |
| Ω _{n0} (rad) | 0.017574 | 0 |
| Ω _{t0} (rad) | 0.017504 | 0.1349759307 |
| M _{n0} (kip-in.) | - 194.3 | - 295.7027332 |
| M _{t0} (kip-in.) | - | 0 |
| R _b (kips) | - 5.5 | - 5.500000000 |

SONUÇLAR VE ÖNERİLER

Bu çalışmada, eğri eksenli düzlemsel kırısların statik problemi incelenmiş, eğri eksenli düzlemsel kırısları karakterize eden büyüklüklerin matematiksel ifadeleri, kayma deformasyonu ve eksen uzaması etkileri ihmali edilmeden elde edilmeye çalışılmıştır. Konu ile ilişkin literatür araştırması yapılmış, mevcut çalışmalar incelenerek, çözüm sistemiği ve yapılan kabuller araştırılmıştır. Fakat incelenen çalışmaların çoğunun yaklaşık yöntemler kullandığı görülmüştür. Ayrıca, bu çalışmaların birçoğunda kayma deformasyonu ve eksen uzaması gibi etkilerin ihmali edildiği belirlenmiştir.

Öte yandan, literatürde mevcut çalışmaların çoğu kayma deformasyonu ve eksen uzaması gibi etkileri ihmali etmese bile, konuya düzlemde incelemiştir.

Bilgisayarların gelişmesiyle, çalışmalarında, sonlu elemanlar gibi çeşitli sayısal yöntemler ağırlık kazanmaya başlamıştır. Özellikle birçok çalışma, yapısal analiz paket programlarını kullanmışlardır. Bu paket programlar, genellikle doğrusal eksenli çubuk eleman kullanmaktadır. Dolayısıyla sonuçlarda, yöntemin yaklaşık olmasından kaynaklanan hatanın yanı sıra, kullanılan elemandan kaynaklanan hatanın da bulunacağı açıklıdır.

Bu çalışmada ise, diferansiyel denklem takımı, kayma deformasyonu ve eksen uzaması etkileri gözönüne alınarak verilmiştir. Diferansiyel denklem takımının kesin çözümü, başlangıç değerleri yöntemiyle elde edilmiştir. Böylece, birçok çalışmada ancak yaklaşık hesabıabilen eğri eksenli düzlemsel kırısların, düzlem dışı statik probleminin kesin hesabı yapılmıştır.

Eğri eksenli kırıslara ait temel diferansiyel denklem takımı, en genel durum için verilmiştir. Bu denklem takımı, düzlemsel kırış durumu için düzenlenmiş ve başlangıç değerleri yöntemiyle çözüm elde edilmiştir.

Düzlemsel eğri eksenli kırısların statik probleminin çözümünde, eksen eğri tipi bilinen dairesel sabit kesitli bir düzlemsel kırışın, herhangi bir noktasından ve herhangi bir doğrultuda tekil kuvvetle yüklenmesi durumu için çözüm elde edilmiştir. Düzlemsel eğri eksenli kırısların statik problemini karakterize eden büyüklükleri belirlerken ortaya çıkan denklem ve bünyesindeki integrallerin karmaşıklığı, bunların çözümünde bilgisayar kullanımı gereğini ortaya koymuştur. Bu amaçla, diferansiyel denklem takımları bünyesinde yer alan bütün integraller Mathematica Programı yardımıyla çözülmüştür. Elde edilen integral çözümleri analitik olarak birleştirilerek genel çözüme ulaşılmıştır.

Son bölümde; konunun daha iyi irdelenebilmesi amacıyla, ankastre-serbest mesnetli, serbest ucundan etkiyen F tekil yükünü taşıyan, sabit kesitli çember eksenli kırış ve

iki ucundan ankastre mesnetli, orta noktasından etkiyen F tekil yükünü taşıyan, dikdörtgen sabit kesitli çember eksenli kirişin, Mapple programı yardımıyla yapılan çözümüne yer verilmiştir.

İlk örnekte, problemin çözümünde kullanılan büyüklükler tamamen keyfi seçilmiştir. Sonuçlar ϕ yay açılığına bağlı olarak elde edilmiş, dolayısıyla herhangi bir büyülüğün kiriş eksen eğrisi üzerinde herhangi bir noktadaki değerinin belirlenebilmesine olanak sağlanmıştır. Buna bağlı olarak v , Ω_n , Ω_t , M_n , M_t ve R_b 'nin kiriş eksen eğrisi üzerinde, keyfi olarak belirlenen, farklı yay açılığına sahip yedi noktada değerleri hesaplanarak grafik üzerinde gösterilmiştir.

Grafikler incelendiğinde, çökmenin (v); ankastre mesnette (1 noktası) sıfır olmak üzere, kiriş serbest ucuna doğru arttığı görülmektedir. R_b ; tüm noktalarda 500 N olacak şekilde sabit kalmıştır. M_t ; ankastre ucta max. ve serbest ucta sıfır olacak şekilde hemen hemen lineer bir değişim göstermiştir. M_n ; ankastre ve serbest ucta sıfır değerini almış, max. değeri çubuk orta noktasında elde edilmiştir. Ω_n 'in ankastre ucta başlangıç değeri sıfırdır. Kiriş orta noktasında pozitif değerde olmasına rağmen diğer noktalarda negatif değer elde edilmiştir. Ω_t ise, 6 ve 7 noktalarında negatif, diğer noktalarda pozitif değerdedir.

İkinci örnek ise, Pantazopoulou'nun [8] makalesinden alınmıştır. Burada, kiriş kesiti dikdörtgen olup, kiriş; orta noktasındaki süreksizlikten dolayı iki bölgelidir. Örnekle ilgili büyüklükler makaledeki gibi seçilmiştir. Bu çalışmada elde edilen sonuçlarla, makaledeki sonuçları karşılaştırıp değerlendirebilmek amacıyla hesaplarda kiriş kesiti makalede olduğu gibi, yani dikdörtgen olarak alınmıştır. Örnekle ilgili karşılaştırmalı sonuçlar Tablo-4.1.'de verilmektedir. Sonuçlar irdelendiğinde, v , Ω_n , Ω_t ve M_n değerlerinde farklılıklar görülmektedir. Herşeyden önce, kiriş orta noktasında, yani kuvvetin etkidiği kesitte normal eksen etrafında bir dönme olması mümkün değildir. Bu nedenle $\Omega_n = 0$ olmalıdır. Ayrıca, bu çalışmada elde edilen v değeri ve Ω_t değeri, makalede elde edilen değerin yaklaşık 10 katı kadardır.

Burada önemli olan, kiriş kesitinin dikdörtgen olmasıdır. Bu çalışmada bütün hesaplar dairesel kesite göre yapılmıştır. Fakat, literatürdeki bir örneği çözmek ve sonuçları karşılaştırabilmek amacıyla, bu örnek çözülmüştür. Bahsedilen makalede, dikdörtgen kesit kullanıldığından ve kesit çarpılması dikkate alınmadığından sonuçlarda farklılıklar ortaya çıkmıştır. Bilindiği gibi, böyle bir etki altında kesit distorsiyona uğrar. Şekil değişiminden önce kiriş eksenine dik olan kesit, şekil değişiminden sonra, kiriş eksenine artık dik kalmayacaktır.

KAYNAKLAR

- [1] LOVE, A.E.H. A Treatise on the Mathematical Theory of Elasticity, Dover Publication, Newyork, 1994
- [2] NAGANARAYANA, B. P., PRATHAP, G. Consistency Aspects of out-of-plane Bending, Torsion and Shear in a Quadratic Curved Beam Element, International Journal for Numerical Methods in Engineering, Vol 30, pp. 431-443, (1990)
- [3] TÜFEKÇİ, E. Eğri Eksenli Düzlemsel Çubukların Statik ve Dinamik Problemlerinin Analitik Çözümü, Doktora Tezi, İstanbul Teknik Üniversitesi, Fen Bilimleri Enstitüsü, İstanbul, Kasım (1994)
- [4] İNAN, M. Elastik Çubukların Genel Teorisi, İ.T.Ü. Yayıni, İstanbul, 1996
- [5] SUNDARAMOORTHY, R., PADMANABHAN, S. Equations of Curved Beams, Journal of Engineering Mechanics, ASCE, Vol 115, p 1094, May (1989)
- [6] ARTAN, R. The Analytical Calculation of Circular Rods of Variable Cross-Section by the Initial Values Method, Computers and Structures, Vol 62, No. 3, pp. 445-461, (1997)
- [7] WOLFRAM, S. Mathematica, Addison-Wesley Publishing Company, California, (1988)
- [8] PANTAZOPOULOU, S.J. Low-Order Interpolation Functions for Curved Beams, Journal of Engineering Mechanics, Vol 118, No. 2, pp 329-350, (1992)
- [9] PRATHAP, G. The Curved Beam-Deep Arch-Finite Ring Element Revisited, International Journal for Numerical Methods in Engineering, Vol 21, pp. 389-407, (1985)
qq.
- [10] TAMEROĞLU, S. Elastisite Teorisi, İ.T.Ü. Yayıni, İstanbul, 1991

A KURUM
DOKTORALANZASÝYON MÝBERÝ

ÖZGEÇMİŞ

O. Yaşar DOĞRUER, 1970 yılında Aksaray'da doğdu. İlk, Orta ve Lise öğrenimini Ankara'da tamamladı. 1987 yılında Ankara Lisesi'nden, 1991 yılında Karadeniz Teknik Üniversitesi Makina Mühendisliği Bölümü'nden mezun oldu. 1993 yılında Askerlik hizmetini tamamladı.

1994 yılında İ.T.Ü. Fen Bilimleri Enstitüsü, Makina Mühendisliği Anabilim Dalı, İmalat Programı'nda Yüksek Lisans öğrenimine başlayan O. Yaşar DOĞRUER halen özel bir kuruluşta Makina Mühendisi olarak çalışmaktadır.



F. M. YÜKSEKOĞRETİM KURULU
DOKUMANTASYON MERKEZİ